



เครื่องกำเนิดสัญญาณคลื่นพาหะด้วยวงจรสังเคราะห์ความถี่ 15-20 MHz

GENERATOR SYNTHESIZER FOR CARRIER FREQUENCY 15-20 MHz



โดย
นายธีรเดช จุลอตุอง
นายสิงหา บำรุงจิตร
น.ส.อัจฉราภรณ์ คี๋ยง

วัน เดือน ปี.....-1 คค 2541
เลขทะเบียน.....038352
เลขเรียกหนังสือ.....T99372 ๑๖๖๑

ปริญญานิพนธ์นี้เป็นส่วนหนึ่งของการศึกษาตามหลักสูตรปริญญาอุตสาหกรรมศาสตรบัณฑิต
สาขาเทคโนโลยีอิเล็กทรอนิกส์ ภาควิชาเทคนิคอุตสาหกรรม
คณะวิศวกรรมศาสตร์
สถาบันเทคโนโลยีพระจอมเกล้าเจ้าคุณทหารลาดกระบัง
ปีการศึกษา 2539

เอกสารนี้เป็นเอกสารที่สงวนไว้สำหรับการใช้งานเพื่อการศึกษาเท่านั้น ไม่อนุญาตให้นำไปใช้ประโยชน์ด้านการค้า
ไม่ว่ากรณีใดๆ ทั้งสิ้น อีกทั้งห้ามมิให้ตัดแปลงเนื้อหา และต้องอ้างอิงถึงเจ้าของเอกสารทุกครั้งที่มีการนำไปใช้

หัวข้อปริญญานิพนธ์

เครื่องกำเนิดสัญญาณคลื่นพาหะด้วยวงจรสังเคราะห์
ความถี่ 15-20 MHz

GENERATOR SYNTHESIZER FOR CARRIER
FREQUENCY 15-20 MHz

คณะผู้จัดทำ

นายธีรเดช จุลอตุง
นายสิงหา บำรุงจิตร
น.ส.อัจฉราภรณ์ ตี๋ยิ่ง

อาจารย์ที่ปรึกษา

อาจารย์ คลชัย สุขเจริญผล

สาขา

เทคโนโลยีอิเล็กทรอนิกส์

ภาควิชา

เทคนิคอุตสาหกรรม

ปีการศึกษา

2539

คณะวิศวกรรมศาสตร์ สถาบันเทคโนโลยีพระจอมเกล้าเจ้าคุณทหารลาดกระบัง
อนุมัติให้ ปริญญานิพนธ์นี้เป็นส่วนหนึ่งของการศึกษา ตามหลักสูตรอุตสาหกรรมศาสตร์
บัณฑิต

คณะกรรมการการสอบปริญญานิพนธ์

----- ประธานกรรมการ
()
----- กรรมการ
()
----- กรรมการ
()
----- กรรมการ
()
----- กรรมการ
()

ลิขสิทธิ์ของคณะวิศวกรรมศาสตร์ สถาบันเทคโนโลยีพระจอมเกล้าเจ้าคุณทหารลาดกระบัง

เอกสารนี้เป็นเอกสารที่สงวนไว้สำหรับการใช้งานเพื่อการศึกษาเท่านั้น ไม่อนุญาตให้นำไปใช้ประโยชน์ด้านการค้า
ไม่ว่ากรณีใดๆ ทั้งสิ้น อีกทั้งห้ามมิให้ตัดแปลงเนื้อหา และต้องอ้างอิงถึงเจ้าของเอกสารทุกครั้งที่มีการนำไปใช้

เครื่องกำเนิดสัญญาณคลื่นพาหะด้วยวงจรสังเคราะห์ความถี่ 15-20MHz

โดย	นายธีรเดช	จุลอุดง	รหัส 38012009
	นายสิงหา	บำรุงจิตร	รหัส 38012031
	น.ส.อัจฉราภรณ์	ศิying	รหัส 38012042

อาจารย์ที่ปรึกษา	อาจารย์คดชัย	สุขเจริญผล
ปีการศึกษา	2539	

บทคัดย่อ

โครงงานฉบับนี้กล่าวถึง การกำเนิดสัญญาณคลื่นพาหะที่สร้างขึ้นโดยวงจรฟรีควีนซ์ซินทิไซเซอร์ แบบโปรแกรมเลือกความถี่ได้ โดยรับโปรแกรมที่จะทำให้ความถี่คลื่นพาหะเปลี่ยน รับจากคอมพิวเตอร์เป็นตัวควบคุมความถี่ ความถี่ที่สร้างขึ้นจะออกแบบให้อยู่ในช่วงความถี่ระหว่าง 15-20 เมกกะเฮิร์ตซ์ และในโครงงานนี้ยังนำไปประยุกต์ใช้งานเป็นวงจรฟรีควีนซ์คอนเวอร์เตอร์ ซึ่งทำหน้าที่ในการแปลงความถี่คลื่นพาหะของสัญญาณให้สูงหรือต่ำลงได้

GENERATOR SYNTHESIZER FOR CARRIER FREQUENCY 15-20 MHz

BY	MR.THEETRADECH	JUN-ADUNG	NQ. 38012009
	MR.SINGHA	BAMRUNGJIT	NQ. 38012031
	MISS.ATCHARAPORN	DEEYING	NQ. 38012042

ADVISER MR.DOLACHAI SOOKCHAROENPHOL

YEAR 1996

ABSTRACT

This project presents carrier generate by frequency Synthsizer. Carrier programable frequency is selected by program control from the computer to control carrier frequency. Frequency range is between 15 to 20 MHz. And this project is used to be frequency convertor by convertor carrier frequency for upper or lower.

กิตติกรรมประกาศ

ปริญญาานิพนธ์ฉบับนี้ สำเร็จลุล่วงไปได้ด้วยดีเพราะได้รับความร่วมมือจากเพื่อนๆ ในกลุ่ม ที่ได้ร่วมแรงร่วมใจช่วยกัน ทำให้ปริญญาานิพนธ์ฉบับนี้สำเร็จออกมา และต้องขอขอบพระคุณอาจารย์คลชัย สุขเจริญผล ที่ได้ให้คำปรึกษา คำแนะนำและข้อคิดเห็นต่างๆ รวมทั้งเครื่องมือ อุปกรณ์และสถานที่ในการทำโครงการครั้งนี้

ในด้านปัจจัยทางทุนทรัพย์ ต้องกราบขอบพระคุณ คุณพ่อ-คุณแม่ ที่ได้ให้ความอุปการะและสนับสนุนทางการเงินและคอยให้กำลังใจ รวมทั้งต้องขอบคุณเพื่อนๆ ที่ให้คำแนะนำ คอยช่วยเหลือ และคอยให้กำลังใจเสมอมา

คณะผู้จัดทำ

นายธีรเดช

จุลอุดม

นายสิงหา

บำรุงจิตร

น.ส.อัจฉราภรณ์

ศิษฐ์

สารบัญ

	หน้า
บทคัดย่อภาษาไทย	I
บทคัดย่อภาษาอังกฤษ	II
กิตติกรรมประกาศ	III
บทที่ 1 บทนำ	1
บทที่ 2 หลักการโดยทั่วไปของการสังเคราะห์ความถี่	2
2.1 ระบบสังเคราะห์ความถี่	2
2.2 เฟสล็อกลูป (Phase Lock Loop)	3
2.3 เฟสดีเทคเตอร์	7
2.4 Loop Filter	12
2.5 วงจรผลิตความถี่ควบคุมแรงดัน VCO	22
2.6 วงจรหารแบบสองโมดูลัส	26
2.7 การแปลงความถี่	28
บทที่ 3 การออกแบบโปรแกรมและทฤษฎีการใช้งาน 8255	33
3.1 การออกแบบโปรแกรม	33
3.2 ทฤษฎีการใช้งาน 8255	43
3.3 การทำงานโหมดต่างๆของ 8255	48
3.4 การนำ 8255 ใช้งาน	58
บทที่ 4 ผลการทดลอง	63
บทที่ 5 สรุปผลการทดลอง	72
เอกสารอ้างอิง	78
ภาคผนวก	79

สารบัญรูป

	หน้า	
รูปที่ 1	แผนผังเบื้องต้นของเฟสล็อกกลุ๊ป	1
รูปที่ 2	การสังเคราะห์ความถี่เฟสล็อกกลุ๊ปแบบ โดยตรง	4
รูปที่ 3	เฟสล็อกกลุ๊ปแบบคูณความถี่	4
รูปที่ 4	เฟสล็อกกลุ๊ปแบบพรีสเกลเลอร์	5
รูปที่ 5	พรีสเกลเลอร์แบบสองโมดูลัส	6
รูปที่ 6	(a) สัญญลักษณ์ของแอกคูชีฟเฟสดีเทคเตอร์	8
	(b) แรงดันเอาต์พุตที่สัมพันธ์กันระหว่างอินพุตทั้งสองที่เข้ามา	8
	(c) คุณสมบัติอินพุตเอาต์พุตของเฟสดีเทคเตอร์	8
รูปที่ 7	RS-F/F เฟสดีเทคเตอร์	9
รูปที่ 8	สัญญาณอินพุตเอาต์พุตของ RS-F/F เฟสดีเทคเตอร์	9
รูปที่ 9	คุณสมบัติอินพุตของ F/F เฟสดีเทคเตอร์	10
รูปที่ 10	เฟสดีเทคเตอร์ที่สร้างจาก D-F/F	10
รูปที่ 11	คุณสมบัติในการเปลี่ยนความถี่ของเฟสล็อกกลุ๊ป	13
รูปที่ 12	Low Pass Filter อันดับที่ 1 โดยใช้ RC	14
รูปที่ 13	วงจร Lag-Lead อันดับที่ 1	15
รูปที่ 14	วงจร Active Filter	15
รูปที่ 15	Band Pass Filter	16
	(a) วงจร	17
	(b) สเปกตรัมค่าความถี่สัญญาณเข้า	17
	(c) ทรานสเฟอร์ฟังก์ชันความถี่สูง	17
	(d) ทรานสเฟอร์ฟังก์ชันเฟส	17
	(e) สเปกตรัมค่าความถี่สัญญาณออก	17

	(f) รูปคลื่นสัญญาณเข้า	18
	(g) รูปคลื่นสัญญาณออก	18
รูปที่ 16	วงจรกรองผ่านความถี่ (BPF) ที่ใช้งาน	19
รูปที่ 17	รูปคลื่นเอาต์พุตของเฟสดีเทคเตอร์และอินทิเกรเตอร์	20
รูปที่ 18	วงจร Low Pass Filter อันดับที่ 2 โดยใช้ออปแอมป์	21
รูปที่ 19	วงจร LPF อันดับที่ 2	21
รูปที่ 20	วงจรฟิลเตอร์และซัมมิงเนทเวอร์ค	22
รูปที่ 21	วงจรโคลทวิทท์ออสซิลเลเตอร์ซึ่งใช้ FET	24
รูปที่ 22	การใช้วาริแคปกับวงจรออสซิลเลเตอร์	25
รูปที่ 23	แผนผังของเครื่องส่ง SSB	28
รูปที่ 24	(a) ตัวอย่างมิกเซอร์ของภาคเครื่องรับ	30
	(b) ตัวอย่างมิกเซอร์ของภาคเครื่องส่ง	30
รูปที่ 25	วงจรบาลานซ์มิกเซอร์ชนิดพาสซีฟ	10
รูปที่ 26	วงจรบาลานซ์มิกเซอร์ ชนิดแอกทีฟแบบใช้ FET	31
รูปที่ 27	วงจรบาลานซ์มิกเซอร์ ชนิดแอกทีฟแบบใช้ IC	31
รูปที่ 28	วงจรมิกเซอร์แบบไม่สมดุล	32
รูปที่ 29	Flow Chart Main Menu	36
รูปที่ 30	Flow Chart Tx, Rx, Read Menu	37
รูปที่ 31	รูปแบบเมนู	38
รูปที่ 32	Flow Chart Read Menu ใหม่	39
รูปที่ 33	Flow Chart Main Menu ใหม่	40
รูปที่ 34	Flow Chart Tx Menu ใหม่	41
รูปที่ 35	Flow Chart Rx Menu ใหม่	42
รูปที่ 36	ตำแหน่งขาต่างๆ ของ 8255	44
รูปที่ 37	แผนผังภายในของ 8255	44
รูปที่ 38	ความหมายของแต่ละบิตในรหัสควบคุม	47
รูปที่ 39	รหัสควบคุมของการทำงานในโหมด 0	49

รูปที่ 40	การจัดสัญญาณการ HANDSHAKING	56
รูปที่ 41	การ Set Dip Sw.	61
รูปที่ 42	PIN I/O BUS	62
รูปที่ 43	วงจร Voltage Control Oscillator (VCO)	63
รูปที่ 44	การออกแบบวงจร L,C tank OSC	64
รูปที่ 45	วงจรมลิตความถี่ 256 kHz	67
รูปที่ 46	วงจรมลิตความถี่ 1 MHz	68
รูปที่ 47	วงจรมอดูเลเตอร์	68
รูปที่ 48	วงจรมลิตความถี่ (Mixer or Convertor)	69
รูปที่ 49	วงจรมลิตความถี่ Phase Lock Loop (PLL)	70
รูปที่ 50	วงจรมลิตความถี่ VCO	71
รูปที่ 51	กราฟแสดงความสัมพันธ์ระหว่างแรงดันของ VCO และความถี่	71
รูปที่ 52	รูปของสัญญาณทดสอบ AM DBS	73
รูปที่ 53	รูปของสัญญาณ SIDEBAND AM DBS	73
รูปที่ 54	รูปของสัญญาณ $f_c = 15.1$ MHz	74
รูปที่ 55	รูปของสัญญาณแปลงความถี่ (Convertor) $f_c = 15.1$ MHz	74
รูปที่ 56	รูปของสัญญาณ $f_c = 16.3$ MHz	75
รูปที่ 57	รูปของสัญญาณแปลงความถี่ (Convertor) $f_c = 16.3$ MHz	75
รูปที่ 58	รูปของสัญญาณ $f_c = 17.6$ MHz	76
รูปที่ 59	รูปของสัญญาณแปลงความถี่ (Convertor) $f_c = 17.6$ MHz	76
รูปที่ 60	รูปของสัญญาณ $f_c = 18.9$ MHz	77
รูปที่ 61	รูปของสัญญาณแปลงความถี่ (Convertor) $f_c = 18.9$ MHz	77

สารบัญตาราง

	หน้า
ตารางที่ 1 แสดงสถานะ Port C ของ IC 8255 โหมด 1	53
ตารางที่ 2 แสดงสถานะ Port C ของ IC 8255 โหมด 2	57
ตารางที่ 3 PC HARDWARE I/O MAP	59



บทที่ 1

บทนำ

วงจรสังเคราะห์ความถี่หรือฟรีควอนซีซินทีไซเซอร์ (Frequency Synthesizer) เป็นวงจรที่สามารถผลิตความถี่ได้หลายๆ ค่าที่เอาท์พุทโดยใช้วงจรผลิตความถี่ที่มีสัญญาณอ้างอิงภายในวงจรเพียงสัญญาณเดียว ปัจจุบันที่นิยมใช้กันมากในเครื่องมือสื่อสารสมัยใหม่ เพราะวงจรสังเคราะห์ความถี่เป็นความถี่ที่มีเสถียรภาพสูงทั้งทางด้านความถี่และขนาดรวมทั้งสามารถควบคุมการทำงานได้สะดวก การสังเคราะห์ความถี่สามารถทำได้ทั้งทางตรงและทางอ้อมแต่ในปัจจุบันนิยมใช้การสังเคราะห์ความถี่โดยทางอ้อม (Indirect Coherent Synthesizer) ซึ่งอาศัยการทำงานของวงจรเฟสล็อกลูป (Phase Locked Loop) ซึ่งสามารถกระทำได้ทั้งแบบอนาล็อกและดิจิทัลซึ่งจะใช้คอมพิวเตอร์เป็นตัวควบคุมการทำงาน

วงจรสังเคราะห์ความถี่โดยตรงแบบดิจิทัล สามารถสัญญาณได้หลายรูปแบบขึ้นอยู่กับโปรแกรมแต่ก็มีข้อจำกัดในเรื่องความถี่สูงสุดจะขึ้นอยู่กับความเร็วของคอมพิวเตอร์ สำหรับการสังเคราะห์แบบโดยตรงในปัจจุบันไม่นิยมกัน เพราะสิ้นเปลืองอุปกรณ์อย่างมาก

สำหรับ โครงการนี้จะแสดงการสังเคราะห์ โดยวิธีทางอ้อมโดยการใส่เฟสล็อกลูปซึ่งในบางครั้งเราอาจเรียกได้ว่าการสังเคราะห์ความถี่แบบเฟสล็อกลูป (Phase Lock Loop Frequency Synthesizer)

และในโครงการนี้ยังสร้างสัญญาณ AM แบบ Balance Modulation (สัญญาณข้อมูลความถี่ 256 kHz สัญญาณ Carrier ความถี่ 1 MHz) ซึ่งใช้เป็นสัญญาณทดสอบจะเห็นได้ว่ามีความถี่ตายตัว เมื่อต้องการเปลี่ยนสัญญาณทดสอบนี้ส่งไปตามความถี่ที่ต้องการก็สามารถทำได้โดยนำสัญญาณทดสอบ AM นี้ ไปผสมความถี่ (Mixer หรือ Convector) กับ Carrier ที่สร้างจาก Synthesizer แล้วจะได้ความถี่ผลบวก (Up Convector) และความถี่ผลต่าง (Down Convector) ซึ่งทำให้สามารถส่งความถี่ที่แตกต่างกันไปได้ และตรงกับความถี่ที่ต้องการ

บทที่ 2

หลักการโดยทั่วไปของการสังเคราะห์ความถี่

2.1 ระบบสังเคราะห์ความถี่

เครื่องรับส่งวิทยุในปัจจุบัน ส่วนใหญ่นิยมใช้วิธีสังเคราะห์ความถี่แบบทั้งนั้นวงจรที่ทำหน้าที่สังเคราะห์ความถี่เรียกว่า ซินทีไซเซอร์ซึ่งแปลว่าสังเคราะห์ ด้วยวิธีสังเคราะห์ความถี่นี้ ทำให้เครื่องรับและเครื่องส่งวิทยุมีการพัฒนาขีดความสามารถขึ้นสามารถโปรแกรมความถี่ใช้งานได้ทำให้เกิดความคล่องตัวในวงจรสื่อสารเป็นอย่างมาก

2.1.1 วิธีการสังเคราะห์ความถี่

วงจรสังเคราะห์ความถี่ คือ วงจรที่ทำหน้าที่ผลิตสัญญาณความถี่ขนาดพอเหมาะและมีขนาดความถี่ตามต้องการ การโปรแกรมสามารถทำได้โดยการตั้งสวิตช์หรือปุ่ม แต่ในปัจจุบันนิยมใช้วิธีสั่งงานด้วย Computer

ช่วงความถี่ใช้งานของวงจรสังเคราะห์ความถี่จะจำกัดอยู่ในช่วงที่แน่นอนแล้ว แต่การใช้งาน และความละเอียดของความถี่ที่เปลี่ยนไปเรียกว่า รีโซลูชัน

วิธีการสังเคราะห์ความถี่แบ่งออกได้เป็น 2 วิธี คือ

1. วิธีสังเคราะห์โดยตรง (Direct Synthesis)

ซึ่งต้องใช้ความถี่หลายๆ ค่าผสมกันเพื่อให้ได้ความถี่ที่ต้องการ โดยปกติใช้ Xtal หลายชุด

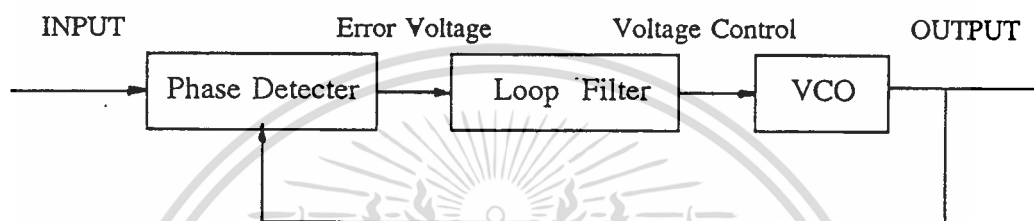
2. วิธีสังเคราะห์โดยทางอ้อม (Indirect Synthesis)

วิธีการนี้อาศัยหลักการของเฟสล็อกลูป (Phase Lock Loop) โดยการกำหนดสัญญาณจากวงจรออสซิลเลเตอร์ ซึ่งควบคุมความถี่โดยปรับแรงดันที่เรียกว่า VCO สัญญาณจาก VCO จะถูกป้อนกลับมาเปรียบเทียบกับความถี่อ้างอิง จากนั้นนำความถี่ที่คาดเคลื่อนแปลงเป็นแรงดัน ไปทำการควบคุมการผลิตความถี่ของ VCO อีกครั้งหนึ่ง

เอกสารนี้เป็นเอกสารที่สงวนไว้สำหรับการใช้งานเพื่อการศึกษาเท่านั้น ไม่อนุญาตให้นำไปใช้ประโยชน์ด้านการค้า ไม่ว่าจะกรณีใดๆ ทั้งสิ้น อีกทั้งห้ามมิให้ตัดแปลงเนื้อหา และต้องอ้างอิงถึงเจ้าของเอกสารทุกครั้งที่มีการนำไปใช้

2.2 เฟสล็อกลูป (Phase Lock Loop)

เฟสล็อกลูปเป็นระบบป้อนกลับที่บังคับให้วงจรรอสซซิลเลเตอร์มีความถี่หรือเฟสเปลี่ยนแปลงไปตามความถี่หรือเฟสของสัญญาณอ้างอิงภายนอก เฟสล็อกลูปประกอบด้วยภาคสำคัญ 3 ภาค คือ เฟสดีเทคเตอร์ (Phase Detector) ลูปฟิลเตอร์ (Loop Filter) และภาค VCO ดังรูป



รูปที่ 1 แสดงแผนผังเบื้องต้นของเฟสล็อกลูป

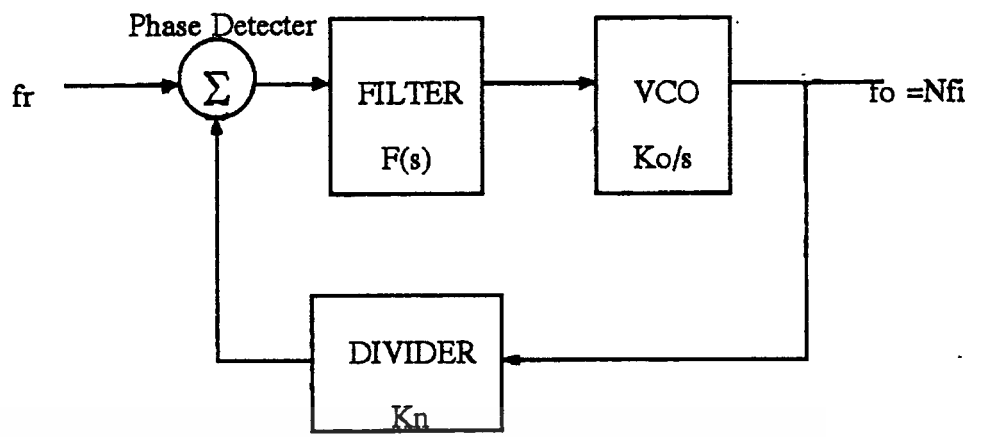
สมมุติมีสัญญาณความถี่อ้างอิงภายนอกเป็นสัญญาณรายคาบ (Periodic) เข้ามาที่อินพุท ภาคเทียบเฟสทำหน้าที่เปรียบเทียบเฟสระหว่างสัญญาณอ้างอิง

การใช้เฟสล็อกลูปในการสังเคราะห์ความถี่

การสังเคราะห์ความถี่มีอยู่หลายแบบ ตัวอย่างที่กล่าวดังต่อไปนี้เป็นการสังเคราะห์ความถี่ซึ่งมีการกำหนดความถี่แต่ละขั้นมีค่าเท่ากับความถี่อ้างอิง (f_r)

เฟสล็อกลูปโดยตรง

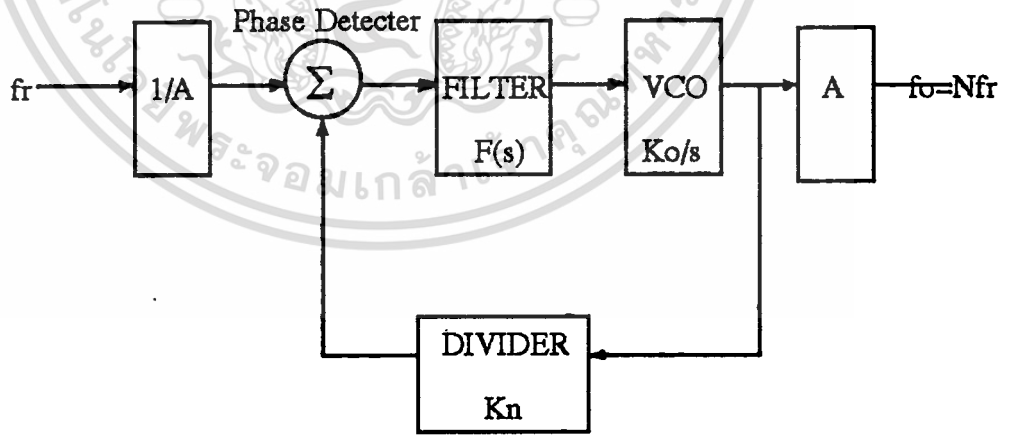
วิธีการสังเคราะห์แบบนี้ใช้ เฟสล็อกลูปแบบโดยตรงนับว่าเป็นวิธีการที่ง่าย โดยความถี่เอาท์พุทมีค่าเป็น N เท่าของความถี่อ้างอิง ดังรูป ในที่นี้ VCO ต้องสามารถทำงานได้ตลอดย่านความถี่เอาท์พุท ซึ่งความถี่อาจขึ้นไปถึง 200 MHz อย่างไรก็ตามวิธีที่แนะนำให้โปรแกรมเป็นตัวหาร N นั้นมีราคาแพง เราจึงจำเป็นต้องปรับปรุงวิธีการสังเคราะห์ความถี่เป็นแบบอื่น



รูปที่ 2 แสดงการสังเคราะห์ความถี่เฟสล็อกแบบโดยตรง

เฟสล็อกแบบคูณความถี่

รูปที่ 3 เราจะหารความถี่อ้างอิงลง 9 เท่าก่อนที่จะป้อนให้แก่วงจรเฟสล็อกเตอร์ และเอาที่พุดจาก VCO ก็คูณความถี่ขึ้นไป 9 เท่า วิธีนี้ช่วยลดความถี่การทำงานของวงจรหาร N ลง แต่ก็ทำให้การตอบสนองต่อการเปลี่ยนความถี่ของเฟสล็อกช้าลงเนื่องจากการใช้การเทียบเฟสต่ำลง

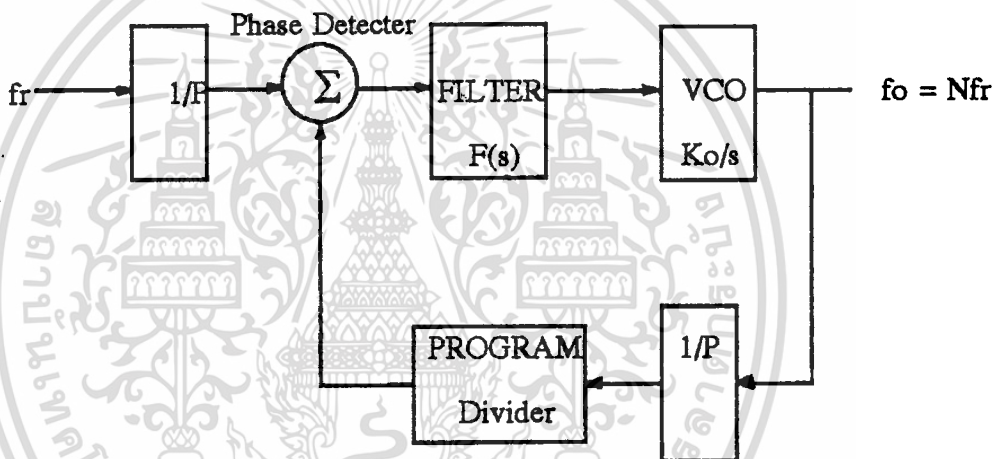


รูปที่ 3 แสดงเฟสล็อกแบบคูณความถี่

เฟสล็อกูปแบบพรีสเกลเลอร์

เฟสล็อกูปแบบในรูปที่ 4 ใช้วิธีการหารความถี่อ้างอิงลง P เท่าก่อนที่จะป้อนแก่วงจรดีเทกเตอร์และใช้วิธีคูณความถี่ขึ้นไป P เท่า ภายในรูปแทนที่จะคูณความถี่ภายนอก รูปดังเช่น เฟสล็อกูปแบบคูณความถี่วงจร VCO ในกรณีนี้ต้องทำงานขึ้นไปถึงความถี่ใช้งาน โดยไม่ต้องมีวงจรทวีคูณ (Multiplier)

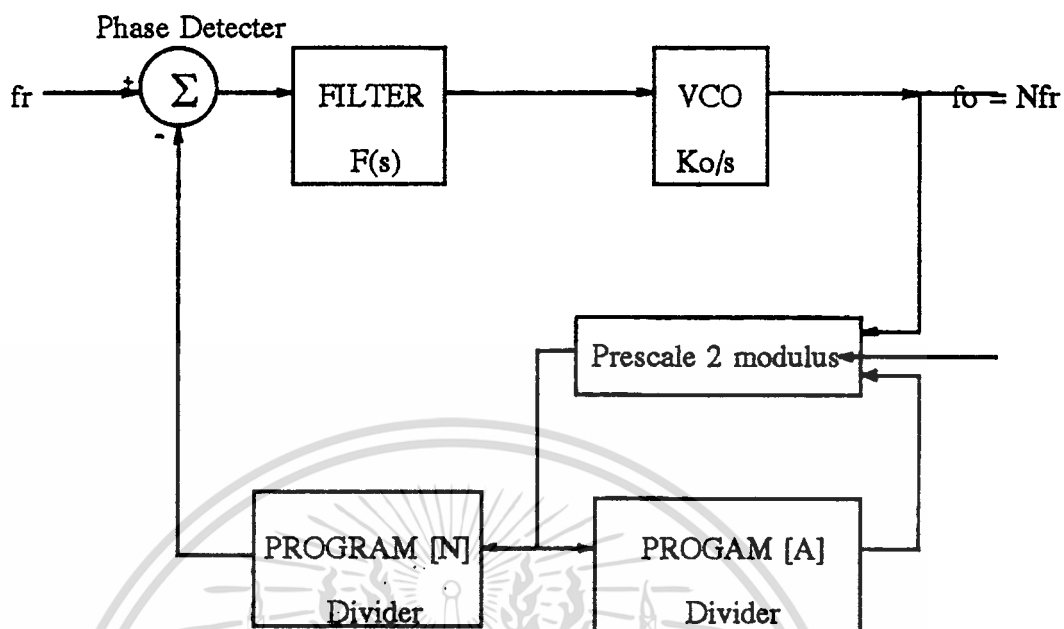
วงจรมหาร P เป็นชุดวงจรฟลิปฟล็อปธรรมดาซึ่งตัวหารกำหนดไว้ตายตัวและสามารถทำงานที่ความถี่สูงได้ เราเรียกวงจรนี้ว่า วงจรพรีสเกลเลอร์ ส่วนวงจรมหาร N ซึ่งโปรแกรมตัวหารได้นั้นทำงานที่ความถี่ต่ำลงเช่นเดียวกับเฟสล็อกูปแบบในรูปที่ 3



รูปที่ 4 แสดงเฟสล็อกูปแบบพรีสเกลเลอร์

เฟสล็อกูปแบบพรีสเกลเลอร์สองโมดูลัส (Dual Modulus Prescaler)

เฟสล็อกูปแบบในรูปที่ 5 ใช้พรีสเกลเลอร์เช่นเดียวกันกับในรูปที่ 4 เว้นแต่่วงจรพรีสเกลเลอร์นี้ไม่ใช่เป็นวงจรมหารค่าตายตัว P แต่เป็นวงจรมหารเปลี่ยนค่าได้ระหว่าง P กับ $P+1$ เราเรียกพรีสเกลเลอร์สองโมดูลัส(เลือกตัวหาร P ก็ได้ หรือเลือก $P+1$ ก็ได้) วงจรมหาร N ซึ่งโปรแกรมตัวหารได้นั้นทำงานที่ความถี่ต่ำลง



รูปที่ 5 แสดงพรีสเกลเลอร์แบบสองโมดูลัส

2.3 เฟสดีเทคเตอร์

เฟสดีเทคเตอร์ (Phase Detector) เป็นส่วนหนึ่งของระบบเฟสล็อกคัลป์ ซึ่งเป็นตัวทำหน้าที่ให้เกิดแรงดันอนาล็อกหรือดิจิทัลที่เอาต์พุตของตัวมัน ซึ่งค่าแรงดันที่ปรากฏออกมาจะเป็นอัตราที่แปรผันตามความต่างเฟสของสัญญาณอินพุต 2 สัญญาณที่เข้ามาในเฟสดีเทคเตอร์

ลักษณะของวงจรเฟสดีเทคเตอร์สามารถแบ่งการทำงานออกเป็น 2 แบบ คือ

1. อนาล็อกเฟสดีเทคเตอร์ (Analog Phase Detector)

ได้แก่ การมิกเซอร์ที่เอาต์พุตจะแปรตามขนาดของสัญญาณอินพุต วงจรที่ทำหน้าที่ได้แก่ Balance Mixer และ Sampling Detector เป็นการกำหนดโดยให้สัญญาณอ้างอิง f_r เป็นสัญญาณพัลส์ซึ่งมีความยาวคาบที่ f_r ไปทำการสุ่มสัญญาณ อินพุตด้วยช่วงเวลาสั้นๆ โดยที่เอาต์พุตจะเป็นอัตราส่วน โดยตรงกัน

2. ดิจิตอลเฟสดีเทคเตอร์ (Digital Phase Detector)

มีหลายชนิดได้แก่

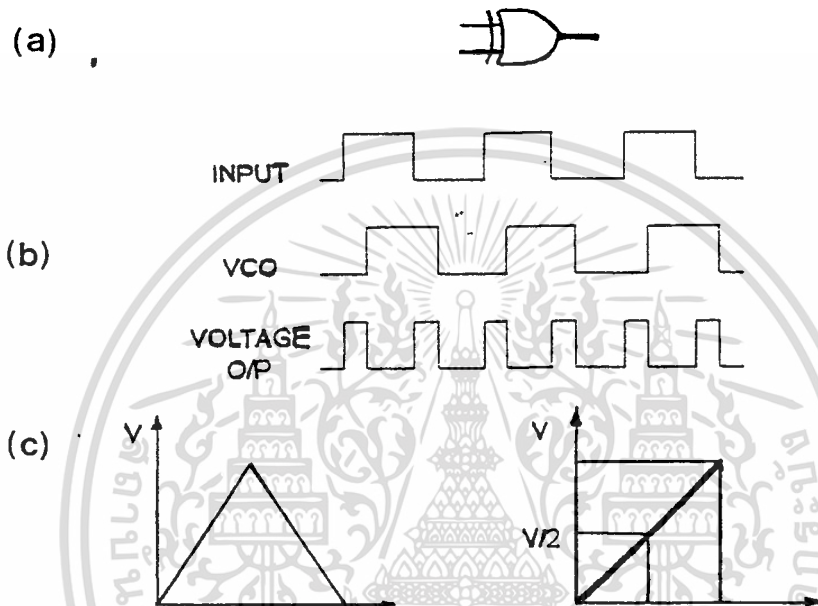
2.1 เอกกซีฟออร์เฟสดีเทคเตอร์ (Exclusive OR Phase Detector)

เราสามารถนำเอาเอกกซีฟออร์เกตมาทำเป็นเฟสดีเทคเตอร์ได้ โดยที่เอาต์พุตเป็น 1 ก็ต่อเมื่อสัญญาณอินพุตมีเฟสต่างกันและลอจิกเป็น 0 เมื่ออินพุตทั้งสองมีเฟสเหมือนกัน แรงดันเฉลี่ยเอาต์พุตของเฟสดีเทคเตอร์จะเป็นตามสมการ

$$V_{Odc} = V_p + D$$

โดยที่ $V_p =$ แรงเคลื่อนสูงสุดของลอจิก 1

$$D = \text{duty cycle}$$



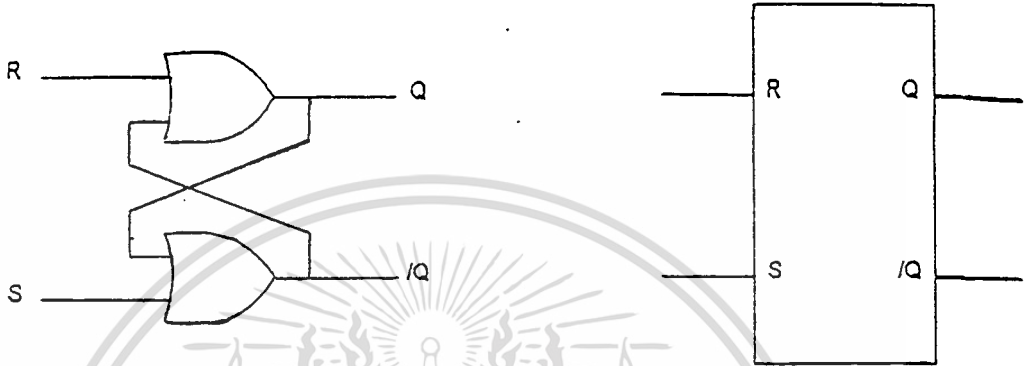
รูปที่ 6 a แสดงสัญลักษณ์ของแอกคูซีฟออร์เฟสตีเทคเตอร์
 b แสดงแรงดันเอาต์พุตที่สัมพันธ์กันระหว่างอินพุตทั้งสองที่เข้ามา
 c แสดงคุณสมบัติอินพุตเอาต์พุตของเฟสตีเทคเตอร์

จากคุณสมบัติอินพุตเอาต์พุตของเฟสตีเทคเตอร์ชนิดนี้ จะเห็นว่าสามารถใช้
 ได้ในช่วงต่างเฟสระหว่าง $0 - \pi$ โดยที่สัญญาณอินพุตจำเป็นต้องมีค่าดีวีไอไซเคิลเท่ากับ
 50 เปอร์เซ็นต์ และเอาต์พุตที่ได้จะมีค่าความถี่เป็น 2 เท่าของความถี่อินพุต ส่วนค่า
 ของคอนเวอร์ชันเกินเท่ากับ $V_{DD}/2\pi$

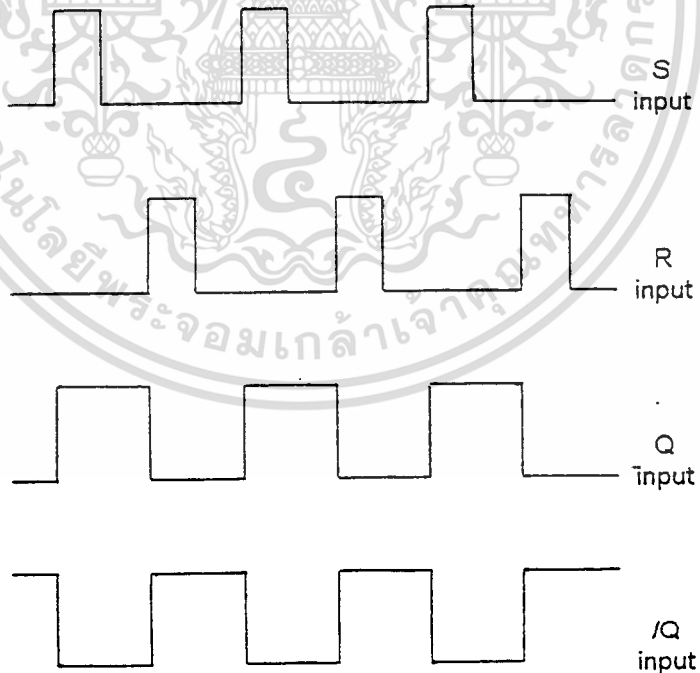
2.2 เอก-ทริกเกอร์ เฟสดีเทคเตอร์หรือฟลิปฟลอปเฟสดีเทคเตอร์

(Edge-Teiggered Phase Detector)

เป็นเฟสดีเทคเตอร์อีกชนิดหนึ่งที่ใช้ฟลิปฟลอปเป็นตัวทำให้เกิดแรงดันเอาต์พุตที่มีอัตราแปรผันกับสัญญาณอินพุตทั้ง 2 ที่เข้ามา ดังแสดงในรูป

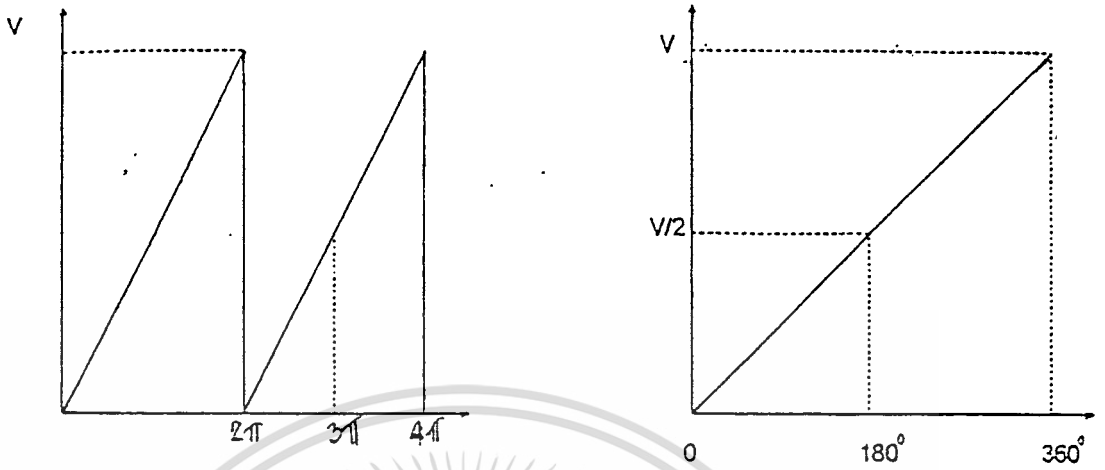


รูปที่ 7 แสดง RS F/F เฟสดีเทคเตอร์



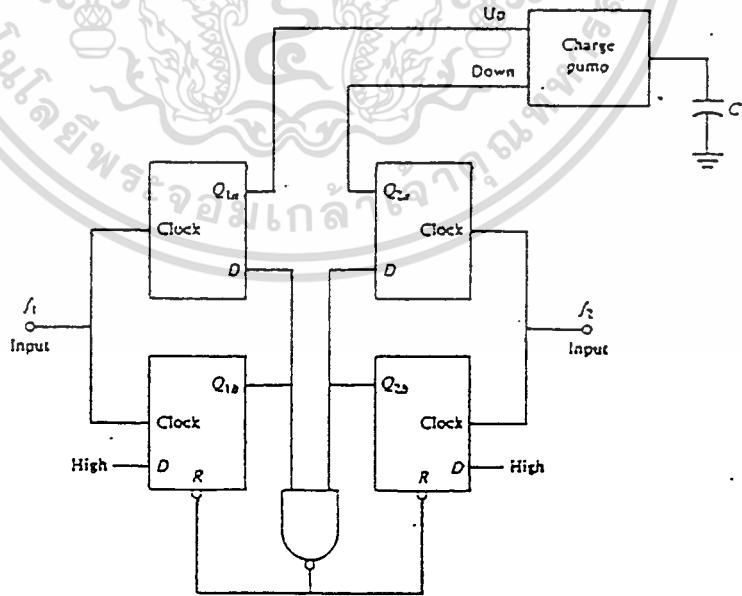
รูปที่ 8 แสดงสัญญาณอินพุตเอาต์พุตของ RS F/F เฟสดีเทคเตอร์

เอกสารนี้เป็นเอกสารที่สงวนไว้สำหรับการใช้งานเพื่อการศึกษาเท่านั้น ไม่อนุญาตให้นำไปใช้ประโยชน์ด้านการค้า ไม่ว่าจะกรณีใดๆ ทั้งสิ้น อีกทั้งห้ามมิให้ตัดแปลงเนื้อหา และต้องอ้างอิงถึงเจ้าของเอกสารทุกครั้งที่มีการนำไปใช้



รูปที่ 9 แสดงคุณสมบัติอินพุทของ F/F เฟสดีเทคเตอร์

จากรูปจะเห็นได้ว่า วงจรเฟสดีเทคเตอร์ที่ใช้ทริกด้วยขอบสัญญาณพัลซ์สามารถใช้ความต่างเฟสได้ตั้งแต่ $0-2\pi$ (เป็น 2 เท่าของแอกคลูซีฟออร์) และความถี่ของสัญญาณเอาต์พุท จะเท่ากับ 50 เปอร์เซ็นต์ ส่วนคอนเวอร์ชันแกนมีค่าเท่ากับ $V_{dd} / 2\pi$



รูปที่ 10 เฟสดีเทคเตอร์ที่สร้างจาก D-Flip Flop

3. เฟส-ฟริควเอนซีดีเทคเตอร์ (Phase-Frequency Detertor)

จะเห็นได้ว่าเฟสดีเทคเตอร์แบบแอกคลูซีฟออร์และแบบฟลิปฟลอปจะเป็นวงจรที่ทำหน้าที่เป็นเฟสดีเทคเตอร์ได้ แต่มีข้อจำกัดอยู่ในตัวเองคือจำเป็นต้องมีการฟิลเตอร์สัญญาณเอาท์พุทที่ดี เพื่อแยกค่าเฉลี่ยของแรงดันดีซีที่ต้องการและเมื่อนำไปใช้ในวงจรเฟสล็อกแล้ว จะให้ผลตอบสนองช้าเมื่ออินพุทมีความถี่ที่ต่างกันมาก จึงได้มีการพัฒนาเป็นวงจรเฟส-ฟริควเอนซีดีเทคเตอร์เพื่อแก้ไขข้อบกพร่องดังกล่าว

วงจรเฟส-ฟริควเอนซีดีเทคเตอร์จะนิยมใช้กับระบบเฟสล็อกที่ต้องการ การตอบสนองในย่านกว้าง เช่นในวงจรสังเคราะห์ความถี่(Frequency Synthesizer) หรือวงจรควบคุมความเร็ว ของมอเตอร์ เป็นต้น



2.4 ลูปฟิลเตอร์(LOOP FILTER)

ลูปฟิลเตอร์เป็นส่วนสำคัญอีกส่วนหนึ่งในระบบเฟสล็อกลูป หน้าที่ของวงจรมันได้แก่การควบคุมการล็อก, แคลบเจอร์, แบนด์วิด และ การตอบสนองค่าทรานเซียนของลูป สำหรับลูปฟิลเตอร์ในที่นี้ก็คือ วงจรชนิดโลพาสธรรมชาติ ทำหน้าที่กรองเอาเฉพาะสัญญาณความถี่ต่ำมาควบคุมความถี่ของ VOC ลูปฟิลเตอร์ เป็นตัวกำหนดคุณสมบัติการเปลี่ยนแปลงก่อนเข้าสู่สภาวะล็อกที่เรียกว่า คุณสมบัติชั่วคราว (Transient) ถ้าเลือกอัตราขยายลูปจะไม่ (Loop Gain) และค่าคงตัวของลูป (Loop Time Constant) ไม่เหมาะสม ความถี่ของเฟสล็อกลูปจะไม่ล็อกและจะเปลี่ยนแปลงอยู่ตลอดเวลา

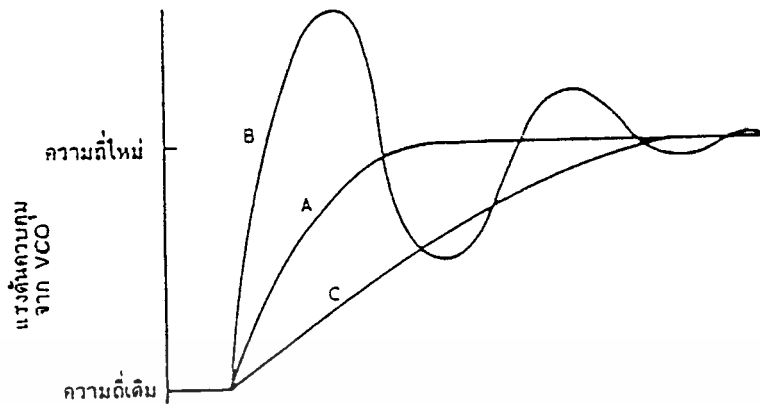
ดังนั้น ค่าคงตัวของลูปฟิลเตอร์จะต้องไม่มากเกินไป เพื่อว่าทุกครั้งที่เปลี่ยน ความถี่เฟสล็อกลูปจะล็อกได้เร็ว โดยไม่มีการสะบัด (Over Shoot) หรือใช้เวลานาน ความถี่อย่างรวดเร็วแต่ค่าคงตัวเวลาก็ไม่ควรจะน้อยเกินไปจนกระทั่งความถี่สั้นหรือไม่นิ่ง ดูรูปที่ 12 ซึ่งแสดงการเปลี่ยนความถี่ของ VCO จะเห็นว่าเส้นทางเปลี่ยนแปลงแรงดันมี 3 เส้นทาง

เส้นทาง A เป็นเส้นทางคริติคอลแดมป์ (Critical Damp) ใช้เวลาในการเปลี่ยนเข้าสู่ความถี่ใหม่น้อยที่สุด

เส้นทาง B เรียกว่า เส้นทางอันเดอร์แดมป์ (Under Damp) มีการสะบัดเนื่องจากโอเวอร์ชูต

เส้นทาง C เป็นเส้นทางโอเวอร์แดมป์ (Over Damp) ไม่มีโอเวอร์ชูตแต่เวลาที่ใช้ในการเข้าสู่ความถี่ใหม่จะช้า

ดังนั้นจะเห็นว่า เส้นทาง A เป็นเส้นทางที่ดีที่สุดในการออกแบบ ค่าคงตัวของลูปฟิลเตอร์เพราะใช้เวลาเปลี่ยนความถี่เร็วและไม่มีโอเวอร์ชูต



รูปที่ 11 คุณสมบัติในการเปลี่ยนความถี่ของเฟสล็อกกลูบ

หน้าที่ของ Low Pass Filter ในเฟสล็อกกลูบ มีหน้าที่ใหญ่ๆ อยู่ 2 ประการ คือ

1. ลดค่าความคลาดเคลื่อนที่เป็นความถี่สูงที่ออกจากวงจรเปรียบเทียบเฟส (Phase Comperator) โดยการใช้คุณสมบัติการกำจัดสัญญาณรบกวนและเป็นตัวทำให้เกิดค่าแรงดันเฉลี่ย (Average DC Voltage) เพื่อนำไปควบคุมวงจร VCO
2. ทำหน้าที่ควบคุมการทำงานของลูบ ซึ่งขึ้นอยู่กับเงื่อนไขต่างๆ ดังนี้
 - 2.1 แคปเจอร์และล็อกเรนจ์
 - 2.2 แบนด์วิด
 - 2.3 การตอบสนองต่อทรานเซียน

เนื่องจาก Low Pass Filter ลดค่าแรงดันคลาดเคลื่อนของความถี่ระหว่างลูบแล้ว ยังเป็นตัวควบคุมการแคปเจอร์โดยตรงและคุณสมบัติต่อผลตอบสนองชั่วขณะของเฟสล็อกกลูบ

การลดช่วงกว้างของฟิลเตอร์ จะส่งผลไปยังการทำงานของระบบ คือ

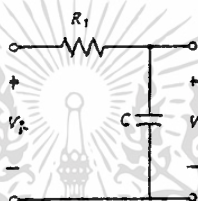
1. ขบวนการแคปเจอร์จะช้าลงและฟูลอินไทม์ (Full in Time) เพิ่มขึ้น
2. ช่วงแคปเจอร์จะลดลง
3. คุณสมบัติทางอินเตอร์ฟีเรนซ์ (Interference Rejection) ของเฟสล็อกกลูบ จะดีขึ้นเพราะค่าแรงดันคลาดเคลื่อนเนื่องจากความถี่ของสัญญาณรบกวนจะถูกลดลงไป

4. ผลตอบสนองชั่วขณะของเฟสล็อกกลุ่ตต่อการเปลี่ยนทันทีของสัญญาณเข้าสู่ช่วงความถี่แคปเจอร์จะอยู่ในลักษณะภายใต้การแคมป์

วงจร Low Pass Filter (LPF)

ในระบบเฟสล็อกกลุ่จะมี Low Pass Filter เป็นส่วนประกอบอยู่เสมอ เราจะกล่าวถึง Low Pass Filter ที่นิยมใช้กันอยู่ 3 แบบดังนี้

1. วงจรกรองความถี่ต่ำอันดับ 1 แบบ RC



รูปที่ 12 แสดง Low Pass Filter อันดับที่ 1 โดยใช้ RC

รูปที่ 13 โดยทั่วไปจะต่ออยู่ระหว่างเฟสดีเทคเตอร์กับ VCO ค่าของความถี่คัทออฟ (Cutoff Frequency, ω_{LPF}) สามารถหาได้จากสมการ

$$\omega_{LPF} = 1/RC$$

ค่าของความถี่ธรรมชาติของลูป (Loop Natural Frequency, ω_n) สามารถหาได้จากความถี่คัทออฟของวงจรกรองความถี่ โดยสมการ

$$\omega_n = \sqrt{(K_d \cdot K_v \cdot \omega_{LPF})}$$

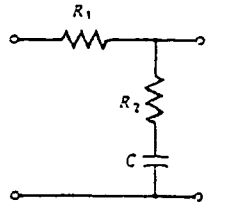
เมื่อ ; K_d คอนเวอร์ชันเกน (Conversion Gain) ของเฟสดีเทคเตอร์ หน่วย(Volt/Sec)

K_v คอนเวอร์ชันเกนของ VCO หน่วย (Rad/Sec/Volt)

เราสามารถหาค่าแดมป์แฟคเตอร์จากสมการ

$$\zeta = N \cdot \omega_n / (2K_d \cdot K_v)$$

2. วงจรกรองความถี่ต่ำแบบแล็ก-ลีด (Lag-Lead Circuit)



รูปที่ 13 วงจร แล็ก-ลีด อันดับหนึ่ง

ค่าความถี่คัทออฟสำหรับวงจรกรองความถี่ชนิดนี้หาได้จากสมการ

$$\omega_{LPF} = 1/(R1+R2)C$$

และความถี่ธรรมชาติหาได้จากสมการ

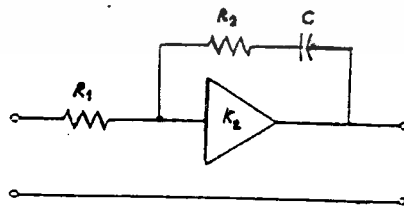
$$\omega_n = \sqrt{(Kd.Kv/NC(R1+R2))}$$

และแดมปีงแฟคเตอร์หาได้จากสมการ

$$\zeta = 0.5\omega_n(R2C + N/Kd.Kv)$$

3. วงจรพาสซีฟแบบแล็ก-ลีด

เราสามารถนำมาสร้างเป็นวงจรแอกทีฟฟิลเตอร์



รูปที่ 14 วงจรแอกทีฟฟิลเตอร์

ความถี่คัทออฟหาได้จากสมการ

$$\omega_{LPF} = 1/R_1.C$$

ค่าของรูปความถี่ธรรมชาติ

$$\omega_n = \sqrt{(K_d.K_v/N.C.R_1)}$$

แอมป์นิ่งแฟกเตอร์ หาจากสมการ

$$\zeta = (\omega_n.R_2.C)/2$$

วงจร Band Pass Filter (BPF)

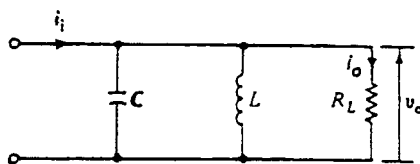
ตัวอย่างง่ายๆ ของตัวกรองผ่านความถี่เป็นช่วง (BPF) คือวงจรเรโซแนนซ์ขนานตามรูป 15 (a) ซึ่งเราต้องใช้ทรานสเฟอร์ฟังก์ชันแบบกระแสเนื่องจากโวลเตจของสัญญาณเข้าและสัญญาณออกเท่ากันจะได้

$$H(\omega) = I_o/I_i$$

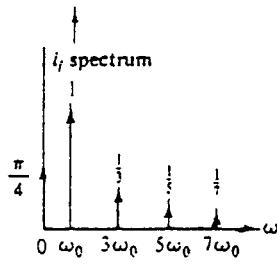
สำหรับรูปคลื่นสี่เหลี่ยมจัตุรัสตามรูปที่ 15 (b) จะได้สเปกตรัมสัญญาณออกเมื่อวงจรเรโซแนนซ์ที่ฮาร์โมนิกที่สามตามรูป 15 (c) กระแสตรงก็จะถูกตัดออกโดย L ซึ่งทำหน้าที่ลัดวงจรไม่ออกไปที่ตัวภาระ (Load) R และเฟสก็มามีค่าเป็นศูนย์ที่ความถี่เรโซแนนซ์ กระแสและโวลเตจออกจะเป็นคลื่นไซน์ที่ความถี่ $3f_0$

$$\text{กำหนดให้ } f_0 = 1/T$$

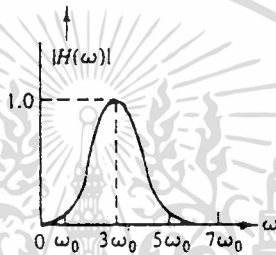
หลักการนี้ใช้ในวงจรเพิ่มความถี่ (Frequency multiplier) ซึ่งความถี่จะเป็นสามเท่าของความถี่เดิม



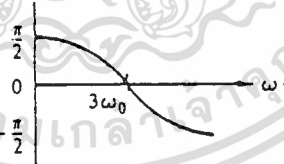
(a) รูปวงจร



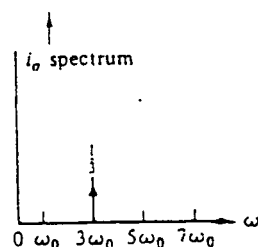
(b) รูปสเปกตรัมความถี่สัญญาณเข้า



(c) ทรานสเฟอ์ฟังก์ชันความสูง

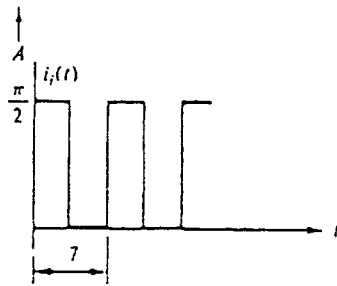


(d) ทรานสเฟอ์ฟังก์ชันเฟส

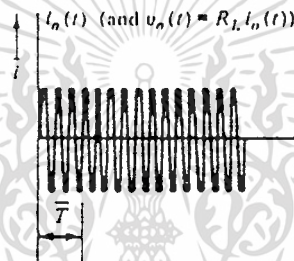


เอกสารนี้เป็นเอกสารที่สงวนไว้สำหรับการใช้งานเพื่อการศึกษาเท่านั้น ไม่อนุญาตให้นำไปใช้ประโยชน์ด้านการค้า
 (e) สเปกตรัมความถี่สัญญาณออก

ไม่ว่ากรณีใดๆ ทั้งสิ้น อีกทั้งห้ามมิให้ดัดแปลงเนื้อหา และต้องอ้างอิงถึงเจ้าของเอกสารทุกครั้งที่มีการนำไปใช้



(f) รูปคลื่นสัญญาณเข้า



(g) รูปคลื่นสัญญาณออก

รูปที่ 15 BPF (Band Pass Filter)

Band Pass Filter (BPF) เป็นวงจรกรองผ่านความถี่ที่ยอมให้ความถี่อยู่ในช่วง Low frequency cutoff ถึง High frequency cutoff ผ่านไปได้เท่านั้น โดยส่วนความถี่ที่นอกเหนือจากนี้ไปจะไม่สามารถผ่านได้

ในโครงงานนี้จะใช้วงจรกรองแบบแอคทีฟ (Active Filter) ซึ่งจัดวงจรแบบบัตเตอร์เวิร์ธ (Butterworth filter) สำหรับการออกแบบเราจะกำหนดความถี่ที่ต้องการ คือ ความถี่คัทออฟทั้งทางด้านสูงและด้านต่ำ โดยมีขั้นตอนการออกแบบดังนี้

1. เลือกค่าความถี่ด้านต่ำเท่ากับ 400 KHz ความถี่ด้านสูงเท่ากับ 520 KHz เพราะโครงงานนี้ใช้ความถี่เท่ากับ 450 KHz
2. เลือกค่าตัวเก็บประจุ
 - ทางด้าน Low pass filter ใช้ค่า 60 pF
 - ทางด้าน High pass filter ใช้ค่า 20 pF

เอกสารนี้เป็นเอกสารที่สงวนไว้สำหรับการใช้งานเพื่อการศึกษาเท่านั้น ไม่อนุญาตให้นำไปใช้ประโยชน์ด้านการค้า ไม่ว่าจะกรณีใดๆ ทั้งสิ้น อีกทั้งห้ามมิให้ตัดแปลงเนื้อหา และต้องอ้างอิงถึงเจ้าของเอกสารทุกครั้งที่มีการนำไปใช้



3. แทนค่าในสูตร

- ทางด้าน Low pass filter

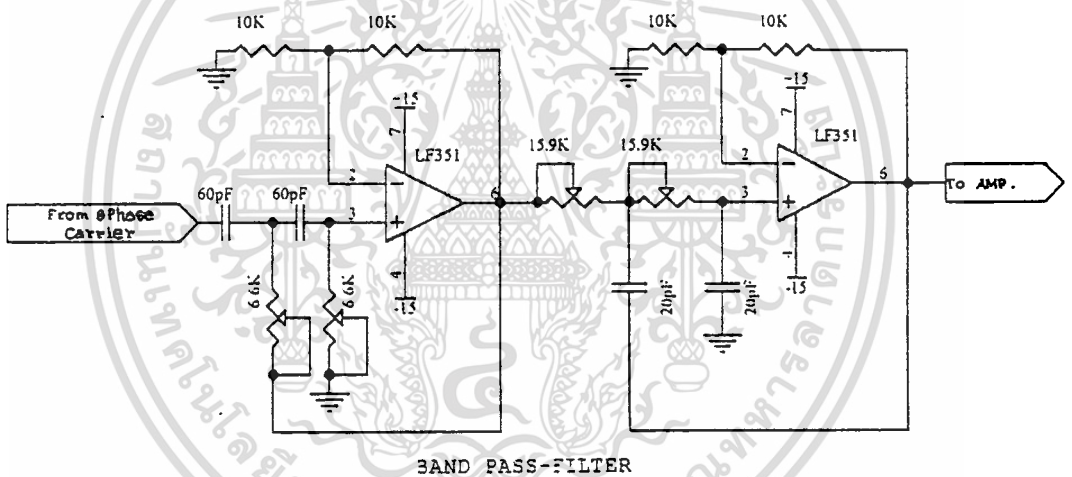
จากสูตร $R = 1/2\pi f_H C$
 $= 1/2\pi * (400 \times 10^3) * (60 \times 10^{-12})$

จะได้ $R = 6.63 \text{ k}\Omega$

- ทางด้าน High pass filter 2π

จากสูตร $R = 1/2\pi f_H C$
 $= 1/2\pi * (500 \times 10^3) * (20 \times 10^{-12})$

จะได้ $R = 15.91 \text{ k}\Omega$



รูปที่ 16 แสดงวงจรกรองผ่านความถี่ (BPF) ที่ใช้งาน

ข้อพิจารณาในการออกแบบลูฟิเตอร์

1. เนื่องจากตัวฟิลเตอร์และอินทิเกรเตอร์ที่ใช้อปแอมป์ มีฟังก์ชันเป็นอินเวอร์ต ดังนั้นจำเป็นต้องคิดแปลงแก้ไขการกลับเฟสนี้ก่อน เพื่อให้ค่าแรงดันคลาดเคลื่อน(Error Voltage) จากออสซิลเลเตอร์สามารถควบคุม VCO ได้ถูกต้องทิศทางกับความผิดพลาดที่เกิดขึ้น ซึ่งทำได้ง่ายที่สุดโดยการสลับอินพุต Fr และ Fv ที่เฟสดีเทคเตอร์

2. กรณีเฟสดี เทคเตอร์มีเอาท์พุทเป็นดับเบิลเอนด์ $K_d = V_{dd}/2$

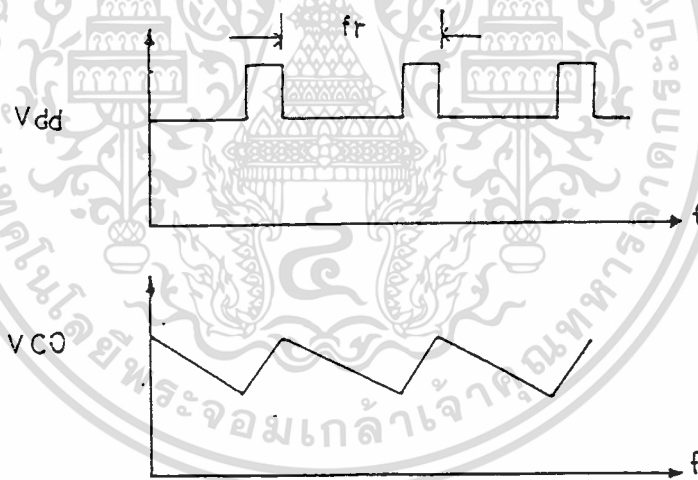
เอกสารนี้เป็นเอกสารที่สงวนไว้สำหรับการใช้งานเพื่อการศึกษาเท่านั้น ไม่อนุญาตให้นำไปใช้ประโยชน์ด้านการค้า

ไม่ว่ากรณีใดๆ ทั้งสิ้น อีกทั้งห้ามมิให้ดัดแปลงเนื้อหา และต้องอ้างอิงถึงเจ้าของเอกสารทุกครั้ง 038352

3. วงจรแอกทีฟฟิลเตอร์อาจจะเกิดการอิมิตัว ถ้ารูปเกิดการผิดพลาดเชิงเฟสที่ เฟสดีเทคเตอร์มีขนาดใหญ่พร้อมๆ กับเกิดการรบกวนเชิงอินโเวอร์ซึตขึ้นในรูป กรณีนี้อาจเกิด ขึ้นเฉพาะกับรูปที่ใช้เฟสดีเทคเตอร์เป็นชนิดคิจิตอล เนื่องจากเอาท์พุทของเฟสดี เทคเตอร์เปลี่ยนแปลงเป็น 0 หรือ 1 ในทันทีทันใด นอกจากนี้ความถี่อินพุทของฟิล เตอร์มักจะมีค่ามาก

ดังนั้นถ้าอัตราส่วนของ $R1/R2$ มากกว่า 10 ความถี่นี้จะถูกขยายด้วยอัตราส่วน ของ $R1/R2$ ถ้าสามารถทำได้ควรให้อัตราส่วนนี้มีค่าน้อยที่สุด

4. แรงดันที่ใช้ควบคุม VCO ควรมีสวนประกอบที่ไม่ใช่ AC น้อยที่สุด ส่วน ประกอบที่ไม่ใช่ DC จะทำให้ความถี่เอาท์พุทของ VCO เกิดเอาท์พุทที่ไม่ต้องการ (Spurious Output) แนนไซค์แบนด์ ของความถี่อ้างอิงควรถูกกำจัดไปให้มากที่สุด

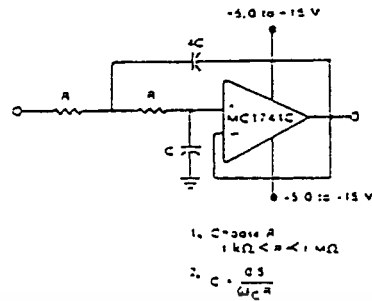


รูปที่ 18 แสดงรูปคลื่นเอาท์พุทของเฟสดีเทคเตอร์และอินทิเกรเตอร์

รูปคลื่นจากรูปที่ 18 ทำให้เกิดไซด์แบนด์ที่สัมพันธ์กับ Carrier ของ VCO ที่ สามารถคาดคะเนโดยประมาณได้จาก

$$(\text{Side Band/Carrier}) = V \cdot K_v / 2W_R$$

เมื่อ; V คือ ค่าแรงดันยอด (Peak Value) ของความถี่อ้างอิงที่อินพุทของ VCO

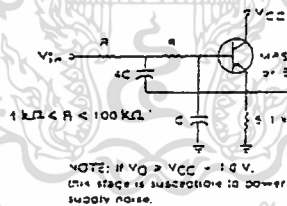


รูปที่ 18 วงจร Low Pass Filter อันดับ 2 โดยใช้โอปแอมป์

$$\omega_c = 0.636/RC$$

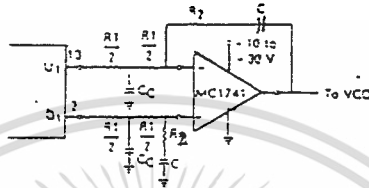
ให้เลือกค่า R ; $1\text{K} < R < 1\text{M}$

ให้เลือกค่า C; $0.5/\omega_c R$



รูปที่ 19 วงจร LPF อันดับ 2

โดยใช้ทรานซิสเตอร์ต่อแบบ (Emitter Follower) ถ้าเอาท์พุทมีค่าน้อยกว่า V_{cc} อยู่ 0.1 V วงจรจะมีความไวต่อสัญญาณรบกวนจากแหล่งจ่าย V_{cc}



รูปที่ 20 วงจรฟิลเตอร์และซิมมิงเนทเวอร์ค

2.5 วงจรผลิตความถี่ควบคุมด้วยแรงดัน

(Voltage Control Oscillator-VCO)

คุณสมบัติหลักของ VCO ที่ใช้ในเฟสล็อกกลูป เราพิจารณาได้ดังนี้

1. การเบี่ยงเบนของความถี่ (Frequency Deviation)

จุดสูงสุดของเกนเจอร์เรนจ์จะเท่ากับการขยายของลูปเปิด (Open Loop Gain)

2. เสถียรภาพทางความถี่ (Frequency Stability)

การมีเสถียรภาพทางความถี่ที่มีความจำเป็นอย่างยิ่งสำหรับวงจรสังเคราะห์ความถี่ ความไวของการมอดคูเลท (Modulation Sensitivity) ควรจะมีค่าสูง

3. การตอบสนอง (Response)

VCO ควรมีการตอบสนองสัญญาณได้ดีและไม่ควรให้มีผลต่อคุณสมบัติทางด้านเสถียรภาพของลูป

4. คุณสมบัติของความถี่และแรงดัน (Frequency Voltage Characteristic)

VCO จะต้องมีอัตราส่วนของความถี่ต่อแรงดัน (F/V) ที่มีความเป็นเชิงเส้น (Linear)

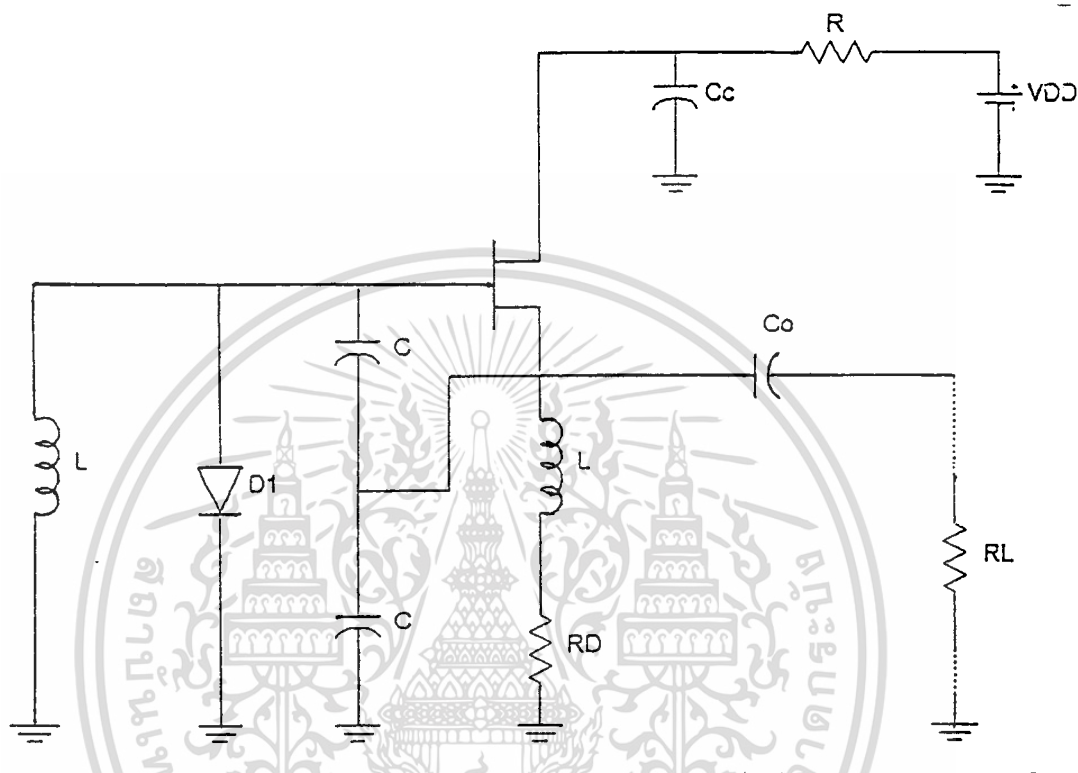
5. Spectral Purity

ในการประยุกต์ใช้งาน เช่น การส่งเคราะห์ความถี่แบบอนาล็อก วงจรผลิตความถี่ควบคุมโดยแรงดัน ควรจะมีสัญญาณเอาต์พุตที่บริสุทธิ์คือถ้าเป็นคลื่นรูปไซน์ควรจะเป็นคลื่นที่คงที่สม่ำเสมอ

ในการออกแบบเฟสล็อกจูป ออสซิลเลเตอร์ที่ควบคุมแรงดันมักจะเป็นส่วนที่จะต้องพิจารณามากที่สุด เพราะว่ามีลักษณะพิเศษของระบบ อย่างเช่น เสถียรภาพของระบบและเสถียรภาพของความถี่ รวมทั้งการคิมอดคูลเททคลื่นเอฟเอ็มตามปกติแล้วจะขึ้นอยู่กับ VCO เพื่อให้เกิดความคล่องตัวมากที่สุด VCO จะต้องมีคุณสมบัติดังนี้

6. ลักษณะการเปลี่ยนแรงดันเป็นความถี่เชิงเส้น
7. เสถียรภาพของความถี่ที่ดี
8. สามารถใช้กับความถี่สูงได้
9. อัตราการขยายสูง
10. พิสัยการติดตามกว้าง
11. การติดตั้งความถี่กระทำได้ง่าย

การวิเคราะห์ที่กล่าวมาจะแสดงให้เห็นเฉพาะวงจรเชิง AC ในการใช้งานจริงก็ต้องการไบอัส DC เพื่อให้วงจรทำงานได้เอาต์พุตของวงจรสามารถขับปลั๊กออกได้ทั้งจุด 1,2 และ 3 ดังรูป 22 ซึ่งโหมคจะมีผลต่อวงจรเช่นกัน การวิเคราะห์ได้แสดงถึงความถี่ของสัญญาณเท่านั้น การออกแบบจะกำหนดให้รูปเกนของวงจรที่วิเคราะห์แบบเชิงเส้นมีมากเป็น 3-4 เท่า เมื่อวงจรเกิดการออสซิลเลทแล้ว gm ของอุปกรณ์แอกทีฟจะลดลงจนถึงสถานะเสถียร ซึ่งในขณะนี้ขนาดของสัญญาณจะคงที่ โดยปกติกำลังของสัญญาณที่ได้มักจะไม่เกิน 25% ของกำลังงาน DC ที่วงจรดึงจากแหล่งจ่าย อุปกรณ์แอกทีฟที่ใช้สามารถนำ FET หรือ MOS-FET มาใช้งานก็จะทำงานได้ผลดีเช่นเดียวกัน



รูปที่ 21 แสดงวงจรโคลพิทท์ออสซิลเลเตอร์ซึ่งใช้ FET

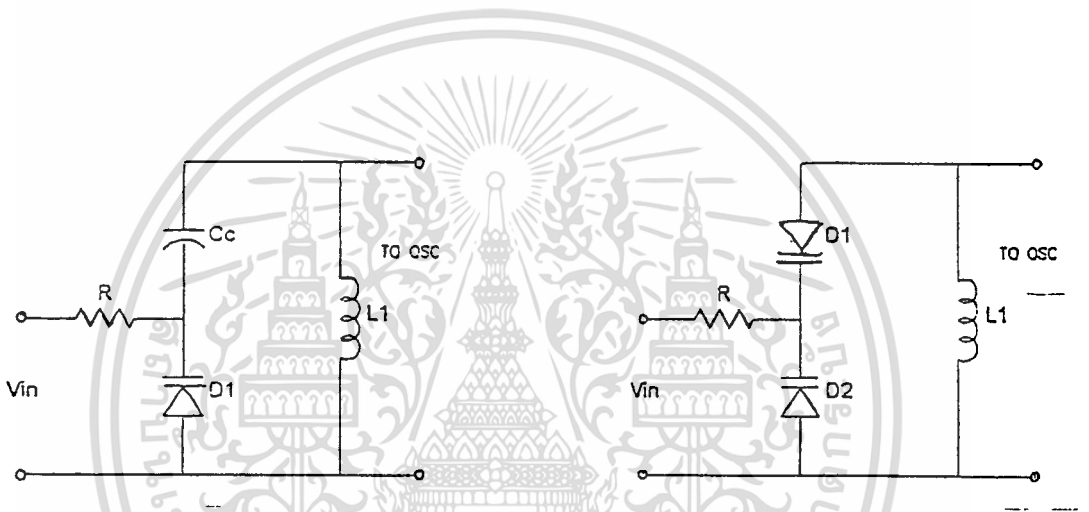
วงจรที่ใช้ FET แสดงในรูป 22

เมื่อ ; R_d ทำหน้าที่สร้างแรงดันไบอัสให้กับ FET และ R.F Choke ทำให้ R_d มีค่าอิมพีแดนซ์สูงมากที่ความถี่ใช้งาน ซึ่งจะทำให้ R_d ไม่มีผลต่อวงจร

D_1 ทำหน้าที่จำกัดขนาดแรงดัน AC ที่เกิดจากการออสซิลเลทไม่ให้มีขนาดใหญ่มากเกินไปจนทำให้รอยต่อระหว่างขาเกตและซอร์สของ FET นำกระแสได้ ซึ่งไม่จำเป็นต้องมีในกรณีที่มีแรงดัน AC มีขนาดเล็กหรือในกรณีที่เป็น MOS-FET วงจรสามารถรับ

โหลดที่เป็นค่าความต้านทานสูงๆ ได้เท่านั้น สำหรับโหลดที่มีค่าความต้านทานต่ำๆ ค่าของ C_0 จะเล็กลง เพื่อให้ r_{CO} ที่ความถี่ใช้งานมีค่าสูงจนทำให้โหลด ไม่มีผลต่อวงจรและ R กับ C ทำหน้าที่ บายพาสแรงดัน AC

วงจร VCO เป็นส่วนประกอบที่สำคัญของระบบเฟสล็อกกลูป ความถี่เอาต์พุตของ VCO จะแปรตามแรงดันอินพุตที่ควบคุมซึ่งจะใช้วิธีเปลี่ยนแรงดันไบอัสให้กับวาริแคป



รูปที่ 22 แสดงการใช้วาริแคปกับวงจรออสซิลเลเตอร์

รูปที่ 22 A คาปาซิเตอร์ จะมีค่าอิมพีแดนซ์ต่ำที่ความถี่ใช้งาน ทำหน้าที่แยกแรงดัน DC ออกจากวงจรรีโซแนนซ์

วงจรในรูปที่ 22 มีข้อจำกัดที่แรงดัน AC คร่อม $D1$ ต้องมีค่าน้อย (น้อยกว่า 600 mV rms) ไม่เช่นนั้น $D1$ อาจจะทำให้การเรคตีไฟร์แรงดันคร่อม $L1$ ซึ่งจะทำให้ความเพี้ยน เกิดขึ้นกับความถี่ที่ใช้งาน

วิธีแก้ไขทำได้โดยรูปที่ 22 B ไดโอด $D1, D2$ ต่อกลับกัน ทำให้แก้ปัญหาการเรคตีไฟร์ แต่ค่าความจุ (Capacitance) รวมของ $D1, D2$ จะลดลงครึ่งหนึ่งและ $D1, D2$ ต้องมีคุณสมบัติใกล้เคียงกันมากที่สุดหรืออาจจะรวมกันอยู่ในตัวเดียวกัน

เมื่อใช้วาริแคปร่วมกับวงจรถับวงจรรออสซิลเลเตอร์ ในรูปที่ 22 ค่าความจุของวาริแคปต้องนำไปรวมกับ C1,C2.และในทางปฏิบัติกรณีที่มี FET ก็รวมค่าของ CISS (COMMON SOURCE INPUT CAPACITANCE) เข้ากับ C1 และ COSS (COMMON SOURCE OUTPUT CAPACITANCE) เข้ากับ C2 โดยกำหนดว่าค่าจริงของ Y11 และ Y22 ไม่มีผลกับวงจร

2.6 วงจรหารแบบสองโมดูลัส (PRESCALE 2 MODULUS)

ส่วนสำคัญของวงจรถับวงจรรออสซิลเลเตอร์ ECL ซึ่งมีความสามารถในการทำงานที่ความถี่สูง การทำการหารล่วงหน้าหรือ PRESCALE ก่อน หมายถึง มีการทำงาน ในลักษณะที่หารได้ 2 ครั้งด้วยค่า 2 ค่าสลับกันในตัวไอซีเดียว เรานิยมเรียกไอซีตระกูล ECL ว่า ฟริสเกลเลอร์ชนิดสองโมดูลัส (Dual Modulus Prescaler)

ฟริสเกลเลอร์นี้สามารถหารความถี่ด้วยตัวเลข 2 ตัว ซึ่งต่างกันอยู่ 1 เช่น หาร 10 หรือ 11 เรียกว่า 10/11 ฟริสเกลเลอร์

ในโครงการนี้ใช้ MC 12017 ซึ่งเป็น 64/65 ฟริสเกลเลอร์ เอาท์พุทของฟริสเกลเลอร์จะป้อนให้แก่วงจรหาร 2 ตัว โดยตัวหนึ่งเป็นตัวนับหลัก (Main Counter) ส่วนอีกตัวเป็นตัวเสริม (Auxiliary Counter)

ตัวหารเสริมจะเป็นตัวบังคับให้ฟริสเกลเลอร์หารด้วยตัวหาร (Modulus) ตัวใดคือหารด้วย 64 หรือ 65 เช่น ป้อนข้อมูล (ความถี่) หรือพีริเซตตัวเลขให้ตัวนับ (หาร) เสริม และในขณะที่ ECL ฟริสเกลเลอร์ใช้ 65 เป็นตัวหาร เมื่อเคาน์เตอร์เสริมหยุดนับจึงส่งคำสั่งไปบังคับให้ฟริสเกลเลอร์เปลี่ยนตัวหารเป็น 64

ตัวนับหารก็เช่นกัน จะค่อยๆ นับถอยหลังไปเรื่อยๆ จนเป็นศูนย์ เมื่อตัวนับหลักและตัวนับเสริมนับถึงศูนย์เมื่อใดทั้งคู่จะถูกพีริเซตด้วยตัวเลขข้อมูล (ความถี่) เนื่องจากตัวนับเสริมจะต้องนับถึงศูนย์ก่อน

ดังนั้น ตัวเลขที่พีริเซตให้เคาน์เตอร์เสริมจะต้องน้อยกว่าตัวเลขที่พีริเซตให้เคาน์เตอร์หลัก

สมมุติว่าตัวเลขที่พีรีเซตเป็น M ให้ตัวนับหลัก และ A ให้แก่ตัวนับเสริม เริ่มแรก ให้พีรีสเกลเลอร์อยู่ในสภาวะหาร 65 ซึ่งยังคงหารตัวหาร 65 ไปจนกว่าตัวนับเสริมจะนับเป็นศูนย์นั่นคือ เวลาที่ใช้ในการนับของตัวนับเสริมเป็นศูนย์คิดเป็นจำนวนไซเคิล(ของ VCO) ที่ผ่านไปเท่ากับ 65 คูณด้วย A ไซเคิล

หลังจากนั้นพีรีสเกลเลอร์จะถูกบังคับให้เปลี่ยนตัวหารเป็น 64 (โดยตัวนับเสริม) ในขณะที่ตัวนับหลักนับผ่านไป A แล้ว (พร้อมตัวนับเสริม) เช่นกัน ยังเหลืออยู่อีก $(M-A)$ ไซเคิลก่อนที่นับเป็นศูนย์ นั่นคือ จะต้องใช้เวลาในการนับตัวนับศูนย์ต่อไปอีกคิดเป็นจำนวนไซเคิล (ของ VCO) ที่ผ่านไปเท่ากับ 64 คูณด้วย $(M-A)$

ฉะนั้นรวมเวลาที่ใช้จึงเป็นผลรวมของเวลาทั้งสองข้างต้น

$$\begin{aligned} \text{VCO ไซเคิล} &= 65A + 64(M-A) \\ &= 64A + A \end{aligned}$$

ความถี่ของ VCO จะเท่ากับ $(64M + A)$ เท่า ของความถี่อ้างอิง หรือ

$$F_{\text{synth}} = F_{\text{ref}} (64M + A)$$

ผลของตัวเลข M มีผลต่อความถี่ F_{synth} มากกว่าตัวเลข A อยู่ 64 เท่า นอกจากนี้ตัวหาร $64(M+A)$ ก็ไม่สามารถหาได้ครบทุกค่า เนื่องจากมีข้อจำกัดตรงที่ M จะต้องมากกว่า (หรือเท่ากับ) A

กรณีที่พีรีสเกลเลอร์มีค่าเป็น P และ N ตัวหารจะเป็นดังนี้

$$\text{ตัวหารของระบบสังเคราะห์ความถี่} = PM + A$$

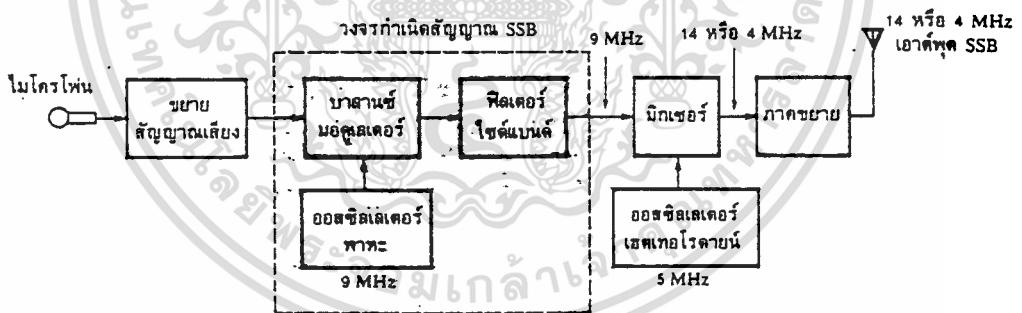
$$\text{ตัวหารต่ำสุด} = P(P-1)$$

$$\text{ตัวหารสูงสุด} = P_{\text{max}} + A_{\text{max}}$$

2.7 การแปลงความถี่ (Frequency conversion)

ไม่ว่าสัญญาณ SSB ที่กำเนิดขึ้นมาโดยวิธีใดก็ตาม ความถี่ของสัญญาณจะมีค่าตายตัวซึ่งไม่ตรงตามความถี่ที่เราจะใช้งาน ดังนั้นเราจึงจำเป็นต้องแปลงความถี่ (convert) ของสัญญาณ SSB ให้เป็นความถี่ใช้งานที่ต้องการ รูปที่ 24 แสดงวิธีการแปลงความถี่ เทคนิคการแปลงความถี่นี้บางที่เรียกว่า “การผสมคลื่น” (mixing) หรือ “เฮตเทอโรไดน์” (heterodyne)

จะเห็นว่าหลังจากสัญญาณเสียงมอดูเลต (บนพาหะ) เป็นสัญญาณ SSB แล้ว ความถี่กลางจะได้ประมาณ 9 เมกะเฮิร์ตซ์ ซึ่งเมื่อป้อนให้แก่วงจรมิกเซอร์เพื่อผสมกับสัญญาณออสซิลเลเตอร์ 5 เมกะเฮิร์ตซ์จะได้เป็นสัญญาณที่มีความถี่ประมาณ 14 หรือ 4 เมกะเฮิร์ตซ์ (เรามักเลือกใช้ความถี่ใดความถี่หนึ่งเท่านั้น) ถ้าออสซิลเลเตอร์ 5 เมกะเฮิร์ตซ์มีค่าความถี่ปรับค่าได้ ความถี่ใช้งานก็จะสามารถเลือกได้ตามต้องการ



รูปที่ 23 แผนผังของเครื่องส่ง SSB

ลองพิจารณารูปที่ 23 อีกครั้ง วงจรออสซิลเลเตอร์พาหะ (carrier oscillator) กำเนิดสัญญาณ 9 เมกะเฮิร์ตซ์ ซึ่งอยู่ในย่านความถี่ผ่านของไซด์แบนด์ฟิลเตอร์ สัญญาณไซด์แบนด์ข้างใดข้างหนึ่ง (USB หรือ LSB) จะผ่านไปสู่วงจรมิกเซอร์ ความถี่ของไซด์แบนด์จะอยู่ประมาณใกล้เคียงกับ 9 เมกะเฮิร์ตซ์ วงจรมิกเซอร์นี้เป็นวงจรที่ทำงานแบบนอนลิเนียร์ (อาจจะใช้วงจรมอดูเลเตอร์ก็ได้)

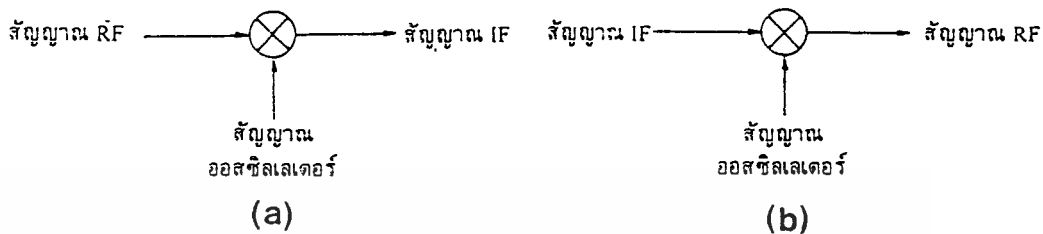
เอกสารนี้เป็นเอกสารที่สงวนไว้สำหรับการใช้งานเพื่อการศึกษาเท่านั้น ไม่อนุญาตให้นำไปใช้ประโยชน์ด้านการค้า
ไม่ว่ากรณีใดๆ ทั้งสิ้น อีกทั้งห้ามมิให้ตัดแปลงเนื้อหา และต้องอ้างอิงถึงเจ้าของเอกสารทุกครั้งที่มีการนำไปใช้

ออสซิลเลเตอร์เซตเทอโรคายนี่ในที่นี้กำเนิดความถี่ 5 เมกกะเฮิร์ตซ์ อาจจะมี ความถี่ปรับได้หรือมีสวิตช์เลือกความถี่เพื่อปรับให้ได้ตามความถี่ที่ต้องการ ในตัวอย่างนี้ สัญญาณ 9 เมกกะเฮิร์ตซ์ กับ 5 เมกกะเฮิร์ตซ์จะผสมกันในวงจรมิกเซอร์ เกิดผลลัพธ์ขึ้น เป็นสัญญาณความถี่ผลรวม 14 เมกกะเฮิร์ตซ์ กับสัญญาณความถี่ผลต่าง 4 เมกกะเฮิร์ตซ์ จากนั้นสัญญาณทั้งคู่ที่ต้องการใช้งานขยายออกไปสู่สายอากาศ วงจรขยายกำลังจะต้องถูก ไว้ที่ความถี่เดียวกับความถี่ของแท่ง กำลังของสัญญาณ SSB จากวงจรมิกเซอร์มีค่าน้อย เมื่อขยายที่วงจรถ่ายกำลังก็จะได้กำลังส่งตามที่ต้องการ สรุปแล้วสัญญาณนิยมกำเนิดที่ ระดับสัญญาณต่างๆ และมีความถี่ตายตัว จากนั้นจึงแปลงความถี่ให้ได้เป็นความถี่ที่ ต้องการโดยกรรมวิธีเซตเทอโรคายนหรือมิกซ์ (หรือผสมคลื่น)

2.7.1 วงจรมิกเซอร์

วงจรมิกเซอร์ แบ่งออกได้เป็น 2 ประเภทคือ ประเภทแอคทีฟ (active) ใช้ ทรานซิสเตอร์หรือไอซีรวมทั้งอุปกรณ์อื่นๆ ที่ให้อัตราการขยาย (ในการผสมคลื่น) และ ประเภทพาสซีฟ (passive) ใช้ไดโอดซึ่งไม่มีการขยายสัญญาณ

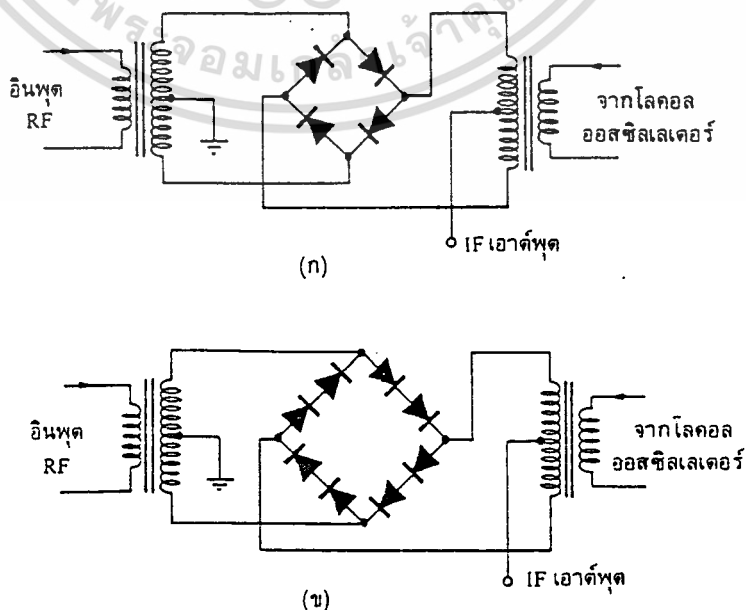
นอกจากนี้ เราอาจแบ่งวงจรมิกเซอร์ได้เป็น 2 ประเภทคือ แบบสมมูลหรือบาลานซ์ กับแบบไม่สมมูลหรืออับบาลานซ์ วงจรมิกเซอร์แบบสมมูลนี้ เราต่อวงจรให้ขั้วอินพุตของ วงจรมิกเซอร์ไม่เกิดปฏิกิริยาซึ่งกันและกัน (สัญญาณไม่เล็ดลอดระหว่างขั้ว) คุณสมบัตินี้ เราเรียกว่า “การแยกระหว่างขั้ว” หรือไอโซเลชัน (isolation) คงจำได้ว่าขั้วอินพุตของวงจรมิกเซอร์มี 2 ขั้ว คือ สัญญาณ RF(หรือ IF) กับสัญญาณออสซิลเลเตอร์ และมีขั้วเอาต์พุต 1 ขั้ว คือสัญญาณ IF (หรือ RF) ดูรูปที่ 24 ลองพิจารณาในกรณีของภาคเครื่องรับจะเห็นว่า การแยกระหว่างขั้ว RF และขั้วออสซิลเลเตอร์จะช่วยมิให้สัญญาณออสซิลเลเตอร์ย้อนกลับ ออกสู่สายอากาศแผ่กระจายคลื่นออกไปได้ และการแยกระหว่างขั้ว RF กับขั้ว IF จะช่วยมิ ให้สัญญาณที่มีความถี่พอดีตรงกับความถี่ IF เล็ดลอดเข้าไปสู่วงจรถ่าย IF ในกรณีของ ภาคส่งก็พิจารณาทำนองเดียวกัน



รูปที่ 24 (a) ตัวอย่างมิกเซอร์ของภาคเครื่องรับ, (b) มิกเซอร์ของภาคเครื่องส่ง

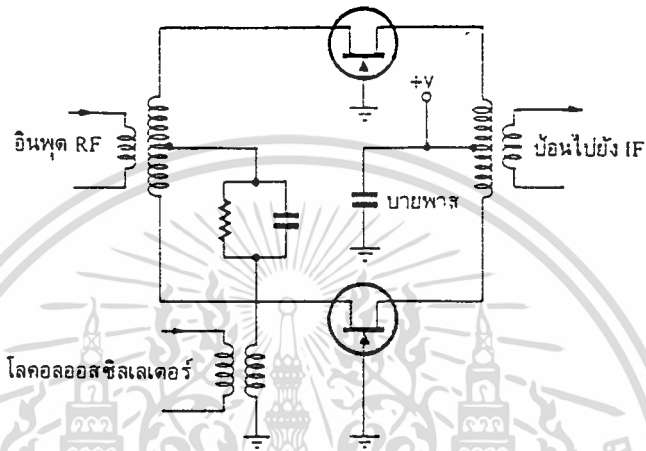
สำหรับวงจรมิกเซอร์แบบไม่สมดุลนั้น มีคุณสมบัติการแยกแยะระหว่างขั้วไม่ดีเหมือนกับแบบสมดุลถ้าต้องการให้มีการแยกสัญญาณดีต้องใช้ฟิลเตอร์ช่วยในการกรองสัญญาณต่างหากอีก

ดูตัวอย่างวงจรบาลานซ์มิกเซอร์ รูปที่ 24 ซึ่งใช้ในภาคเครื่องรับ ไดโอดที่ใช้ในภาคเครื่องรับ ไดโอดที่ใช้ต้องมีคุณสมบัติเหมือนกัน และหม้อแปลงก็ต้องสมมาตรกับจุดกลางวงจรในรูปที่ 24 (b) จะแตกต่างจาก รูปที่ 24 (a) ตรงที่ใช้จำนวนไดโอดเพิ่มอีก 4 ตัว เพื่อให้เหมาะกับการผสมสัญญาณที่มีความแรงมากกว่า (เช่นมิกเซอร์ในภาคเครื่องส่ง)

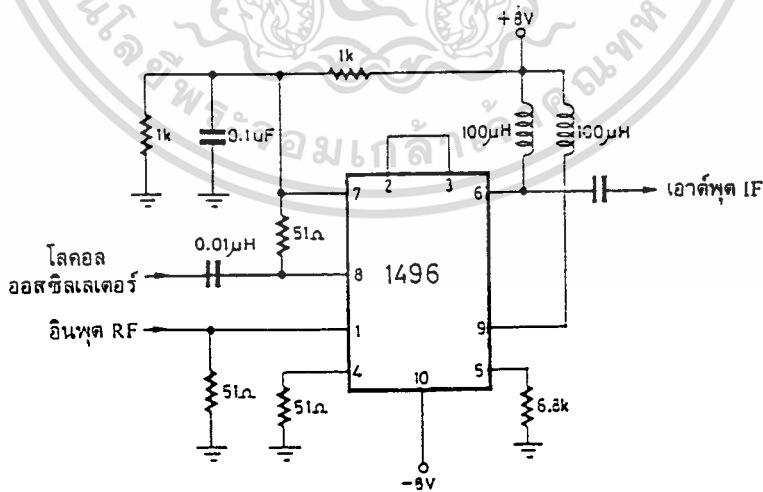


เอกสารนี้เป็นเอกสารที่สงวนไว้สำหรับการใช้งานเพื่อการศึกษาเท่านั้น ไม่อนุญาตให้นำไปใช้ประโยชน์ด้านการค้า
 ไม่ว่ากรณีใดๆ ทั้งสิ้น อีกทั้งห้ามมิให้เผยแพร่หรือใช้ซ้ำโดยไม่ได้รับอนุญาตจากสำนักพิมพ์
รูปที่ 25 วงจรบาลานซ์มิกเซอร์ชนิดพาสซีฟ

ในรูปที่ 25 แสดงวงจรบาลานซ์มิกเซอร์แบบแอกติฟ ซึ่งให้อัตราขยายในการผสมคลื่น (แทนที่จะให้อัตราการสูญเสียในการผสมคลื่นเหมือนกับแบบพาสซีฟ) และรูปที่ 24 เป็นวงจรบาลานซ์มิกเซอร์อีกแบบหนึ่งที่ใช้ไอซี



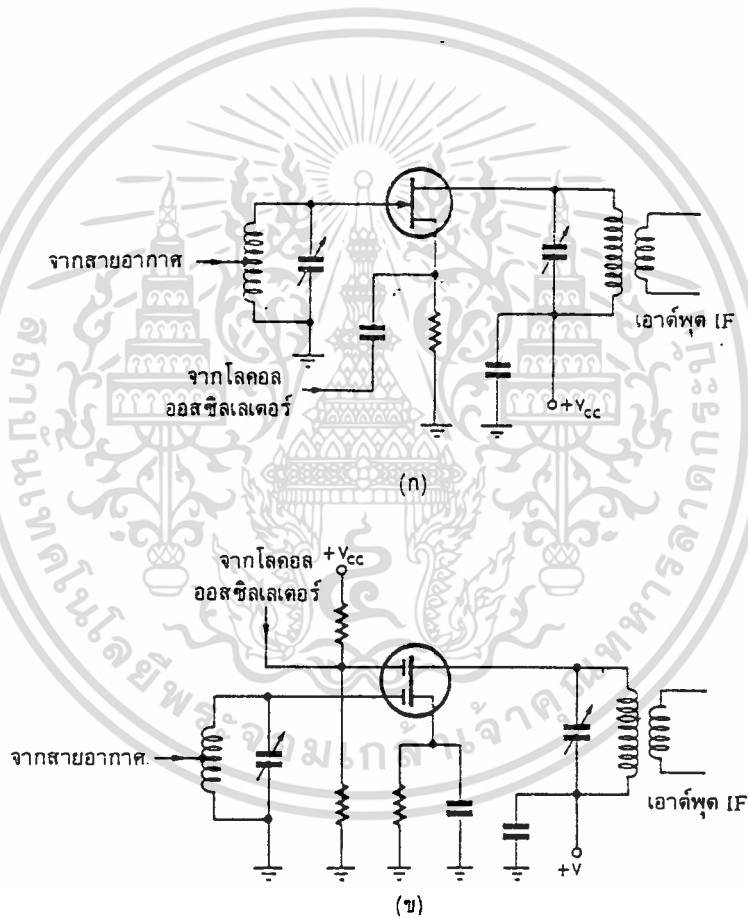
รูปที่ 26 วงจรบาลานซ์มิกเซอร์ ชนิดแอกติฟ แบบใช้ FET



รูปที่ 27 วงจรบาลานซ์มิกเซอร์ ชนิดแอกติฟ แบบใช้ IC

เอกสารนี้เป็นเอกสารที่สงวนไว้สำหรับการใช้งานเพื่อการศึกษาเท่านั้น ไม่อนุญาตให้นำไปใช้ประโยชน์ด้านการค้า ไม่ว่าจะกรณีใดๆ ทั้งสิ้น อีกทั้งห้ามมิให้ตัดแปลงเนื้อหา และต้องอ้างอิงถึงเจ้าของเอกสารทุกครั้งที่มีการนำไปใช้

วงจรมิกเซอร์แบบไม่สมดุลแสดงไว้ในรูปที่ 28 (ข) ซึ่งใช้ MOSFET คุณสมบัติของวงจร คือ มีการแยกแยะระหว่างขั้วออสซิลเลเตอร์กับสายอากาศค่อนข้างดี แต่ระหว่างขั้ว RF และขั้ว IF ไม่ค่อยดี เราจำเป็นต้องใช้ฟิลเตอร์ช่วยกรองความถี่เพื่อกำจัดสัญญาณ RF มิให้เล็ดลอดเข้าสู่ขั้ว IF ได้ ในรูปที่ 28 (ก) เราใช้ JFET โดยป้อนสัญญาณออสซิลเลเตอร์เข้าทางซอส และสัญญาณ RF เข้าทางเกตซึ่งคุณสมบัติการแยกแยะระหว่างขั้ว RF กับขั้วออสซิลเลเตอร์จะไม่ค่อยดี



รูปที่ 28 วงจรมิกเซอร์แบบไม่สมดุล

บทที่ 3

การออกโปรแกรมและทฤษฎีการใช้งาน 8255

3.1 ขั้นตอนการออกแบบโปรแกรม

1. คิดรูปแบบการติดต่อการใช้งานระหว่าง soft ware และ hard ware ภาษาที่ใช้
2. เขียน Flow chart การทำงานของโปรแกรมคร่าวๆ
3. เขียน Flow chart ที่ละเอียดขึ้น พร้อมทั้งเขียนโปรแกรมไปด้วย

4. ทดสอบโปรแกรมการติดต่อต่างๆ ให้ได้ พร้อมทั้งเพิ่มเติมรายละเอียดตามต้องการ

ใน Project ชั้นนี้ต้องการติดต่อระหว่าง software กับ hardware ผ่านทาง computer โดยการมีเมนูให้ติดต่อระหว่าง soft ware กับ hard ware ผ่านทางจอคอมพิวเตอร์ ที่เลือกใช้ computer ในการติดต่อ เพราะปัจจุบันมีการใช้ computer อย่างกว้างขวางในทุกๆวงการ ดังนั้นจึง ทำการพัฒนาโปรแกรมลงบน computer เพื่อที่จะให้ง่ายและสะดวกในการใช้งาน ซึ่งจะเห็นได้ว่าชีวิตประจำวันในปัจจุบันนี้จะมี computer เข้ามาเกี่ยวข้องอยู่เสมอ และในตอนี้ก็มีการพัฒนาโปรแกรมใน computer ให้ใช้งานได้หลายอย่างขึ้นไม่ว่าจะเป็น การแต่งเพลง ร้อง-ฟังเพลง เป็น SW control อุปกรณ์ต่างๆ และ internet เป็นต้น

เพื่อจะให้ง่ายต่อการเขียนเมนูทางจอภาพและสามารถติดต่อ port ต่างๆได้สะดวก ใน project นี้เลือกใช้ ภาษา C เป็น compiler ในการเขียนโปรแกรม เพราะเป็นภาษาที่มีการใช้งานอย่างกว้างขวาง มีข้อมูลให้ศึกษาการทำงานได้มาก ซึ่งภาษามีคุณลักษณะพิเศษ และมีข้อจำกัดดังนี้

----- คุณลักษณะพิเศษของภาษาซี

1. C เป็นภาษาที่มีการโปรแกรมแบบ procedure ที่มีประสิทธิภาพมากที่สุด เพราะโปรแกรมสั่งงานได้เร็วกว่าทุกภาษา (ยกเว้นภาษาแอสเซมบลี) ด้วยเหตุนี้ โปรแกรมสมัยปัจจุบันมักจะเขียนด้วยภาษาซี และถ้าส่วนไหนต้องการความเร็วเพิ่มขึ้น จะใช้แอสเซมบลีเขียนในส่วนนั้นๆ ของโปรแกรม
2. C เป็นภาษาที่ใช้ติดต่อกับส่วนต่างๆ ของ computer ได้ดีกว่าภาษาอื่น

เอกสารนี้เป็นเอกสารที่สงวนไว้สำหรับการใช้งานเพื่อการศึกษาเท่านั้น ไม่อนุญาตให้นำไปใช้ประโยชน์ด้านการค้า ไม่ว่ากรณีใดๆ ทั้งสิ้น อีกทั้งห้ามมิให้ดัดแปลงเนื้อหา และต้องอ้างอิงถึงเจ้าของเอกสารทุกครั้งที่มีการนำไปใช้

3. ถึงแม้ว่าตัวแปลภาษาซี ให้เป็นภาษาเครื่องจะมีอยู่มาก แต่ทั้งหมดก็ยึดเอามาตรฐานของ ANSI เป็นหลัก จะมีต่างกันก็เรื่องของ Graphics เท่านั้น (ANSI ย่อมาจาก American National Standards Institute)
4. C เป็นภาษาที่มี Portability สูง ดังนั้น โปรแกรมที่เขียนด้วย C จึงง่ายต่อการที่จะนำไปใช้งานกับเครื่องชนิดต่างชนิดกัน เช่นจาก Personal Computer ไปสู่ Mainframe หรือจาก MS-DOS ไปสู่ UNIX เป็นต้น
5. C เป็นภาษาที่สั่งงาน computer ได้แทบทุกอย่าง เท่าที่ภาษาจะสั่งงานทำได้ โดยอาจใช้ C ในการเขียน Operating System, เขียนตัวแปลภาษา (Compiler) ของภาษาอื่นๆ, เขียนโปรแกรมเกี่ยวกับ (Modem) หรือเกี่ยวกับปัญญาประดิษฐ์ (Artificial Intelligence)
6. C เป็นภาษาที่มีโปรแกรมสนับสนุนมากและราคาต่ำ
7. C เป็นภาษาที่กำหนดรูปแบบของข้อมูลได้อย่างกว้างขวาง

ข้อจำกัดของภาษาซี

1. เมื่อเปรียบเทียบกับภาษาอื่น C จะเป็นภาษาที่อยู่ในระดับต่ำกว่า ดังนั้น โปรแกรมภาษาซี จึงยาวกว่าภาษาอื่นๆ โดยปกติเวลาจะเขียนโปรแกรมสำเร็จรูปจริงๆ อาจต้องซื้อโปรแกรมสนับสนุนมาช่วยเพื่อให้โปรแกรมสมบูรณ์ยิ่งขึ้น นั่นคือจะต้องเสียค่าใช้จ่ายมากขึ้น
2. C เป็นภาษาที่มีการสั่งงานเป็นแบบ procedure นั่นคือก่อนที่จะทำการแก้ปัญหาใดๆ จะต้องรู้ขั้นตอนการแก้ปัญหา นั้นก่อน
3. C เป็นโปรแกรมเป็นภาษาชั้นสูงที่ตัวโปรแกรมอ่านเข้าใจได้ยากกว่าภาษาอื่น
4. ถึงแม้ว่า C จะถูกทำให้อยู่ในมาตรฐานเดียวกัน แต่ก็ยังมีสิ่งที่แตกต่างกันอยู่มาก

ส่วนประกอบในโปรแกรมของภาษาซี

โปรแกรมภาษาซีประกอบด้วยส่วนสำคัญ 3 ส่วน คือ (ตย.ด้านล่าง)

1. Comment lines คือ ส่วนของข้อความที่สามารถเขียนแทรกเข้าไปในส่วนต่างๆ ของโปรแกรมเพื่อประโยชน์ในการช่วยเตือนความจำหรืออธิบายว่าส่วนนั้นๆ ของโปรแกรมทำอะไร โดยเริ่มต้นของ comment line ต้องเป็นเครื่องหมาย /* และปิดท้ายด้วย

เอกสารนี้เป็นเอกสารที่สงวนไว้สำหรับการใช้งานเพื่อการศึกษาเท่านั้น ไม่อนุญาตให้นำไปเผยแพร่โดยไม่ได้รับอนุญาต

ไม่ว่ากรณีใดๆ ทั้งสิ้น อีกทั้งห้ามมิให้ตัดแปลงเนื้อหา และต้องอ้างอิงถึงเจ้าของเอกสารทุกครั้งที่มีการนำไปใช้

เครื่องหมาย */ ที่อาจเป็นบรรทัดเดียวหรือหลายบรรทัดก็ได้ ส่วนของ comment line นี้ อาจมีแทรกอยู่ส่วนไหนของ โปรแกรมก็ได้

2. Compiler Directive คือ ส่วนที่ใช้บอก Compiler ถึงการรวมไฟล์ต่างๆเข้ามา ร่วมในการคอมไพล์ด้วย เช่น #include <stdio.h> จะเป็นการบอก Compiler ว่าคอมไพล์ โปรแกรมนี้ให้นำหน้าข้อมูลในไฟล์ stdio.h เข้ามารวมกับโปรแกรมนีก่อน ที่เราต้องทำ เช่นนี้เพราะฟังก์ชัน scanf และ printf ได้ถูกกำหนดในนิยาม (prototype) ไว้ใน stdio.h

3. ส่วนของ Body จะมีว่า main() เพื่อบอกจุดเริ่มต้นของโปรแกรม โดยมีเครื่องหมายปีกกาเปิด (open brace) “ { “ และเครื่องหมายปีกกาปิด (close brace) “ } “ เป็นตัว หัวท้ายของโปรแกรม นอกจากนั้นภายในตัวโปรแกรมยังประกอบด้วย

ก. Declaration

คือ ส่วนที่บอกคอมพิวเตอร์ว่า ตัวแปรที่ใช้ในโปรแกรมนี้อาจเป็นตัวแปร ใดบ้าง ชนิดไหน เช่นในโปรแกรมตัวอย่างมรการบอกว่า จะมีการใช้ตัวแปร x, y และ z โดยตัวแปรทั้งสาม เป็นตัวแปรที่ใช้เก็บเลขทศนิยม (floating point number)

ข. Input

คือ ส่วนที่ทำการอ่านค่าของตัวแปรเข้ามา ซึ่งอาจอ่านเข้ามาทาง คีย์บอร์ดหรืออ่านเข้ามาทางไฟล์ข้อมูลของแผ่นดิสเกตต์ ก็ได้

ค. Computation หรือ Assignment

คือ ส่วนที่ใช้ในการคำนวณรวมไปถึงการกำหนดค่าให้กับตัวแปรด้วย

ง. Output

คือ การแสดงผลซึ่งอาจแสดงออกทางจอภาพหรือ นำผลเก็บไว้ในไฟล์ ข้อมูลก็ได้

ตัวอย่าง โปรแกรมภาษาซี

```

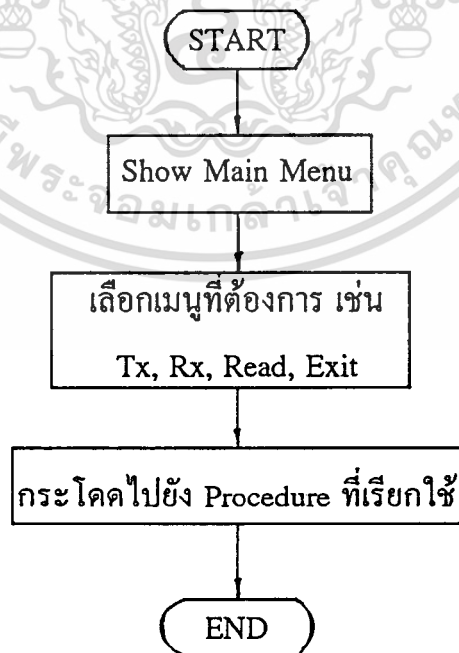
/* My first Program */           -Comment
#include (stdio.h)                -Compiler Directive
main()                            -
{                                  -
    float x,y,z;                  - Declarnations
    scanf ("%f %f",&x, &y);      - Inputs
    z = x+y;                       - Computations
    printf("The sum is %f\n",z);   - Output
}

```

ข้อสังเกต แต่ละคำสั่งต้องลงท้ายด้วยเครื่องหมาย semi-colon (;) เสมอ

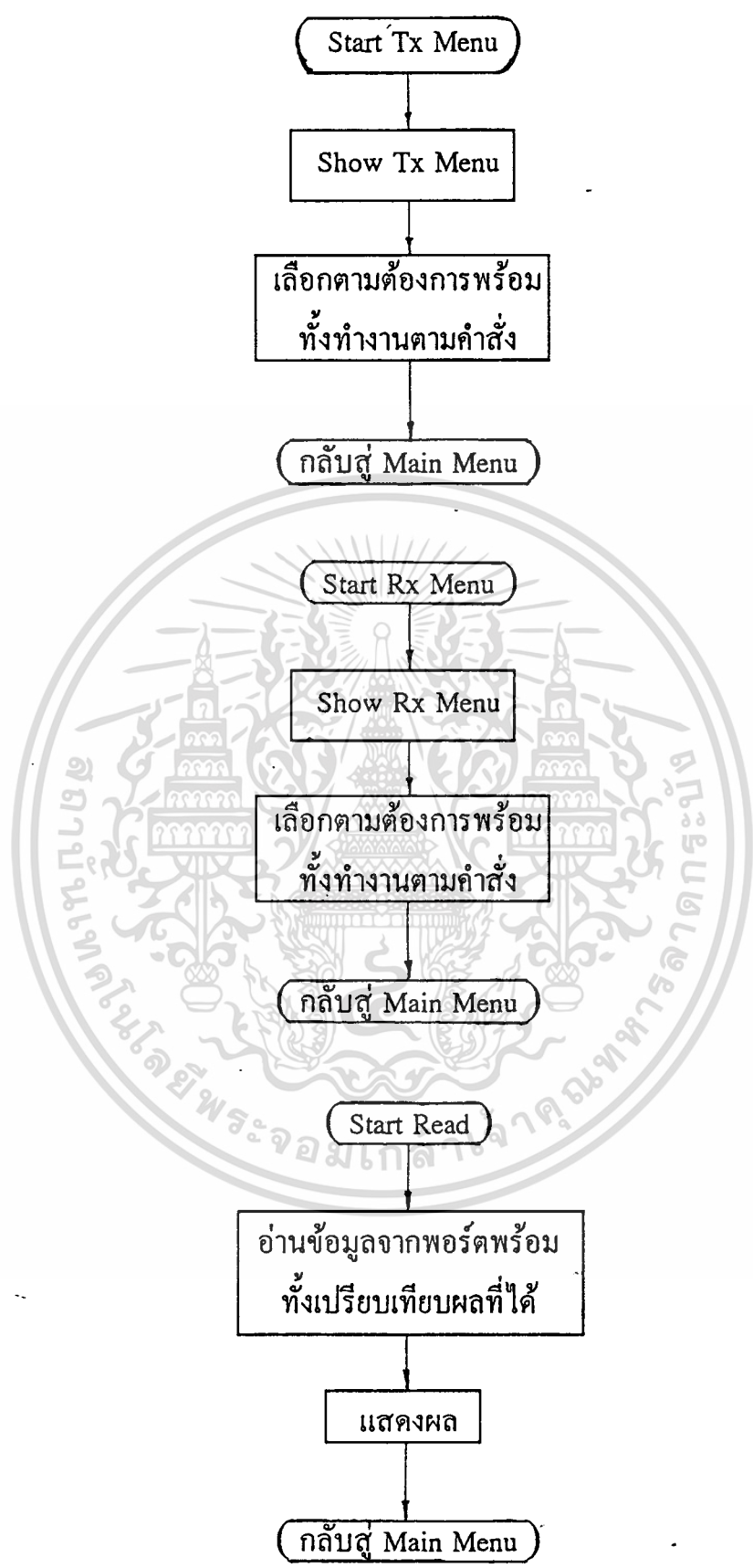
ซึ่งในที่นี้จะไม่กล่าวถึงวิธีการเขียนโปรแกรมโดยละเอียด ถ้าสนใจจะศึกษาให้หาข้อมูลได้ตามหนังสืออ้างอิงด้านหลัง

ทำการเขียน Flow chart การทำงานคร่าวๆของโปรแกรม และรูปแบบเมนูต่างๆว่า จะให้อยู่ในลักษณะใด



รูปที่ 29 Flow Chart Main Menu

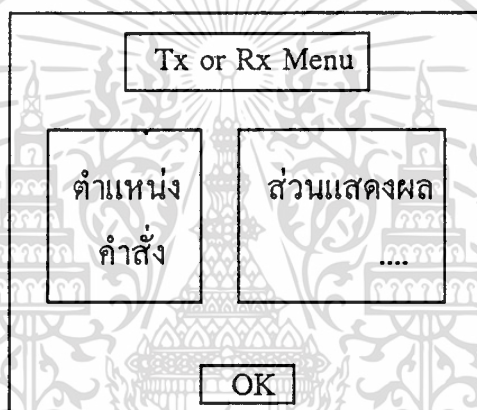
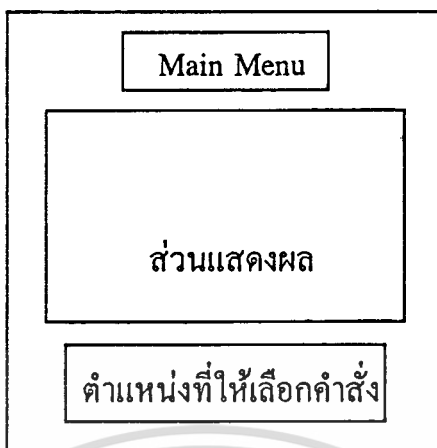
เอกสารนี้เป็นเอกสารที่สงวนไว้สำหรับการใช้งานเพื่อการศึกษาเท่านั้น ไม่อนุญาตให้นำไปใช้ประโยชน์ด้านการค้า ไม่ว่ากรณีใดๆ ทั้งสิ้น อีกทั้งห้ามมิให้ตัดแปลงเนื้อหา และต้องอ้างอิงถึงเจ้าของเอกสารทุกครั้งที่มีการนำไปใช้



รูปที่ 30 Flow Chart Tx, Rx, Read Menu

เอกสารนี้เป็นเอกสารที่สงวนไว้สำหรับการใช้งานเพื่อการศึกษเท่านั้น ไม่อนุญาติให้นำไปใช้ประโยชน์ด้านการค้า ไม่ว่ากรณีใดๆ ทั้งสิ้น อีกทั้งห้ามมิให้ตัดแปลงเนื้อหา และต้องอ้างอิงถึงเจ้าของเอกสารทุกครั้งที่มีการนำไปใช้

รูปแบบเมนู



รูปที่ 31 รูปแบบเมนู

จาก Flow Chart นี้ทำการเขียนโปรแกรมเพื่อให้ได้ผลตามต้องการ ซึ่งอาจมีการเพิ่มเติมรายละเอียดต่างๆลงไปอีกได้เช่น Help Menu, รายละเอียดโปรแกรม เป็นต้น

ในส่วนการแสดงผลภาษาซีสามารถแสดงได้ 2 โหมด คือ Garphics Mode และ Text Mode ใน project นี้ใช้ Graphics Mode เพราะมีรูปแบบในการแสดงผลที่สวยงามกว่า แต่การเขียนโปรแกรมจะยุ่งยากกว่า Text Mode อยู่มาก

เอกสารนี้เป็นเอกสารที่สงวนไว้สำหรับการใช้งานเพื่อการศึกษาเท่านั้น ไม่อนุญาตให้นำไปใช้ประโยชน์ด้านการค้า ไม่ว่าจะกรณีใดๆ ทั้งสิ้น อีกทั้งห้ามมิให้ตัดแปลงเนื้อหา และต้องอ้างอิงถึงเจ้าของเอกสารทุกครั้งที่มีการนำไปใช้

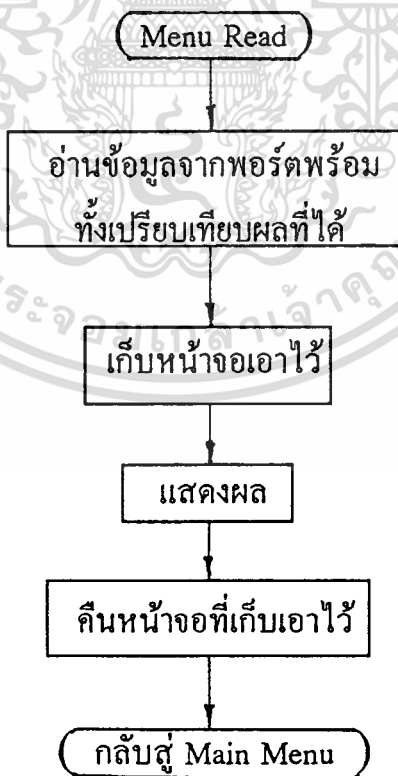
ส่วนการติดต่อระหว่างผู้ใช้กับโปรแกรม ก็มีอยู่ 2 วิธี เช่นเดียวกัน คือใช้ Keyborad หรือ Mouse อย่างเดียว หรือทั้งสองอย่างคู่กัน ซึ่งใน project นี้ใช้ทั้ง Keyborad และ Mouse เพื่อความสะดวกของผู้งานกับโปรแกรมที่เขียนขึ้น

เพื่อให้การติดต่อระหว่างผู้ใช้กับโปรแกรม ทำงานแล้วไม่ขาดตอน จึงเขียนโปรแกรมให้แสดงผลแบบ Pop up windows จะหยุดการทำงานของโปรแกรมไว้ชั่วคราว ซึ่งทำให้ผู้ใช้เกิดความรู้สึกที่ดีกว่าการแสดงผลแบบธรรมดา (Pop up windows เมื่อเรียกใช้งาน จะเขียนหน้าจอใหม่ทับหน้าจอที่ใช้งานปัจจุบันที่ใช้งานอยู่เดิม ซึ่งหลักการจริงๆ ก็คือจะมีการนำข้อความเดิมที่ถูกทับไว้ลงไปเก็บไว้ใน Memory แล้วแสดงผลที่ต้องการเมื่อออกจาก Pop up windows จะนำข้อมูลที่อยู่ใน Memory กลับมาไว้ยังตำแหน่งเดิม)

ในการเขียนโปรแกรมเราจะเขียนเป็น Procedure ย่อยๆ หลาย Procedure เพื่อจะง่ายต่อการออกแบบโปรแกรม และสามารถดัดแปลงแก้ไขได้ง่าย

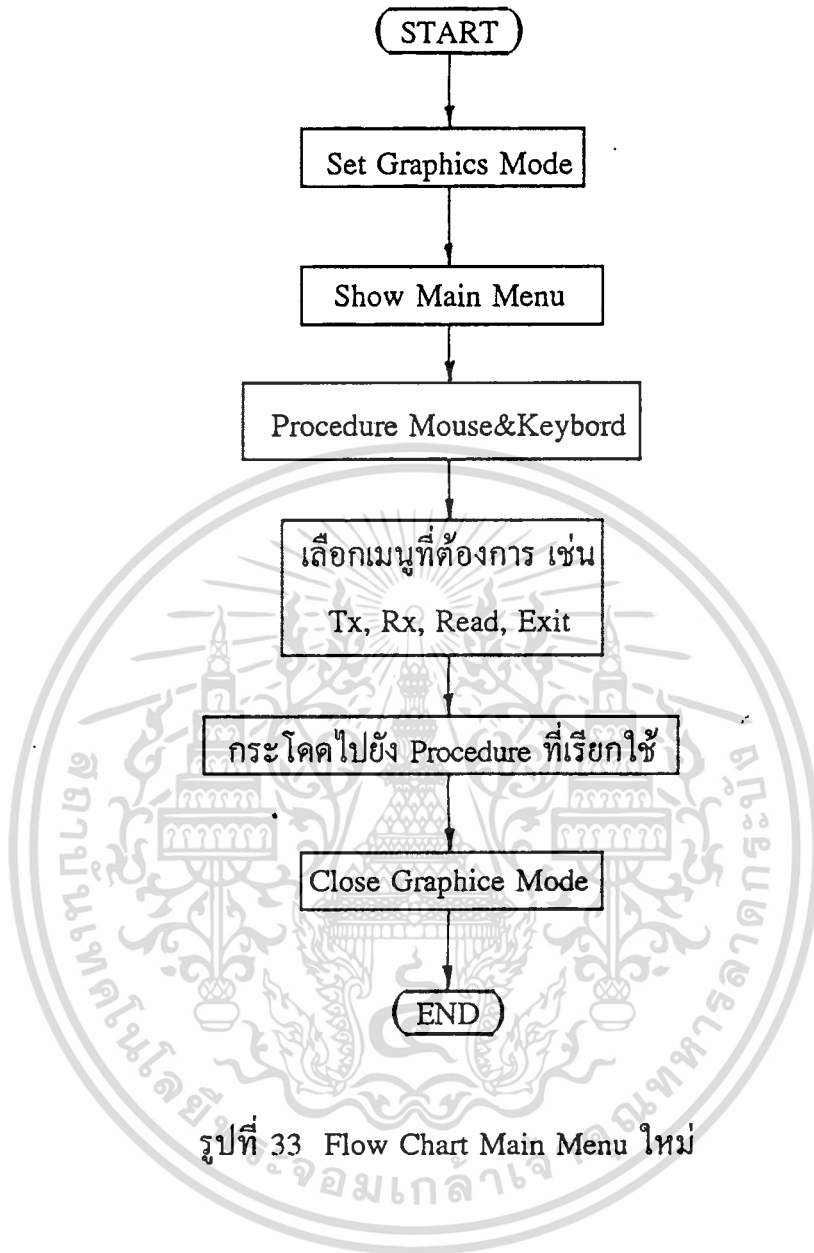
จากที่กล่าวมาทั้งหมดเราสามารถเขียนเป็น Flow Chart การทำงานของโปรแกรมที่ละเอียดกว่าเดิมได้ดังนี้

แสดง Flow Chart ใหม่ ที่ละเอียดขึ้น

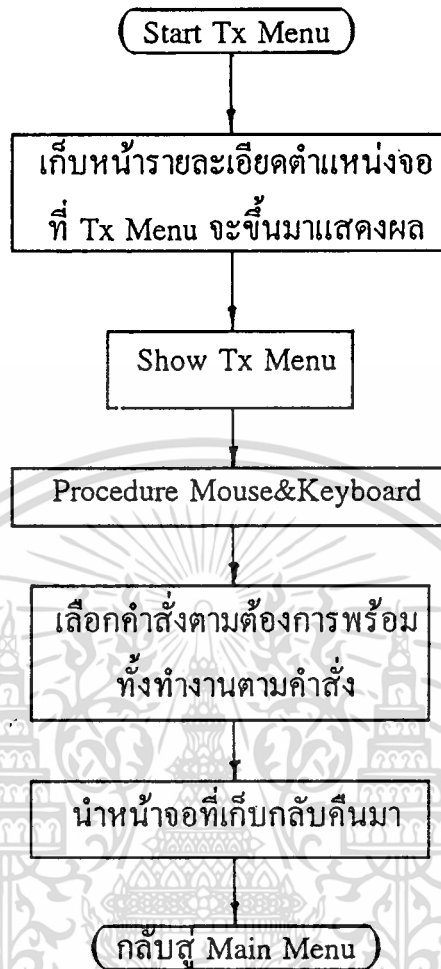


รูปที่ 32 Flow Chart Read Menu ใหม่

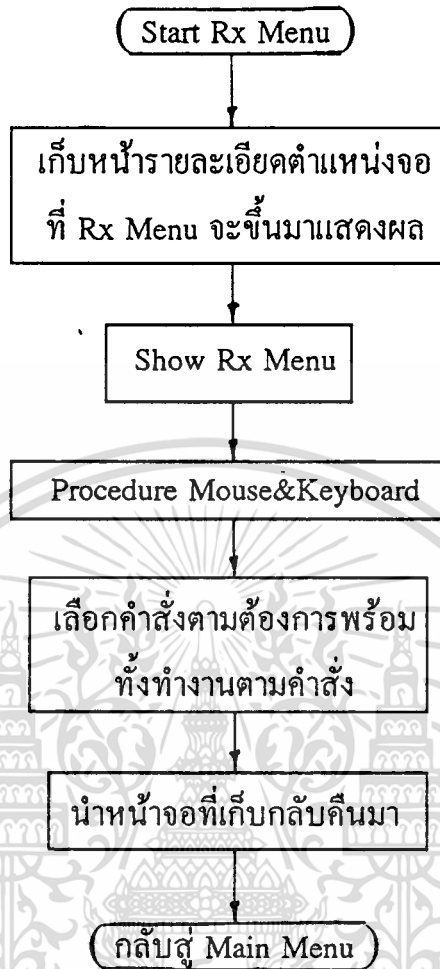
เอกสารนี้เป็นเอกสารที่สงวนไว้สำหรับการใช้งานเพื่อการศึกษาเท่านั้น ไมอนุญาตให้นำไปใช้ประโยชน์ด้านการค้า ไม่ว่ากรณีใดๆ ทั้งสิ้น อีกทั้งห้ามมิให้ดัดแปลงเนื้อหา และต้องอ้างอิงถึงเจ้าของเอกสารทุกครั้งที่มีการนำไปใช้



รูปที่ 33 Flow Chart Main Menu ใหม่



รูปที่ 34 Flow Chart Tx Menu ใหม่



รูปที่ 35 Flow Chart Rx Menu ใหม่

ทำการทดสอบโปรแกรมในการติดต่อกับ Hardware โดยสร้างชุดทดลองขึ้นมาโดยมี Buffer กันข้อมูลไว้ ซึ่งจะทำหน้าที่ขับ LED เพื่อแสดงผลข้อมูลที่รับส่งมาให้เห็นจริง และ ป้องกันอุปกรณ์ในการติดต่อ (ในที่นี้ใช้ IC เบอร์ 8255 เป็นไอซีควบคุมพอร์ตขนาน 8 bit จำนวน 3 พอร์ต A,B,C up และ C down ทั้ง 3 สามารถเป็นได้ทั้งพอร์ตอินพุต และ พอร์ตเอาต์พุต ซึ่งขึ้นกับ Control port ที่ส่งไปโปรแกรมการทำงาน ของ 8255 เอง) ไม่ให้เสียหาย ถ้าเกิดการ short ที่ output โดยชุดทดลองที่สร้างขึ้นมาจะต่อกับ พอร์ตหมายเลขที่ใช้ในการรับหรือส่งข้อมูล ทำการทดลองจนสมบูรณ์

เปลี่ยนชุดทดลองเป็นวงจรใช้งานจริง ทำการทดลองและแก้ไขส่วนที่ผิดพลาดจนสมบูรณ์

เอกสารนี้เป็นเอกสารที่สงวนไว้สำหรับการใช้งานเพื่อการศึกษาเท่านั้น ไม่อนุญาตให้นำไปใช้ประโยชน์ด้านการค้า ไม่ว่าจะกรณีใดๆ ทั้งสิ้น อีกทั้งห้ามมิให้ตัดแปลงเนื้อหา และต้องอ้างอิงถึงเจ้าของเอกสารทุกครั้งที่มีการนำไปใช้

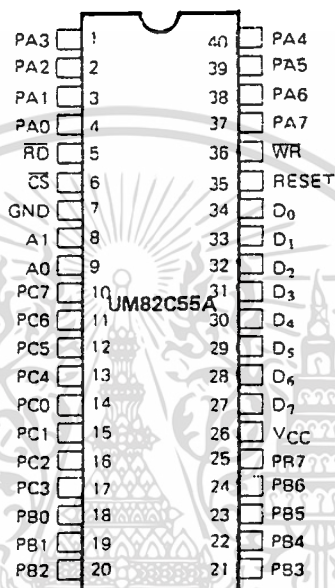
3.2 ทฤษฎีและการใช้งาน 8255

ไมโครโปรเซสเซอร์นั้นนอกจากติดต่อกับหน่วยความจำโดยกานำข้อมูลไปเก็บไว้หรืออ่านข้อมูลใดๆ ออกจากหน่วยความจำแล้วตัว CPU เองอาจจะต้องติดต่อกับส่วนประกอบภายนอกอื่นๆนั้น CPU ต้องติดต่อ (รับหรือส่งข้อมูล) โดยผ่านทางอินพุทหรือเอาต์พุทพอร์ท ซึ่งอาจสามารถใช้ไอซี TTL บางเบอร์มาใช้เป็นพอร์ทสำหรับ CPU ได้ แต่ทั้งนี้การใช้ไอซี TTL มีข้อจำกัดหลายอย่าง เช่น ในกรณีที่มีความจำเป็นจะต้องใช้พอร์ทหลายๆพอร์ท เพราะต้องติดต่อกับอุปกรณ์ภายนอกหลายจุด จึงจำเป็นต้องใช้ไอซีเหล่านี้จำนวนหลายตัวและอาจทำให้ยากในการออกแบบวงจร อีกทั้งไม่สามารถจะเปลี่ยนแปลงลักษณะการทำงานให้แตกต่างไปจากเดิมที่ได้ออกแบบไว้แล้ว ดังนั้นผู้ผลิต CPU ในตระกูลต่างๆจึงมักจะผลิตไอซีประเภท LSI ที่ทำหน้าที่เป็นพอร์ทมาเพื่อใช้งานร่วมกับ CPU เบอร์นั้นๆ ได้สะดวกซึ่งจะทำให้การรับส่งข้อมูลมีความเชื่อถือได้สูงและยังสามารถเปลี่ยนแปลงชนิดของพอร์ท (จากอินพุทเป็นเอาต์พุทหรือจากเอาต์พุทเป็นอินพุท) ได้ง่ายโดยการควบคุมของ CPU เอง ในบทนี้จะกล่าวถึงไอซีที่ทำหน้าที่เป็นอินพุทและเอาต์พุทพอร์ท ซึ่งนิยมในการนำไปใช้งานมากที่สุดอีกทั้งยังมีราคาถูกหาซื้อได้ง่ายคือไอซีเบอร์ 8255 ของบริษัทอินเทลที่จริงแล้วไอซีเบอร์ 8255 นี้ได้ถูกออกแบบและผลิตขึ้นมาเพื่อใช้งานร่วมกับ CPU เบอร์ 8080 แต่ก็สามารถนำมาใช้กับ Z-80 หรือ CPU เบอร์อื่นๆได้ โดยในบทนี้จะกล่าวถึงคุณสมบัติการทำงานรวมทั้งการนำ 8255 ไปใช้งาน

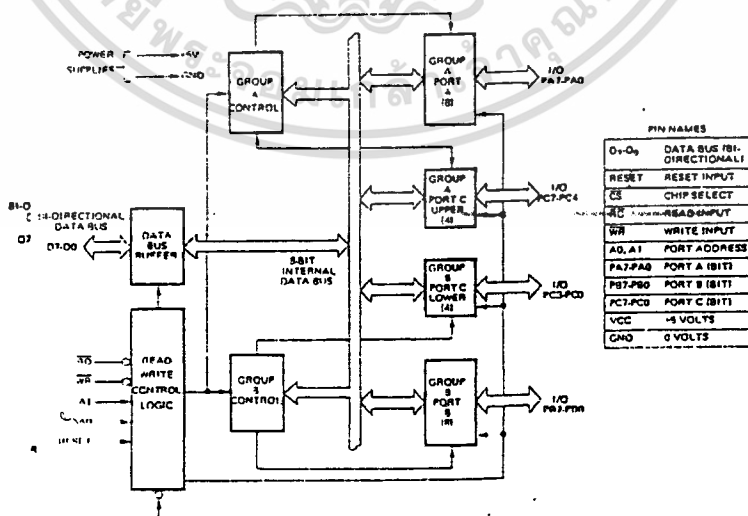
8255 นั้นเป็นไอซี LSI ขนาด 40 ขา จากรูปที่ 36 แสดงตำแหน่งของขาต่างๆทั้ง 40 ขา ส่วนรูป 37 แสดงแผนผังภายในของ 8255 ซึ่ง 8255 นี้มีพอร์ทสำหรับรับส่งข้อมูลอยู่ด้วยกัน 3 พอร์ทมีชื่อดังนี้คือ พอร์ท A,B และ C โดยพอร์ท C นี้จะแบ่งออกเป็น 2 ส่วนคือ พอร์ท C ล่าง (CLO) กับพอร์ท C บน (CHI) นอกจากนี้แล้วยังมีพอร์ทหนึ่ง ซึ่งทำหน้าที่ควบคุมการทำงานของพอร์ท A B และ C โดยการรับคำสั่งมาจาก CPU พอร์ทนี้เรียกว่า พอร์ทควบคุม (Control port) พอร์ทนี้ใช้งานก็ต่อเมื่อ CPU ต้องการกำหนดลักษณะการทำงานของพอร์ท A B และ C หรือต้องการเปลี่ยนแปลงค่าจากที่กำหนดไว้เดิม CPU จะส่งรหัสควบคุมมาทางคาส์บัส (Data Bus) ให้แก่พอร์ทควบคุมนี้

เอกสารนี้เป็นเอกสารที่สงวนไว้สำหรับการใช้งานเพื่อการศึกษาเท่านั้น ไม่อนุญาตให้นำไปใช้ประโยชน์ด้านการค้า ไม่ว่ากรณีใดๆ ทั้งสิ้น อีกทั้งห้ามมิให้ตัดแปลงเนื้อหา และต้องอ้างอิงถึงเจ้าของเอกสารทุกครั้งที่มีการนำไปใช้

การกำหนดรหัสที่ใช้ในการควบคุมพอร์ตต่างๆ นี้จะกล่าวในตอนต่อไปในทางปฏิบัติผู้ออกแบบระบบต้องนำรหัสควบคุมที่ได้มาตามกำหนดของ 8255 นี้ไปใส่ในโปรแกรมเพื่อให้ CPU ทำการส่งรหัสควบคุมนี้มายังพอร์ตควบคุมเมื่อระบบนั้นเริ่มต้นทำงานหน้าที่ของขาต่างๆก่อนที่จะกล่าวถึงการนำ 8255 ไปใช้งานควรทราบหน้าที่ของขาต่างๆของ 8255 ทั้ง 40 ขาเสียก่อน จะทำให้เข้าใจ ถึงวิธีการใช้งานได้ดียิ่งขึ้นขาต่างๆของ 8255 สามารถแบ่งออกได้ดังนี้



รูปที่ 36 ตำแหน่งขาต่าง ๆ ของ 8255



รูปที่ 37 แผนผังภายในของ 8255

เอกสารนี้เป็นเอกสารที่สงวนไว้สำหรับการใช้งานเพื่อการศึกษาเท่านั้น ไม่อนุญาตให้นำไปใช้ประโยชน์ด้านการค้า ไม่ว่าจะกรณีใดๆ ทั้งสิ้น อีกทั้งห้ามมิให้ดัดแปลงเนื้อหา และต้องอ้างอิงถึงเจ้าของเอกสารทุกครั้งที่มีการนำไปใช้

CS (Chip Select) ขานี้ใช้สำหรับรับสัญญาณจากภายนอกเพื่อใช้ในการเลือกว่าจะใช้ 8255 ตัวนี้ทำงานหรือไม่โดยถ้าขานี้ได้รับลอจิก “0” จะทำให้ 8255 เชื่อมต่อเข้ากับระบบบัสต่าง ๆ ของ CPU (โดยการเป็น Hi-Z)

RD (Read Enable) เป็นขาอินพุตที่จะรับสัญญาณจาก CPU ถ้าขานี้ได้รับลอจิก “0” และขณะนั้นขา CS ต้องเป็นลอจิก “0” ด้วย 8255 จะทำการส่งข้อมูลจากพอร์ทที่ CPU ต้องการติดต่อด้วยนั้นให้แก่ CPU ทางคาต้าบัส

WR (Write Enable) มีหน้าที่การทำงานตรงข้ามกับขา RD คือ ถ้าขา WR นี้ได้รับ ลอจิก “0” (CS ต้องเป็น “0” ด้วยเช่นกัน) 8255 จะรับข้อมูลจากคาต้าบัสของ CPU ส่งออกไปยังพอร์ทที่ CPU กำหนดไว้

RESET คือ ขาที่ทำหน้าที่ Reset 8255 เมื่อใดที่ 8255 ได้รับสัญญาณ Reset มันจะกลับเข้าสู่โหมดอินพุตคือทุก ๆ พอร์ทจะเป็นอินพุตพอร์ท ขา RESET นี้ใช้เมื่อต้องการเคลียร์สถานะต่าง ๆ ของ 8255

D0-D7 คือ ขาข้อมูลที่ใช้ในการติดต่อบริ่ส่งข้อมูลกับ CPU โดยขา D0-D7 นี้จะต่อเข้ากับคาต้าบัสของ CPU เพื่อให้ CPU ส่งข้อมูลออกไปยังพอร์ทหรือรับข้อมูลจากพอร์ทส่งให้แก่ CPU ผ่านทาง D0-D7 นี้

A0-A1 คือ ขาแอดเดรสที่ใช้ในการเลือกพอร์ทที่ CPU ต้องการจะติดต่อด้วย ซึ่งมีความเป็นไปได้ทั้งหมด 4 ค่า ดังนี้ คือ

00	=	พอร์ท A
01	=	พอร์ท B
10	=	พอร์ท C
11	=	พอร์ทควบคุม

PA0-PA7 เป็นขาสัญญาณของพอร์ท A ใน 8255 ซึ่งจะถูเลือกโดยค่าของ A0-A1 และเมื่อพอร์ทนี้ถูกเลือกใช้ ข้อมูลต่าง ๆ ก็จะถูกส่งผ่าน PA0-PA7 นี้ไปยัง D0-D7 (กรณีที่ให้พอร์ท A นี้เป็นอินพุตพอร์ท) หรือจาก D0-D7 (กรณีที่เป็นเอาต์พุตพอร์ท)

PB0-PB7 เป็นขาสัญญาณของพอร์ท B ซึ่งจะถูเลือกโดยลอจิกที่ A0-A1 เช่นกันกับพอร์ท A และ พอร์ท B นี้มีข้อจำกัดในการรับส่งข้อมูลที่ต่างจากพอร์ท A ในบางกรณี

PC0-PC7 ซึ่งเป็นสายสัญญาณของพอร์ท C ซึ่งจะแบ่งออกเป็น 2 กลุ่ม คือ PC0-PC3 และ PC4-PC7 โดยแต่ละกลุ่มสามารถแยกกันทำงานได้โดยอิสระ คือ กลุ่มหนึ่งอาจเป็นอินพุทพอร์ทในขณะที่อีกกลุ่มหนึ่งเป็นเอาต์พุทพอร์ทได้ แต่จะทำงานพร้อม ๆ กัน โดยการเลือกด้วยลอจิกที่ A0-A1 การใช้งาน 8255 นั้น แบ่งลักษณะการทำงานออกเป็น 3 โหมด (Mode) ด้วยกันคือ

- โหมด 0 เป็นโหมดอินพุทหรือเอาต์พุทพอร์ทอย่างใดอย่างหนึ่งซึ่งทั้ง 3 พอร์ท คือ A, B และ C สามารถทำงานในโหมดนี้ได้
- โหมด 1 เป็นโหมดอินพุท หรือเอาต์พุทพอร์ทอย่างใดอย่างหนึ่งเช่นกัน แต่จะมีการทำงานเป็นลักษณะของ Handshaking ซึ่งจะกล่าวรายละเอียดในภายหลัง ในโหมดนี้ทำงานได้เฉพาะพอร์ท A และ B
- โหมด 2 เป็นโหมด Bidirectional คือ เป็นได้ทั้งอินพุท และเอาต์พุทพอร์ทในเวลาเดียวกัน และทำงานแบบ Handshaking เช่นเดียวกับโหมด 1 ในโหมดนี้ใช้ได้เฉพาะในพอร์ท A เท่านั้น

การกำหนดโหมดการทำงานของ 8255 นั้นทำได้โดย CPU ทำการส่งรหัสควบคุมผ่านทางคาตาบัสมายังพอร์ทควบคุม (Control port) ของ 8255 รหัส ควบคุมนี้จะมีขนาด 1 ไบท์ เรียกว่า Control Byte และในแต่ละบิตของ Control Byte (1 Byte = 8 bit) นั้นจะมีความหมายของตัวเองดังแสดงในรูปที่ 2 ซึ่งจะอธิบายได้ดังนี้

บิต D7 เป็นบิตที่แสดงว่า Byte นี้เป็นรหัสควบคุม (Control Byte) ซึ่งจะมีผลต่อการหนดโหมดการทำงานของ 8255

บิต D6 และ D5 มีความหมายในการเลือกโหมดของพอร์ท A ซึ่งสามารถทำงานได้ทั้ง 3 โหมด โดยลอจิกที่ D6 และ D5 จะมีความหมายดังนี้

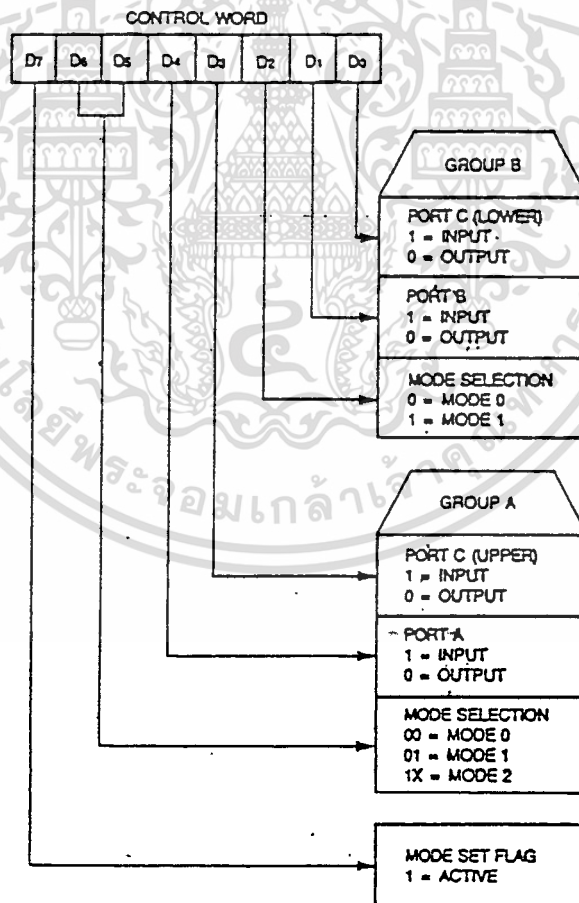
00	=	โหมด 0
01	=	โหมด 1
10	=	โหมด 2
11	=	โหมด 2

บิต D4 ถ้าเป็นลอจิก "0" หมายถึงสั่งให้พอร์ท A ทำหน้าที่เป็นเอาต์พุทพอร์ท แต่ถ้าเป็นลอจิก "1" พอร์ท A จะเป็นอินพุทพอร์ทบิตนี้จะมีความหมายเมื่อเราให้ 8255 ทำงานในโหมด 0 หรือ โหมด 1 เท่านั้นเพราะในโหมดที่ 2 พอร์ท A จะเป็นทั้งอินพุท

และเอาต์พุตพอร์ท ในเวลาเดียวกันบิต D3 เป็นบิตที่กำหนดการทำงานของพอร์ท C บน (PC4-PC7) ถ้าบิตนี้เป็นลอจิก “0” พอร์ท C บนนี้จะป็นเอาต์พุตพอร์ท ถ้าเป็น “1” จะเป็นอินพุตพอร์ท

บิต D2 เป็นบิตที่ใช้สำหรับกำหนดโหมดการทำงานของพอร์ท B ถ้าเป็นลอจิก “0” หมายถึงให้พอร์ท B ทำงานในโหมด 0 ถ้าเป็นลอจิก “1” จะทำงานในโหมด 1 บิต D1 เป็นการกำหนดให้พอร์ท B เป็นอินพุตหรือเอาต์พุตพอร์ท ถ้า D1 เป็นลอจิก “0” จะเป็นเอาต์พุตพอร์ทแต่ถ้าเป็นลอจิก “1” จะเป็นอินพุตพอร์ท

บิต D0 เป็นบิตที่ใช้กำหนดการเป็นอินพุตหรือเอาต์พุตของพอร์ท C ล่าง (PC0-PC3) ถ้าบิตนี้เป็น “0” จะเป็นเอาต์พุต ถ้าเป็น “1” จะเป็นอินพุต ตัวอย่างการกำหนดรหัสควบคุมที่จะส่งให้แก่พอร์ทควบคุมของ 8255 หรือที่เรียกว่า การโปรแกรม 8255 เช่น ถ้าเราต้องการให้พอร์ท A และพอร์ท C บนเป็นอินพุตพอร์ท ส่วนพอร์ท B กับ



รูปที่ 38 แสดงความหมายของแต่ละบิตในรหัสควบคุม

เอกสารนี้เป็นเอกสารที่สงวนไว้สำหรับการใช้งานเพื่อการศึกษาเท่านั้น ไม่อนุญาตให้นำไปใช้ประโยชน์ด้านการค้า ไม่ว่าจะกรณีใดๆ ทั้งสิ้น อีกทั้งห้ามมิให้ตัดแปลงเนื้อหา และต้องอ้างอิงถึงเจ้าของเอกสารทุกครั้งที่มีการนำไปใช้

พอร์ท C ล่างเป็นเอาต์พุตพอร์ท และทุกพอร์ททำงานในโหมด 0 จะสามารถกำหนดรหัสควบคุมได้ดังรูปที่ 38 จากรูปเราจะได้รับรหัสควบคุมหรือคอนโทรลไบนารีเป็น 10011000 หรือ 98h ในระบบเลขฐานสิบหก และนำมาเขียนเป็นคำสั่งสำหรับ Z-80 ได้ดังนี้

LD A,98h ; กำหนดรหัสควบคุม
OUT (Control Port) , A ; ส่งรหัสควบคุมให้แก่พอร์ทควบคุม

3.4 การทำงานโหมดต่างๆ ของ 8255

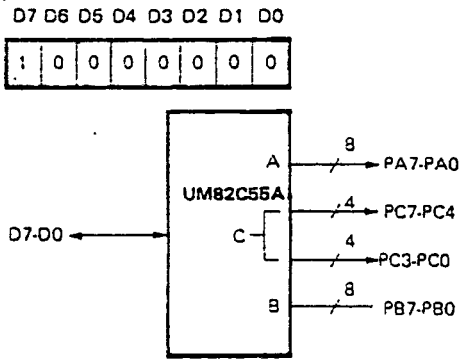
- โหมด 0

ในโหมด 0 นี้ เป็นการกำหนดให้พอร์ททุกพอร์ทของ 8255 นี้ เป็นอินพุตเอาต์พุตพอร์ทแบบพื้นฐานหรือที่เรียกว่า Simple I/O Port ซึ่งเป็นที่นิยมใช้กันมากเมื่อนำมาเป็นพอร์ทของ Z-80 มีรูปแบบความเป็นไปได้ในการโปรแกรมให้พอร์ท A , B และ C เป็นอินพุตหรือเอาต์พุตได้ทั้งหมด 16 รูปแบบ ดังรูปที่ 39

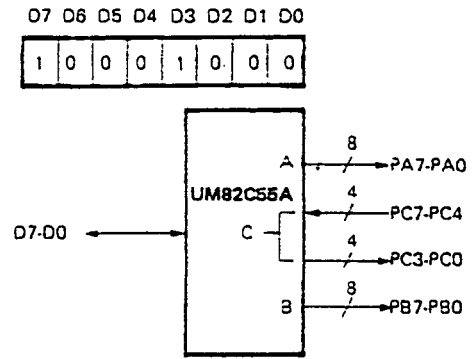
จากรูปในแต่ละช่องจะแสดงรูปแบบการทำงานของโหมด 0 ของ 8255 หนึ่งรูปแบบ โดยจะแสดงถึงสถานะการทำงานของพอร์ท A , B และ C ด้วยลูกศรดำลูกศรชี้ออกจากตัว 8255 หมายถึง เป็นอินพุตพอร์ท ส่วนพอร์ท C นั้นจะแบ่งเป็น 2 ส่วน คือ พอร์ท C บน และพอร์ท C ล่าง พอร์ทละ 4 เส้นส่วนด้านบนของแต่ละช่องแสดงค่าของรหัสควบคุม (Control Word) ที่ต้องส่งให้แก่พอร์ทควบคุมในรูปเลขฐาน 16 เพื่อโปรแกรมให้พอร์ทต่างๆทำงานเป็นอินพุต เอาต์พุตตามที่แสดงไว้ในช่องนั้นเช่นถ้าเราต้องการให้พอร์ท A และพอร์ท C บน เป็นอินพุตพอร์ท ส่วนพอร์ท B และพอร์ท C ล่าง เป็นเอาต์พุตพอร์ทดังตัวอย่างที่เคยกล่าวมาแล้วถ้าดูจากรูปที่ 5 ก็จะตรงกับช่องของ Control Word # 14 มีลอจิกที่ D₀-D₇ ดังนี้คือ 10011010 หรือ 98H ในฐาน 16 เช่นเดียวกับที่เคยกล่าวมาแล้วนั่นเอง

Mode 0 Configurations

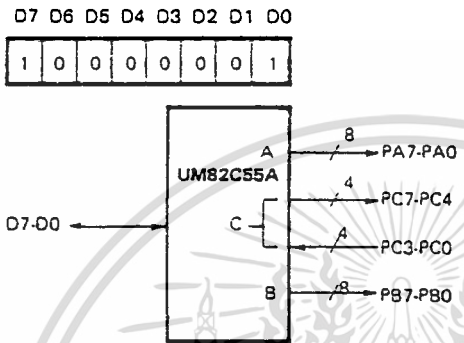
CONTROL WORD #0



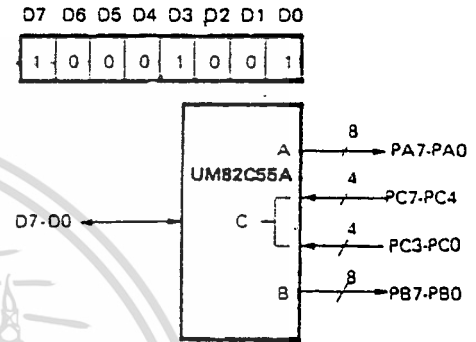
CONTROL WORD #4



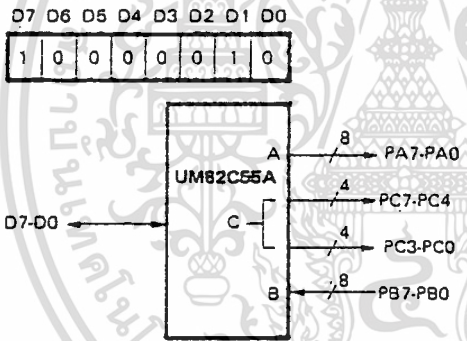
CONTROL WORD #1



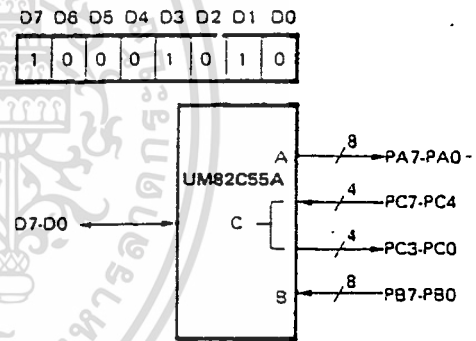
CONTROL WORD #5



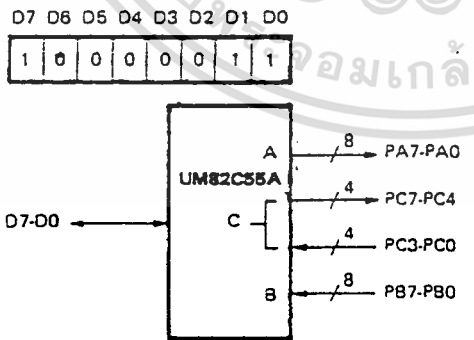
CONTROL WORD #2



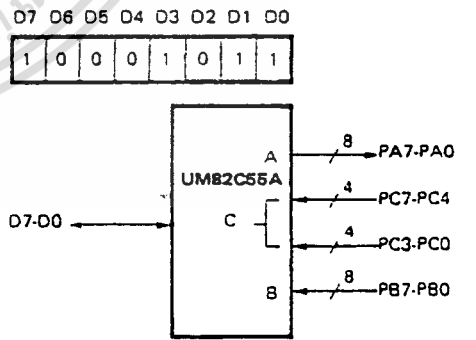
CONTROL WORD #6



CONTROL WORD #3



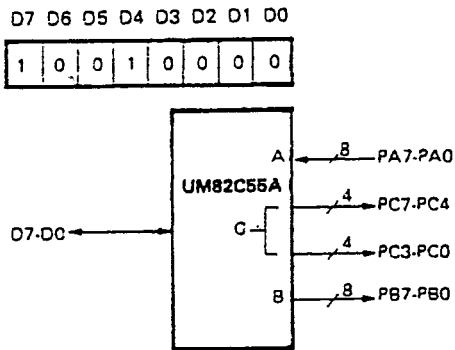
CONTROL WORD #7



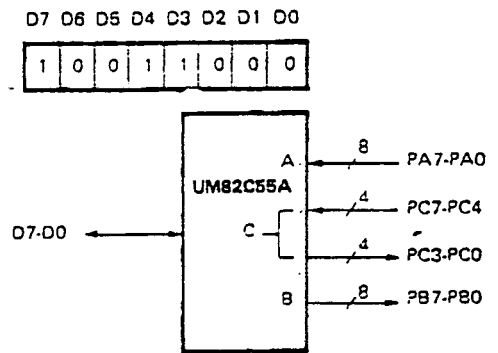
รูปที่ 39 รหัสควบคุมของการทำงานในโหมด 0

เอกสารนี้เป็นเอกสารที่สงวนไว้สำหรับการใช้งานเพื่อการศึกษาเท่านั้น ไม่อนุญาตให้นำไปใช้ประโยชน์ด้านการค้า
ไม่ว่ากรณีใดๆ ทั้งสิ้น อีกทั้งห้ามมิให้ดัดแปลงเนื้อหา และต้องอ้างอิงถึงเจ้าของเอกสารทุกครั้งที่มีการนำไปใช้

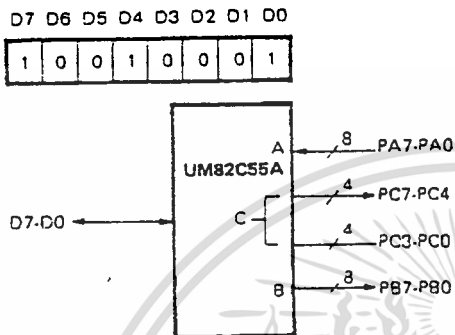
CONTROL WORD #8



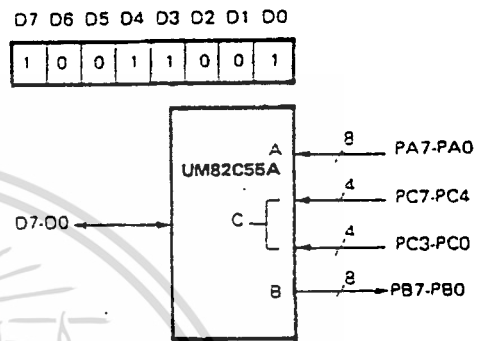
CONTROL WORD #12



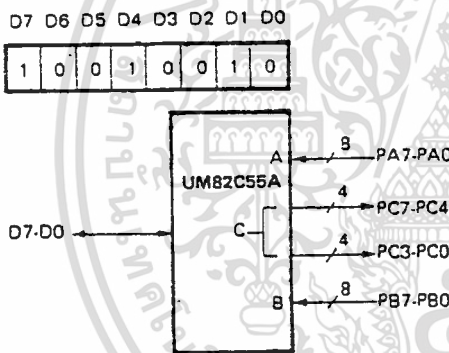
CONTROL WORD #9



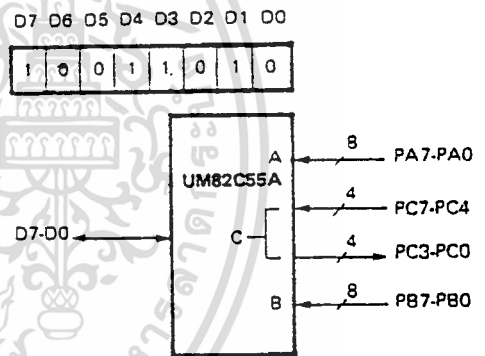
CONTROL WORD #13



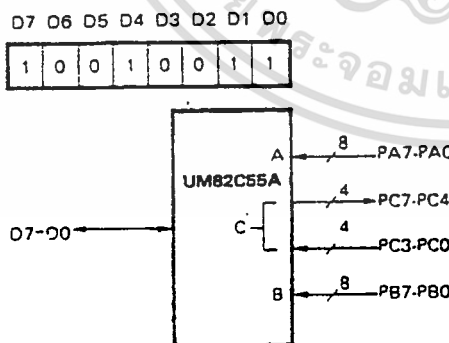
CONTROL WORD #10



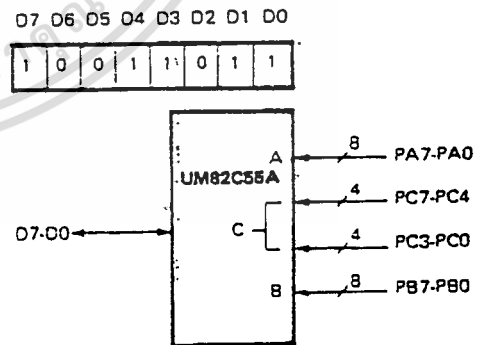
CONTROL WORD #14



CONTROL WORD #11



CONTROL WORD #15



รูปที่ 39 รหัสควบคุมของการทำงานในโหมด 0 (ต่อ)

เอกสารนี้เป็นเอกสารที่สงวนไว้สำหรับการใช้งานเพื่อการศึกษาเท่านั้น ไม่อนุญาตให้นำไปใช้ประโยชน์ด้านการค้า
 ไม่ว่าจะกรณีใดๆ ทั้งสิ้น อีกทั้งห้ามมิให้ดัดแปลงเนื้อหา และต้องอ้างอิงถึงเจ้าของเอกสารทุกครั้งที่มีการนำไปใช้

ตัวอย่าง จงเขียนโปรแกรมควบคุม 8255 ซึ่งมีหมายเลขพอร์ทต่างๆดังกล่าวข้างต้นให้ทำงานในโหมด 0 โดยให้พอร์ท A ,B และ พอร์ม C ล่างเป็นเอาต์พุตส่วนพอร์ท C บน เป็นอินพุตพอร์ทหลังจากนั้นให้ส่งข้อมูลค่า A7H ออกไปยังพอร์ท A , B และ C ตามลำดับ

Solⁿ จากโจทย์ดังกล่าวเราสามารถหาค่าของ Control Word ได้ จากรูปที่ 39 ซึ่งจะตรงกับ Control Word # 4 มีลอจิก D7-D0 เป็น 10001000 เท่ากับ 88H ในเลขฐาน 16 สามารถนำไปเขียนเป็นโปรแกรมได้ดังนี้

LD A,88H	; กำหนดรหัสควบคุม
OUT (03H) , A	; ส่งไปยังพอร์ทควบคุม
LD A,A7H	; เตรียมค่าที่กำหนด (จากโจทย์)
OUT (00H) , A	; ส่งไปยังพอร์ท A
OUT (01H) , A	; ส่งไปยังพอร์ท B
OUT (02H) , A	; ส่งไปยังพอร์ท C

หลังจากทำโปรแกรมนี้อันเสร็จแล้วที่พอร์ท A และ B จะมีค่าเป็น A7H และ ค่าคงที่นี้ไว้ (Latch) จนกว่า CPU จะส่งค่าใหม่มาแทน ส่วนพอร์ท C นั้นเนื่องจากเป็นเอาต์พุตพอร์ทเฉพาะพอร์ท C ล่าง(4 bit) ดังนั้นค่าที่ส่งมายังพอร์ท C ล่างก็คือค่าของ 4 bit ล่างของคาตาบัส (D₀-D₇) ได้แก่ D₀-D₃ เท่านั้น ทำให้ได้ค่าจากพอร์ท C เป็น 7H (ถ้าเขียนให้เต็ม 8 bit จะได้เป็น 07H) และในการแบ่งพอร์ท C ออกเป็น 2 ส่วน เช่นนี้สิ่งที่ต้องคำนึงถึงคือ ถ้า CPU ต้องการรับหรืออ่านข้อมูลจากพอร์ท C ส่วนที่เป็นอินพุตพอร์ทเพียง 4 bit ที่เป็นเอาต์พุตพอร์ทมาด้วย เช่นถ้าเราเขียนโปรแกรมต่อจากโปรแกรมข้างบนด้วยคำสั่งถ่ายข้อมูลจากพอร์ท C เข้ามาไว้ที่รีจิสเตอร์ A ดังนี้

IN A, (02H) ; อ่านข้อมูลจากพอร์ท C บนมาไว้ที่ A

สมมติให้ข้อมูลที่พอร์ท C บน เป็น 0110 ข้อมูลที่อ่านได้จากพอร์ท C และนำมาไว้ที่ A จะเป็น 67H ค่า “6” คือ 0110 ซึ่งเป็นของ 4 ถึงบิต 7 ของพอร์ท C (PC4-PC7) ส่วนค่า “7” คือค่าของพอร์ท C ล่าง (PC0-PC3) ที่ได้ถูกส่งออกมาก่อนที่จะมีการอ่านค่าจากพอร์ท C แต่ถ้าเราต้องการเฉพาะข้อมูลของพอร์ท C บน ที่อ่านมาได้จะต้องนำไปตัดส่วนของ 4bit ล่าง ออกด้วยคำสั่ง AND หรืออื่นๆดังนี้

IN A, (02H)

; อ่านข้อมูลจากพอร์ท C บน มาไว้ที่ A

AND FOH

; ตัดส่วนของ 4 bit ล่างออก

จะได้ข้อมูลที่ A เป็น 60H คือ ข้อมูลที่อ่านมาได้เพื่อนำไปใช้งานต่อไปตามจุดประสงค์ของผู้เขียนโปรแกรม จากตัวอย่างที่ผ่านมาจะเห็นได้ว่าการใช้งาน 8255 ในโหมด 0 นี้ง่ายและสะดวกมากจึงนิยมใช้กันในไมโครคอมพิวเตอร์แผ่นพิมพ์เดี่ยว (Single Board) ในส่วนของระบบแสดงผล (LED 7-LEGMENT) การรับคีย์บอร์ด , การกำเนิดเสียง ฯลฯ

- โหมด 1

จากที่กล่าวมาแล้วในตอนต้นว่าสำหรับโหมด 1 นี้ เป็นการรับส่งข้อมูลในแบบ Handshaking ความหมายของ Handshaking ก็คือ ระหว่าง CPU , พอร์ท และอุปกรณ์ภายนอกนั้นขณะที่รับ-ส่ง ข้อมูลกันนั้น นอกจากการรับ-ส่ง ข้อมูลกันแล้ว ยังต้องมีสัญญาณในการตอบรับในแต่ละครั้งของการรับ-ส่ง ข้อมูล โดยผู้รับกับผู้ส่งนั้น จะต้องทำงานสัมพันธ์กันตลอดเวลาซึ่งเป็นประโยชน์ในกรณีที่อุปกรณ์ภายนอกนั้นมีการทำงานที่ช้ากว่า CPU ทำให้ไม่สามารถทำงาน (รับหรือส่ง) ข้อมูลได้ทัน CPU จึงต้องใช้วิธีการส่งข้อมูลแบบ Handshaking โดยอุปกรณ์ภายนอกจะเป็นตัวกำหนดจังหวะในการรับ-ส่งข้อมูลเอง เช่น การส่งข้อมูลจากคอมพิวเตอร์ไปยังเครื่องพิมพ์ซึ่งเครื่องพิมพ์นั้นทำงานได้ช้ากว่าคอมพิวเตอร์มาก เมื่อคอมพิวเตอร์ส่งข้อมูลตัวอักษรตัวแรกให้แก่เครื่องพิมพ์ทำการพิมพ์ เครื่องพิมพ์ก็จะทำการประมวลผลต่าง ๆ และเมื่อพร้อมที่จะพิมพ์ตัวอักษรนั้นแล้วก็จะส่งสัญญาณบอกคอมพิวเตอร์ให้ทำการส่งตัวอักษรตัวต่อมาได้ การติดต่อระหว่างเครื่องพิมพ์กับคอมพิวเตอร์จึงเป็นไปโดยไม่ผิดพลาด ส่วนสัญญาณที่ใช้ในการควบคุมการรับส่งข้อมูลนี้จะได้อาจจากพอร์ท C เพราะในโหมดนี้ พอร์ทที่ใช้ในการรับส่งข้อมูลได้ คือ พอร์ท A และ B เท่านั้น ส่วนพอร์ท C จะเป็นตัวส่งและรับสัญญาณควบคุมกับอุปกรณ์ภายนอก และสัญญาณควบคุมในแต่ละบิตของพอร์ท C จะเป็นตามตารางที่ 2 ลักษณะของการรับส่งข้อมูลแบบ Handshaking นั้นแสดงในรูปที่ 40 ในกรณีเป็นอินพุทพอร์ท(A หรือ B ก็ตาม) เมื่ออุปกรณ์ภายนอกต้องการส่งข้อมูลให้แก่ CPU มันก็จะส่งข้อมูลเข้ามายังพอร์ท พร้อมกับส่งสัญญาณ STB (Strobe) มาบอกแก่ 8255 เมื่อ 8255 ได้รับสัญญาณ STB ก็จะรับข้อมูลนั้นไปเก็บ

ไว้ในรีจิสเตอร์ภายในก่อน แล้ว 8255 ก็จะส่งสัญญาณ IBF (Input Buffer Full) เป็นลอจิก “1” ไปบอกแก่อุปกรณ์ภายนอกว่า พอร์ตได้รับข้อมูลมาเก็บไว้ในบัฟเฟอร์(รีจิสเตอร์) แล้ว และอย่าเพิ่งส่งมาอีกจนกว่า CPU จะรับข้อมูลนั้นไปจากพอร์ตแล้ว (โดยดูจากการที่ CPU ส่งสัญญาณ RD มายัง 8255) สัญญาณ IBF ก็จะกลับเป็น “0” เพื่อบอกให้อุปกรณ์ภายนอกส่งข้อมูลต่อไปได้ ส่วนในกรณีที่เป็นการเอาท์พุทพอร์ตนั้น เมื่อ CPU ส่งข้อมูลออกมายังพอร์ตของ 8255 ตัว 8255 ก็จะรับข้อมูลนั้นไปเก็บไว้ในรีจิสเตอร์ภายใน แล้วส่งสัญญาณ OBF(Output Buffer Full) บอกไปยังอุปกรณ์ภายนอกว่ามีข้อมูลมารอที่บัฟเฟอร์(รีจิสเตอร์) ของพอร์ตแล้วให้มารับไปได้ อุปกรณ์ภายนอกก็จะส่งสัญญาณตอบรับ ACK(Acknowledge) มายังพอร์ตเพื่อขอรับข้อมูลไป หลังจากนั้นสัญญาณ OBF ก็จะกลับเป็น “1” เพื่อรอให้ CPU ส่งข้อมูลใหม่ต่อไป ในทางปฏิบัติแล้วการที่ CPU จะทราบได้อย่างไรว่าเมื่อไหร่ที่อุปกรณ์ภายนอกได้ส่งข้อมูลเข้ามาที่บัฟเฟอร์ของพอร์ตแล้ว ในกรณีที่เป็นการอินพุทพอร์ต หรือ

ขา	กรณีอินพุท	กรณีเอาท์พุท
PC ₀	INTR _B	INTR _B
PC ₁	IBF _B	OBF _B
PC ₂	STB _B	ACK _B
PC ₃	INTR _A	INTR _A
PC ₄	STB _A	I/O
PC ₅	IBF _A	I/O
PC ₆	I/O	ACK _A
PC ₇	I/O	OBF _A

ตารางที่ 1

เมื่อไรที่อุปกรณ์ภายนอกได้รับข้อมูลจากพอร์ตไปแล้ว พร้อมทั้งจะให้ CPU ส่งข้อมูลต่อไปได้ ในกรณีที่เป็นการอินพุทพอร์ตนั้น มีวิธีที่จะให้ CPU ทราบ 2 ลักษณะ คือ

- การเขียนโปรแกรมให้ CPU ทำการตรวจสอบสัญญาณควบคุมจาก 8255 เช่น ในกรณีเอาท์พุทพอร์ทก็จะให้ CPU คอยตรวจสอบบิตที่ 7 ของพอร์ท C (OBF) หลังจากส่งข้อมูลให้แก่พอร์ทไปแล้ว ถ้าบิต 7 นี้ยังเป็นลอจิก “0” อยู่แสดงว่า อุปกรณ์ภายนอกยังไม่ได้รับข้อมูลไปจากพอร์ท แต่ถ้าบิตที่ 7 เป็น “1” แสดงว่าอุปกรณ์ภายนอกได้รับข้อมูลไปแล้ว จึงให้ CPU ทำการส่งข้อมูลชุดใหม่ต่อไปเช่นเดียวกัน ในกรณีของอินพุทพอร์ทก็ให้ CPU ตรวจสอบที่บิตที่ 1 ของพอร์ท C ได้ในทำนองเดียวกัน วิธีนี้ CPU จะต้องเสียเวลาตรวจสอบลอจิกของบิตดังกล่าวอยู่ตลอดเวลา ซึ่งจะทำให้เสียเวลาของ CPU โดยเปล่าประโยชน์ จึงควรเลือกใช้วิธีนี้ต่อเมื่อพิจารณาแล้วว่าการเสียเวลาของ CPU นั้นไม่มีผลเสียต่อระบบ อีกวิธีหนึ่งนั้นคือการให้อุปกรณ์ภายนอกนั้นทำการของอินเทอร์พท์จากที่แสดงในตารางที่ 1 นั้นจะเห็นว่าที่บิต 0 และบิต 3 ของพอร์ท C นั้นจะเป็นสัญญาณอินเทอร์พท์(INTR) ของพอร์ท B และ A ตามลำดับซึ่งสามารถใช้สัญญาณอินเทอร์พท์นี้ให้เป็นประโยชน์ได้ ในการต่อใช้งานสัญญาณ INTR ไปที่ขา INT ของ Z-80 นี้จะต้องผ่าน Not gate(Inverter) เสียก่อนเนื่องจากการขออินเทอร์พท์ของ Z-80 นั้น เป็นแอกทีฟ “0” การรับส่งข้อมูลในแบบนี้แสดงในรูปที่ 40 ในรูปที่ 40 กรณีที่เป็นอินพุทพอร์ท เมื่ออุปกรณ์ภายนอกส่งข้อมูลให้แก่พอร์ท พร้อมทั้งส่งสัญญาณ STB มาให้พอร์ทรับข้อมูลนี้ไปเก็บในรีจิสเตอร์ เมื่อพอร์ทรับข้อมูลนี้ไปเก็บแล้วก็จะส่งสัญญาณ IBF ตอบรับไปยังอุปกรณ์ภายนอกเพื่อให้หยุดการส่งข้อมูลซ้อน แล้วจึงทำการขออินเทอร์พท์โดยการขอส่งสัญญาณ INTR ผ่าน Inverter ไปที่ขา INT ของ CPU เพื่อขอให้ CPU มารับข้อมูลนี้ไป หลังจาก CPU รับข้อมูลนี้ไปแล้ว 8255 ได้รับสัญญาณ RD พอร์ทก็จะขออินเทอร์พท์ ทำให้สัญญาณ IBF กลับเป็น “0” เป็นการบอกให้อุปกรณ์ภายนอกได้ทราบว่าจะพร้อมที่จะรับข้อมูลไปท่ต่อไปได้แล้ว ส่วนในรูปที่ 40 เป็นกรณีของเอาท์พุทพอร์ทเมื่อ CPU ต้องการส่งข้อมูลให้อุปกรณ์ภายนอก โดยการส่งสัญญาณ WR แก่ 8255 ให้รับข้อมูลไปไว้ที่รีจิสเตอร์บัฟเฟอร์ โดยพอร์ทจะรับข้อมูลไว้ แล้วส่งสัญญาณ OBF ไปบอกอุปกรณ์ภายนอกให้มารับข้อมูลไป และหลังจากที่อุปกรณ์ภายนอกรับข้อมูลไปแล้วก็จะตอบรับโดยการส่งสัญญาณ ACK แก่ 8255 ทำให้สัญญาณ OBF กลับเป็น “1” พร้อมกับทำให้สัญญาณ INTR เป็น “1” ด้วย จึงจะเป็นการขออินเทอร์พท์ให้ CPU ส่งข้อมูลใหม่ต่อไปในกรณีที่ต้องการส่งข้อมูลต่อเนื่องตามกรรมวิธีเดิม แต่ถ้า CPU ยังไม่ต้องการส่งข้อมูลต่อหรือยังไม่มีข้อมูล

ก็สามารถสั่งให้พอร์ทขอลอนอินเทอร์พท์ได้ (ทำให้ INTR เป็น “0”) ด้วยการส่งแอดเดรส ไบท์ไปยังพอร์ทควบคุมเป็นการกำหนดให้บิตใด ๆ ของพอร์ท C เป็นลอจิก “0” หรือ “1” ตามต้องการ มีวิธีการกำหนดดังนี้

บิต 7 เป็น “0” เพื่อแสดงว่าเป็นแอสเครสไบท์

บิต 6 ถึงบิต 4 ไม่ใช่จะให้ เป็นลอจิกใดก็ได้ ปกติจะให้ เป็น “0”

บิต 3 ถึงบิต 1 เป็นการบอกตำแหน่งบิตของพอร์ท C ที่ต้องการอย่างถึงดังนี้

000 = PC0 (บิต 0 ของ Port C)

001 = PC1

010 = PC2

011 = PC3

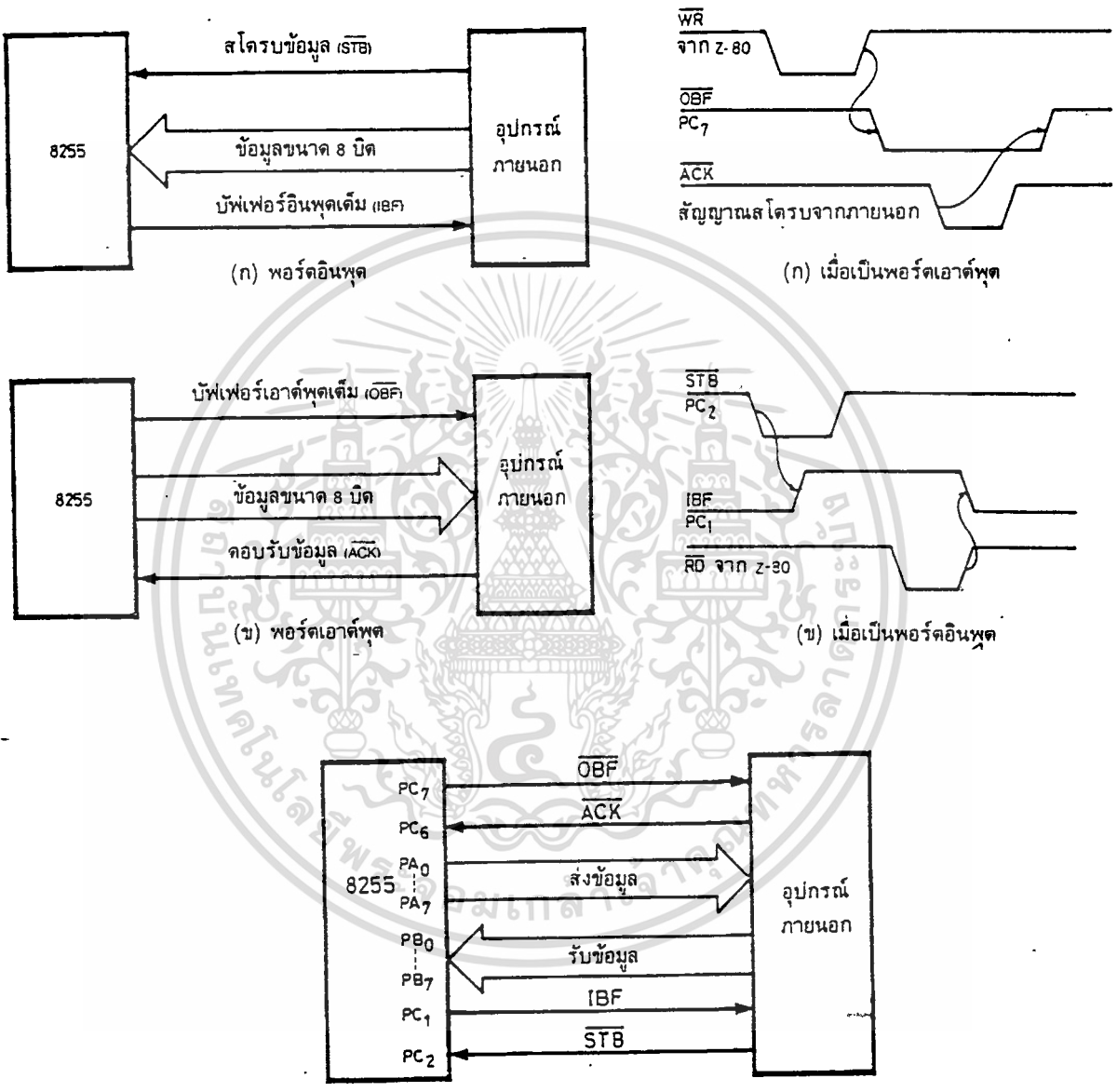
100 = PC4

101 = PC5

110 = PC6

111 = PC7

บิต 0 ให้บิตใด ๆ ของพอร์ท C ที่กำหนดไว้ (ด้วยบิต 3-บิต1) นั้นมีลอจิกเป็น “0” หรือ “1” เช่นถ้าต้องการให้พอร์ท B ขอลอนอินเทอร์พท์ ก็คือทำให้ขา PC0 ซึ่งเป็นขา INTR ของพอร์ท B นั้นกลับเป็นลอจิก “0” จะได้แอสเครสไบท์เป็น 00000000 หรือ 00H ในฐานะ 16 การรับส่งข้อมูลแบบ Handshaking โดยกรรมวิธีขออินเทอร์พท์นี้ ถู ในกรณีที่มี 8255 ทำงานร่วมกันหลายตัวจะทำให้ วิธีการขออินเทอร์พท์นี้ยุ่งยากมาก เนื่องจากต้องมีกรรมวิธีในการจัดลำดับความสำคัญเมื่อเกิดมีอุปกรณที่ร้องขออิน เทอร์พท์พร้อมกันหลาย ๆ ตัว ซึ่งมีเทคนิคหลายแบบทั้งนี้ผู้ใช้ 8255 ทำงานในโหมด 1-1 นี้ (หรือโหมด 2 ก็ตาม) จะต้องมีความเข้าใจการทำงาน รวมทั้งมีความรู้ในระบบ ไมโครคอมพิวเตอร์มากพอสมควร



รูปที่ 40 การจัดสัญญาณการ HANDSHAKING

เอกสารนี้เป็นเอกสารที่สงวนไว้สำหรับการใช้งานเพื่อการศึกษาเท่านั้น ไม่อนุญาตให้นำไปใช้ประโยชน์ด้านการค้า ไม่ว่าจะกรณีใดๆ ทั้งสิ้น อีกทั้งห้ามมิให้ดัดแปลงเนื้อหา และต้องอ้างอิงถึงเจ้าของเอกสารทุกครั้งที่มีการนำไปใช้

- โหมด 2

ในโหมดที่ 2 นี้ เป็นการรับ-ส่งข้อมูลแบบ Handshaking เช่นเดียวกับโหมด 1 แต่พอร์ทที่จะใช้งานในโหมดนี้ได้นั้นมีเพียงเฉพาะพอร์ท A พอร์ทเดียว แต่พอร์ท A ในโหมดนี้สามารถเป็นได้ทั้งอินพุทและเอาต์พุทพอร์ท หรือที่เรียกว่าเป็นพอร์ทแบบสองทิศทาง (Bidirectional) ส่วนสัญญาณที่ใช้ในการทำ Handshaking ก็สัญญาณจากพอร์ท C ซึ่งมีลักษณะตามตารางที่ 3 ขณะที่โปรแกรมให้พอร์ท A ทำงานในโหมด 2 นี้ เรายังสามารถโปรแกรมให้พอร์ท B ไปใช้งานอื่น ๆ ได้อีกโดยที่เป็นอิสระจากกัน

พอร์ท C	ความหมาย
PC ₀	I/O
PC ₁	I/O
PC ₂	I/O
PC ₃	INTR _A
PC ₄	STB _A
PC ₅	IBF _A
PC ₆	ACK _A
PC ₇	OBF _A

ตารางที่ 2

3.4 การนำ 8255 ใช้งาน

ในที่นี้เราจะไม่ออกแบบการ์ด 8255 ของวงจรการใช้งานเอง แต่จะใช้วงจรสำเร็จรูป ET-PC8255 ซึ่ง ET-PC8255 จะเป็นการต่อขยายระบบเครื่อง PC ให้มีส่วนของ Input, Output Port ใช้งานมากขึ้น โดยจะมี Port ใช้งานเป็น Input หรือ Output จำนวน 9 Port หรือ 72 Bit I/O(TTL 0-5 V)

ซึ่งใน Project นี้โปรแกรมให้ 8255 ทำงานในโหมด 0 เพราะต้องใช้งานให้ทั้ง 3 พอร์ต เป็นทั้งอินพุตและเอาต์พุต รวมทั้งควบคุมการทำงานได้ง่ายกว่าโหมดอื่น

การติดตั้ง ET-PC8255 กับเครื่อง PC

1. ปิด SW.Power ของเครื่องคอมพิวเตอร์ PC นั้นก่อน
2. เปิดฝาเครื่องคอมพิวเตอร์
3. Set DIP SW. ตำแหน่ง Port ของการ์ด ET-PC8255 ไม่ให้ตรงกับตำแหน่ง Port ของการ์ดอื่นๆ
4. นำการ์ด ET-PC8255 ใส่เข้าไปยังเครื่องคอมพิวเตอร์ PC ทาง SLOT PC 62 PIN ดูการใส่การ์ดให้เรียบร้อยสนิทด้วยกับ SLOT PC
5. ถ้ามีการต่อสายแพร์จาก 34 PIN ไปใช้งานก็ให้ต่อก่อนให้เรียบร้อยแล้วเสร็จก่อน
6. เปิด SW Power เครื่องคอมพิวเตอร์ PC

การทำงานของ ET-PC8255

การ์ด ET-PC8255 จะประกอบไปด้วย 2 ส่วนใหญ่ๆ ก็คือ ส่วน IC 8255 ซึ่งเป็น IC ทำหน้าที่เป็น Input, Output PORT และส่วนของวงจร IC Decode (เลือกตำแหน่งของ Port 8255) คือ IC 74LS688, 74LS139 และ DIP SW.

PC HARDWARE I/O MAP

8088 Class Systems

Address	Function
000-00F	DMA Controller (8237A)
020-021	Interrupt controller (8259A)
040-043	Timer (8253)
060-063	PPI (8255A)
080-083	DMA page register (74LS612)
0A0-0AF	NMI - Non Maskable Interrupt
200-20F	Game Port Joystick controller
210-217	Expansion Unit
2E8-2EF	COM4: Serial Port
2F8-2FF	COM2: Serial Port
300-31F	Prototype Card
320-32F	Hard Disk
378-37F	Parallel Printer Port 1
380-38F	SDLC
3B0-3BF	MDA - Monochrome Adapter and printer
3D0-3D7	CGA - Color Graphics Adapter
3E8-3EF	COM3: Serial Port
3F0-3F7	Floppy Diskette Controller
3F8-3FF	COM1: Serial Port

80286 /386/486 Class Systems

Address	Function
000-01F	DMA Controller #1 (8237A-5)
020-03F	Interrupt controller #1 (8259A)
040-05F	Timer (8254)
060-06F	Keyboard (8042)
070-07F	NMI - Non Maskable Interrupt & CMOS RAM
080-09F	DMA page register (74LS612)
0A0-0BF	Interrupt controller #2 (8259A)
0C0-0DF	DMA Controller #2 (8237A)
0F0-0FF	80287 Math Coprocessor
1F0-1F8	Hard Disk
200-20F	Game Port Joystick controller
258-25F	Intel Above Board
278-27F	Parallel Printer Port 2
2E8-2EF	COM4: Serial Port
2F8-2FF	COM2: Serial Port
300-31F	Prototype Card
378-37F	Parallel Printer Port 1
380-38F	SDLC or Bisynchronous Comm Port 2
3A0-3AF	Bisynchronous Comm Port 1
3B0-3BF	MDA - Monochrome Adapter
3BC-3BE	Parallel Printer on Monochrome Adapter
3C0-3CF	EGA - Reserved
3D0-3D7	CGA - Color Graphics Adapter
3E8-3EF	COM3: Serial Port
3F0-3F7	Floppy Diskette Controller
3F8-3FF	COM1: Serial Port

PC Hardware

ตารางที่ 3 PC HARDWARE I/O MAP

เอกสารนี้เป็นเอกสารที่สงวนไว้สำหรับการใช้งานเพื่อการศึกษาเท่านั้น ไม่อนุญาตให้นำไปใช้ประโยชน์ด้านการค้า
ไม่ว่ากรณีใดๆ ทั้งสิ้น อีกทั้งห้ามมิให้ดัดแปลงเนื้อหา และต้องอ้างอิงถึงเจ้าของเอกสารทุกครั้งที่มีการนำไปใช้

Port ของ 8255 ที่เหลือนั้นทำหน้าที่อะไร เป็น Input หรือ Output Port เราจะต้องเป็นผู้กำหนด Control Code Port ควบคุม

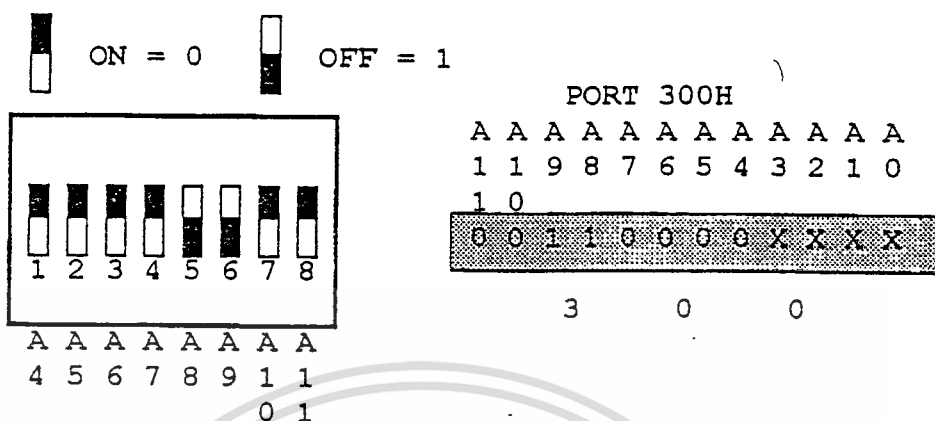
การ Decod Port

Decode Port 8255 บนการ์ดเราจะใช้ IC TTL 74LS688, IC TTL 74LS139 และ DIP SW. 8 PIN เป็นวงจร Decode เพื่อให้สามารถปรับ Set DIP SW. ตั้งตำแหน่งเบอร์ Port ของการ์ด ได้ โดยในการปรับ DIP SW. นั้นจะต้องไม่ไปตรงกับตำแหน่ง Port ของเครื่องคอมพิวเตอร์ PC ด้วย ดังรูป

โดยการ์ด ET-PC8255 จะใช้ตำแหน่ง Port 12 Port ต่อการ์ด Decode Port

XX0H	PORT A (#1)
XX1H	PORT B (#1)
XX2H	PORT C (#1)
XX3H	CONTROL PORT (#1)
XX4H	PORT A (#2)
XX5H	PORT B (#2)
XX6H	PORT C (#2)
XX7H	CONTROL PORT (#2)
XX8H	PORT A (#3)
XX9H	PORT B (#3)
XXAH	PORT C (#3)
XXBH	CONTROL PORT (#3)

เราตั้งเบอร์ Decoed Port ได้โดยการปรับ DIP SW. ซึ่งก็มีค่าเท่ากับค่า Addresss นั้นๆ เช่น เราตั้งตำแหน่ง 300H จะ Set DIP SW. ดังนี้



รูปที่ 41 การ Set Dip Sw.

ใน Project นี้ โปรแกรมจะเริ่มต้น Port ที่หมายเลข 300H

ตัวอย่างโปรแกรม

```
# include (dos.h)
```

```
# include (conio.h)
```

```
# include (stdio.h)
```

```
main()
```

```
{     char ch = 0;
```

```
      outportp(0x303,0x82);/*set control port*/
```

```
      outportp(0x300,0xFF);/*out*/
```

```
      ch = inportp(0x301);/* in */
```

```
      clrscr();
```

```
      printf("sent port A = %.4x\n",0xFF);
```

```
      printf("read port B = %.4x\n",ch);
```

```
      getch();
```

```
}
```

เอกสารนี้เป็นเอกสารที่สงวนไว้สำหรับการใช้งานเพื่อการศึกษาเท่านั้น ไม่อนุญาตให้拿去ใช้ประโยชน์ด้านการค้า
ไม่ว่ากรณีใดๆ ทั้งสิ้น อีกทั้งห้ามมิให้ดัดแปลงเนื้อหา และต้องอ้างอิงถึงเจ้าของเอกสารทุกครั้งที่มีการนำไปใช้

34 PIN I/O BUS

PA0	0	0	PA1
PA2	0	0	PA3
PA4	0	0	PA5
PA6	0	0	PA7
PB0	0	0	PB1
PB2	0	0	PB3
PB4	0	0	PB5
PB6	0	0	PB7
PC0	0	0	PC1
PC2	0	0	PC3
PC4	0	0	PC5
PC6	0	0	PC7
VCC	0	0	
GND	0	0	
	0	0	
	0	0	
	0	0	

31	GND	ID	CHKC	A1
32	RST_DRV		SD7	A2
33	+5VDC		SD6	A3
34	IRQ9		SD5	A4
35	-5VDC		SD4	A5
36	DR02		SD3	A6
37	-12VDC		SD2	A7
38	OVS		SD1	A8
39	+12VDC		SD0	A9
310	GND	ID	CHRDY	A10
311	SMENV		AEN	A11
312	SMENR		SA19	A12
313	IDV		SA18	A13
314	IDR		SA17	A14
315	DACK3		SA16	A15
316	DR03		SA15	A16
317	DACK1		SA14	A17
318	DR01		SA13	A18
319	REFRESH		SA12	A19
320	CLK		SA11	A20
321	IRQ7		SA10	A21
322	IRQ6		SA9	A22
323	IRQ5		SA8	A23
324	IRQ4		SA7	A24
325	IRQ3		SA6	A25
326	DACK2		SA5	A26
327	T/C		SA4	A27
328	DALE		SA3	A28
329	-5VDC		SA2	A29
330	DSC		SA1	A30
331	GND		SA0	A31

D1	MEMCS16	SB-E	C1
D2	I/OCS16	LA23	C2
D3	IRQ10	LA22	C3
D4	IRQ11	LA21	C4
D5	IRQ12	LA20	C5
D6	IRQ13	LA19	C6
D7	IRQ14	LA18	C7
D8	DACK0	LA17	C8
D9	DR00	MCNR	C9
D10	DACK5	MEMV	C10
D11	DR05	SD9	C11
D12	DACK6	SD9	C12
D13	DR06	SD10	C13
D14	DACK7	SD11	C14
D15	DR07	SD12	C15
D16	+5VDC	SD13	C16
D17	MASTER	SD14	C17
D18	GND	SD15	C18

รูปที่ 42 PIN I/O BUS

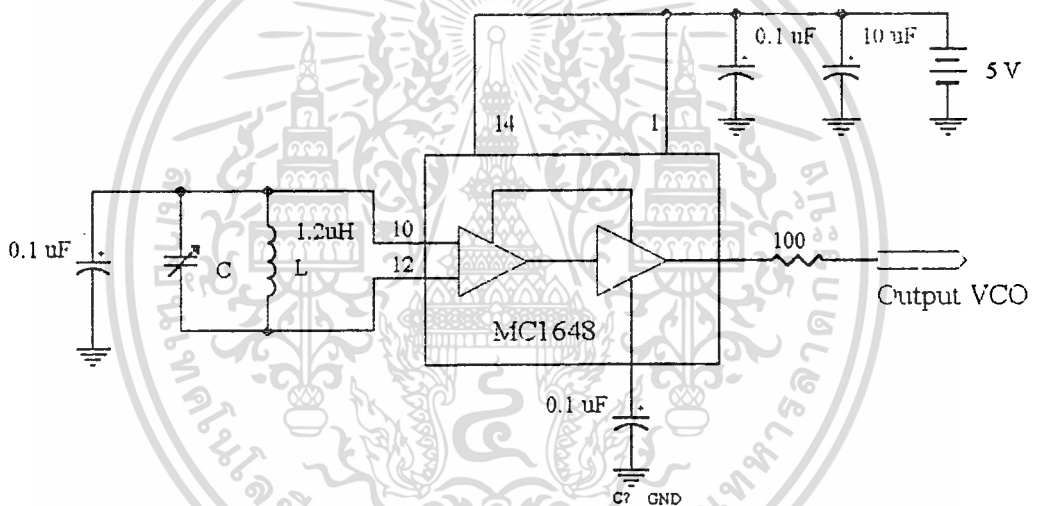
เอกสารนี้เป็นเอกสารที่สงวนไว้สำหรับการใช้งานเพื่อการศึกษาเท่านั้น ไม่อนุญาตให้นำไปใช้ประโยชน์ด้านการค้า
ไม่ว่ากรณีใดๆ ทั้งสิ้น อีกทั้งห้ามมิให้ดัดแปลงเนื้อหา และต้องอ้างอิงถึงเจ้าของเอกสารทุกครั้งที่มีการนำไปใช้

บทที่ 4

ผลการทดลอง

การทดลองในส่วนของ VCO

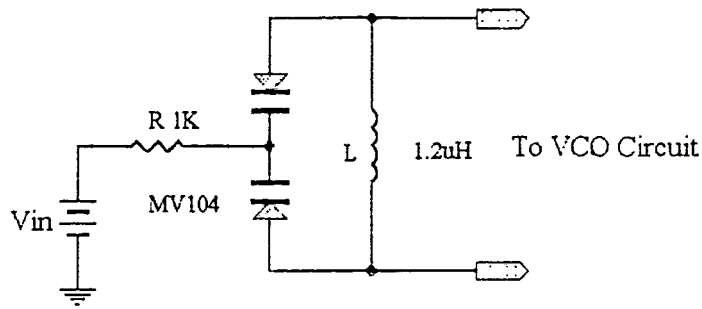
ในส่วนของ Voltage Control Oscillator (VCO) เราจะนำไอซีเบอร์ MC1648 ของบริษัทโมโตโรล่า มาทำการประยุกต์ใช้ทำเป็น VCO โดยที่เราทำการต่อวงจรแท่งคแบบขนานเข้าที่อินพุทระหว่างขา 10 และขา 12 ของ MC1648 และทำการจัดไบอัสให้กับวงจรตามรูป



รูปที่ 43 วงจร Voltage Control Oscillator (VCO)

ในส่วนของวงจรแท่งคจูนเราใช้ Varicap Diode เป็นตัวเก็บประจุปรับค่าได้ตามแรงไฟ DC ซึ่งในที่นี้เราใช้เบอร์ MV104 เป็น Silicon Epicap Diode สามารถรับแรงไฟไบอัสกลับ (Reverse Voltage ; V_r) ได้ถึง 32 V จากรูปข้างล่าง ถ้าเราออกแบบให้ Reverse Voltage อยู่ในช่วง 0 - 15 V เราจะได้ค่าความจุ ของ Varicap Diode ในช่วง 20 pF - 80 pF ดังรูป

จากนั้นจะนำเอา varicap มาต่อขนานกับอินดักเตอร์ L เป็นวงจรแท่งคจูนแบบขนานดังรูป



รูปที่ 44 การออกแบบ วงจร L,C tank OSC

ในการทดลองในส่วนของ VCO ในส่วนของภาค Voltage Control Oscillator (VCO) เราจะนำไอซีเบอร์ MC1408 ของบริษัทโมโตโรล่า มาทำการประยุกต์ใช้ทำเป็น VCO โดยที่เราทำการต่อวงจรแท่งค้แบบขนานเข้าที่อินพุทระหว่างขา 10 และ 12 ของไอซี MC1408 และทำการจัดไบอัสให้กับวงจร

ในส่วนของวงจรแท่งค้จูนใช้ Varicap Diode เป็นตัวเก็บประจุปรับค่าได้ตามแรงไฟ DC ซึ่งในที่นี้เราใช้เบอร์ MV104 เป็น Silicon Epicap Diode ซึ่งสามารถรับแรงไฟไบอัส (Reverse Voltage: V_r) ได้ถึง 32 V ถ้าเราออกแบบให้ Reverse Voltage อยู่ในช่วง 0-15 V เราจะได้ค่าความจุของ Varicap Diode ในช่วง 20pF-80pF

การออกแบบวงจร VCO

เราต้องการความถี่เอาท์พุท VCO ในช่วง 15-20 MHz โดยใช้ไอซีเบอร์ MC1648 เป็น วงจรผลิตความถี่ออสซิลเลเตอร์ ความถี่ของวงจรจะหาได้จากสมการ

$$f_0 = 1/\{2\pi\sqrt{L(C_d + C_s)}\}$$

เมื่อ ; C_d คือ ค่าความจุของวาระกเตอร์

C_s คือ ค่าความจุภายใน MC1648 มีค่าประมาณ 6 pF

จะได้

ที่ $V_{in} = 0 V$

$$f_{0 \min} = 1/\{2\pi\sqrt{L_{\max}(C_{d \max} + C_s)}\}$$

$$f_{0 \min} = 15 \text{ MHz}$$

$$C_s = 6 \text{ pF}$$

$$C_{d \max} = 80 \text{ pF}$$

เอกสารนี้เป็นเอกสารที่สัได้นไว้สำหรับการใ้ $L = 1.2 \mu H$ เท่านั้น ไม่อนุญาตให้นำไปใช้ประโยชน์ด้านการค้าไม่ว่ากรณีใดๆ ทั้งสิ้น อีกทั้งห้ามมิให้ดัดแปลงเนื้อหา และต้องอ้างอิงถึงเจ้าของเอกสารทุกครั้งที่มีการนำไปใช้

ที่ $V_{in} = 15 \text{ V}$

$$C_s = 6 \text{ pF}$$

$$C_{d_{min}} = 20 \text{ pF}$$

ได้ $L = 1.02 \text{ } \mu\text{H}$

ดังนั้น $f_{0_{max}} = 30 \text{ MHz}$

ออกแบบ LPF

ขั้นตอนการออกแบบ

1. เลือกความถี่อ้างอิง (f_{ref})
2. คำนวณย่านของตัวหาร โดย $N_{tot} = f_{max}/f_{ref}$
3. เลือกค่า ζ ในที่กำหนดให้ $\zeta = 0.707$
4. หาค่า W_n
โดยเลือกค่า $W_{n,t}$ จากกราฟการตอบสนองของ PLL TYPE2
กำหนดค่า $W_{n,t} = 4.5$; $t = 1 \text{ mS}$
 $W_n = 4500 \text{ rad/S}$
5. หาค่า K_d (Phase Detector Gain) = $V_{DD}/2\pi = 0.796 \text{ V/rad}$
6. หาค่า K_v (VCO Gain) = $2\pi\Delta F_{vco}/\Delta V_{vco}$
7. ออกแบบ LOOP FILTER

การใช้สูตรนั้น $[(K_d K_v)/(N_{max} C (W_n)^2)]$ ต้องพิจารณาจากวงจรว่าเป็นได้ในที่นี้

เป็นแบบ Active Filter

- กำหนดค่า
- หาค่า R_1 จากสูตร $R_1 = [(K_d K_v)/(N_{max} C (W_n)^2)]$
- หาค่า R_2 จากสูตร $R_2 = 2\zeta/(W_n \cdot C)$
- หาค่า C_c จากสูตร $C_c = 0.8/(R_1 \cdot W_n)$

การออกแบบที่ใช้ในวงจร

1. กำหนดค่า $f_{ref} = 20 \text{ KHz}$

2. ที่ $f = 15\text{-}30 \text{ MHz}$

$$\begin{aligned} \text{จะได้ } N_{tot} &= f_{max}/f_{ref} \\ &= 30 \text{ MHz}/20 \text{ KHz} \\ &= 1500 \end{aligned}$$

3. กำหนด $C = 33 \text{ nF}$

4. $R_1 = [(K_d K_v)/(N_{max} C (W_n)^2)]$

$$\begin{aligned} &= (0.796 * 3.552 * 10^6) / (1000 * 33 \eta * (4500)^2) \\ &= 4.31 \text{ k}\Omega \end{aligned}$$

5. $R_2 = 2\zeta / (W_n \cdot C)$

$$\begin{aligned} &= 2 * 0.707 / (4500 * 33 \eta) \\ &= 9.5 \text{ k}\Omega \end{aligned}$$

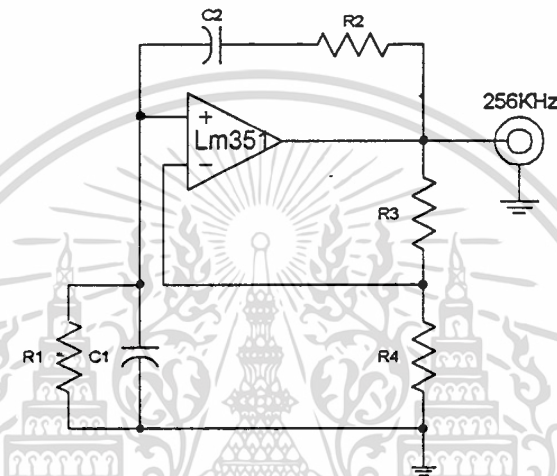
6. $C_c = 0.8 / (R_1 * W_n)$

$$\begin{aligned} &= 0.8 / (4.31 \text{ k} * 4500) \\ &= 41.3 \text{ nF} \end{aligned}$$

การสร้างสัญญาณทดสอบ AM แบบ Balance Modulation

การสร้างสัญญาณข้อมูล 256 kHz

ในวงจรนี้จะใช้การสร้างสัญญาณให้ได้ความถี่ 256 kHz โดยใช้ Op-Amp และ Resistor, Capacitor เป็นตัวกำเนิดความถี่



รูปที่ 45 ผลิตความถี่ 256 kHz

การคำนวณ

กำหนดให้ $R1 = R2 = R$ และ $C1 = C2 = C$

$$C = 0.001 \mu\text{F}$$

$$\text{สูตร } f = 1 / \{2\pi RC\}$$

$$R = 1 / \{2\pi * 256\text{kHz} * 0.001 \mu\text{F}\}$$

$$= 621 \Omega$$

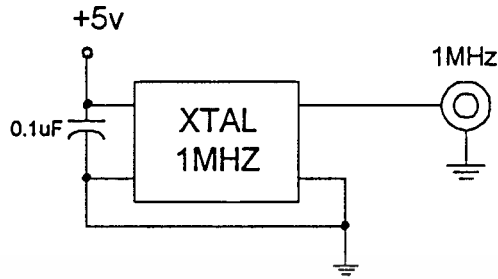
เลือกอัตราขยาย = 2

$$= R_f / R_{in}$$

$$R_f = R3 = 30 \text{ k}\Omega$$

$$R_{in} = R4 = 15 \text{ k}\Omega$$

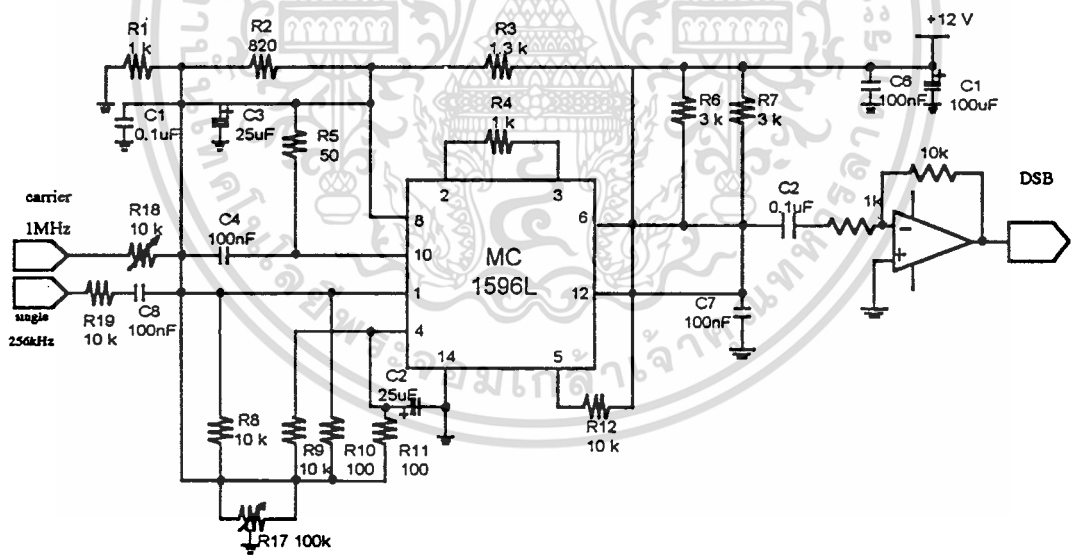
การสร้างสัญญาณ 1MHz ใช้ XTAL 4 ขา



รูปที่ 46 วงจรผลิตความถี่ 1 MHz

วงจรมอดูเลเตอร์

รายละเอียดของวงจรมอดูเลเตอร์ ดังแสดงไว้ในรูป



รูปที่ 47 วงจรมอดูเลเตอร์

ในการออกแบบ Balance Modulation จะเป็นแบบ suppress carrier โดย การปรับความต้านทาน 100K ระหว่างขา 1 กับ ขา 4 ของ MC1596 สัญญาณออกทางขา 6

ข้อควรคำนึงในวงจรส่วนนี้คือ ข้อกำหนดจากData Sheet ของ IC MC1596 ที่ได้

ระบุไว้ว่าขนาดของสัญญาณที่จะนำมามอดูเลทควรมีค่าประมาณ 400 mV_{P-P} และขนาด

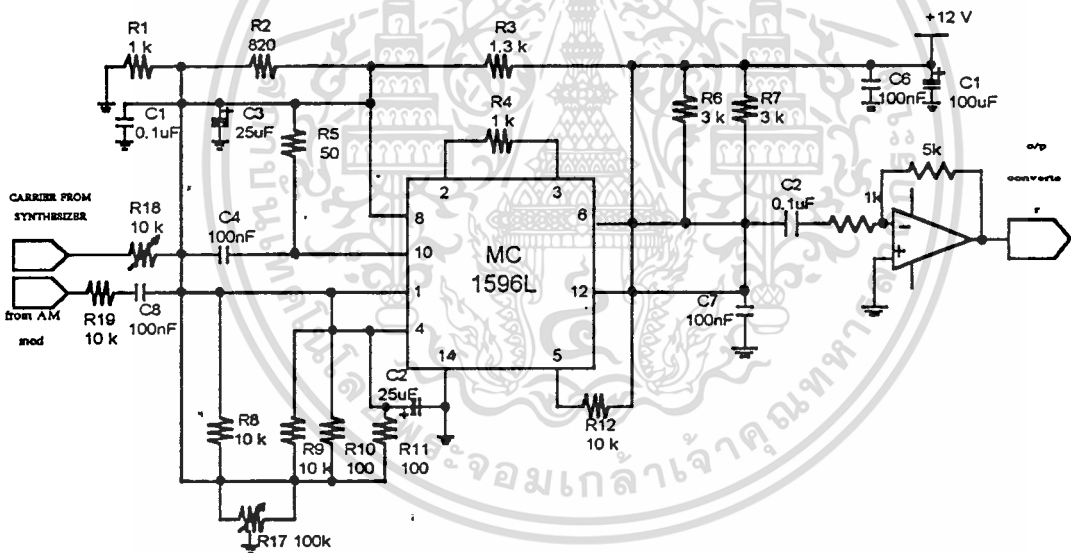
ไม่ว่ากรณีใดๆ ทั้งสิ้น อีกทั้งห้ามมิให้ตัดแปลงเนื้อหา และต้องอ้างอิงถึงเจ้าของเอกสารทุกครั้งที่มีการนำไปใช้

ของสัญญาณพาหะควรมีค่าประมาณ $100\text{mV}_{\text{rms}}$ ดังนั้นสัญญาณทั้งสองก่อนที่จะเข้าไป
 คูณกันต้องผ่านตัวต้านทานปรับค่าได้เสียก่อน เพื่อจะได้ ควบคุมระดับสัญญาณทั้งสอง
 ให้เป็นไปตามข้อกำหนดดังกล่าว

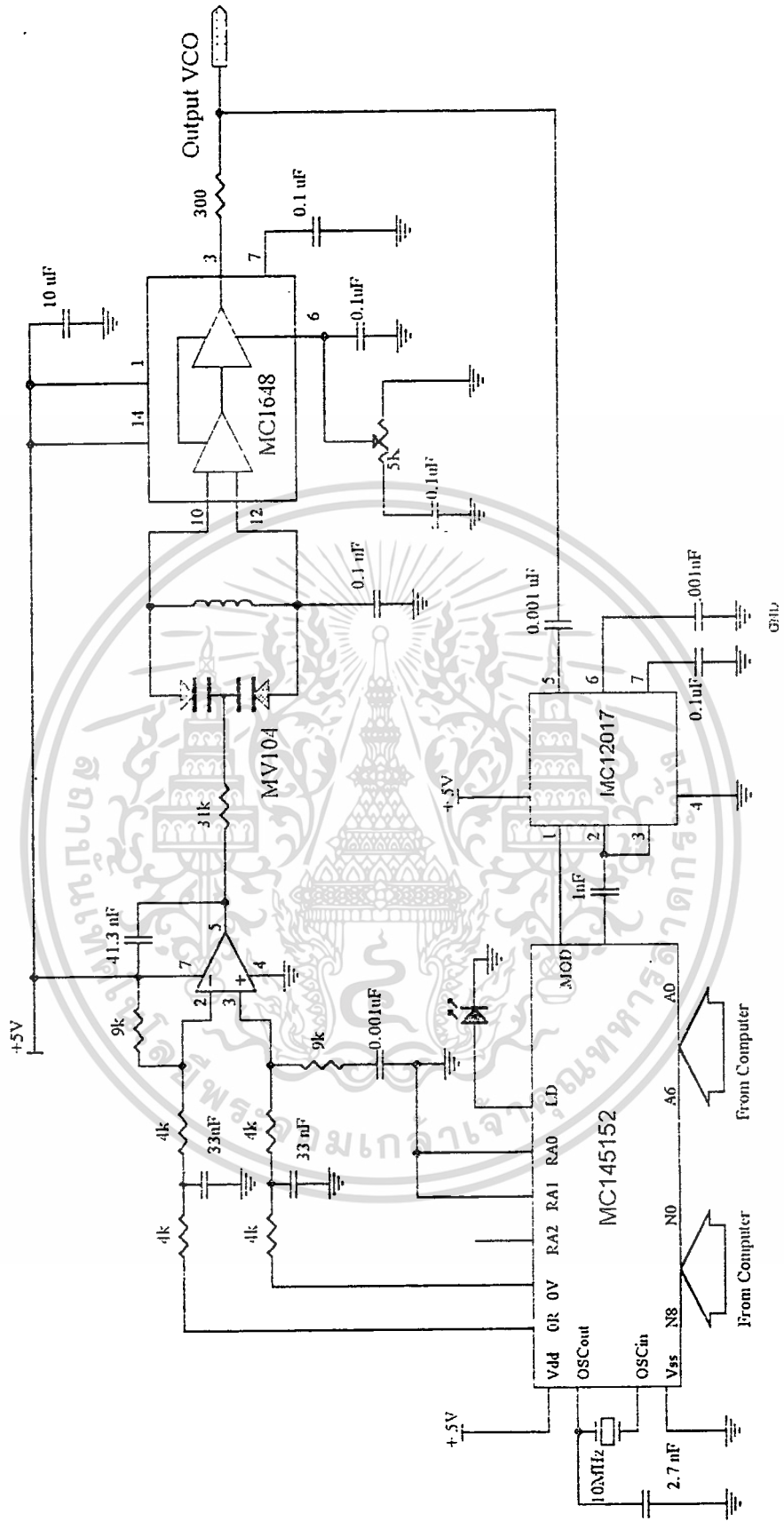
สัญญาณที่ได้จากวงจรบาลานซ์มอดคูเลเตอร์นั้นมีขนาดเล็กมาก จึงต้องผ่าน วงจร
 ขยายอีกครั้งเพื่อจะได้สัญญาณที่มีขนาดสูงขึ้น

วงจรแปลงความถี่ (Mixer OR Convertor)

ในการออกแบบในโครงการนี้จะใช้ IC MC1596 จาก Data Sheet แล้ว
 สามารถนำมาทำวงจรแปลงความถี่ (Mixer) ได้ เพราะเวลาที่เอาท์พุทของวงจรความถี่ที่ได้
 ออกมามีทั้งความถี่ผลบวก (Up Convertor) และความถี่ผลต่าง (Down
 Convertor) ซึ่งตรงกับหลักการของการแปลงความถี่ (Mixer)

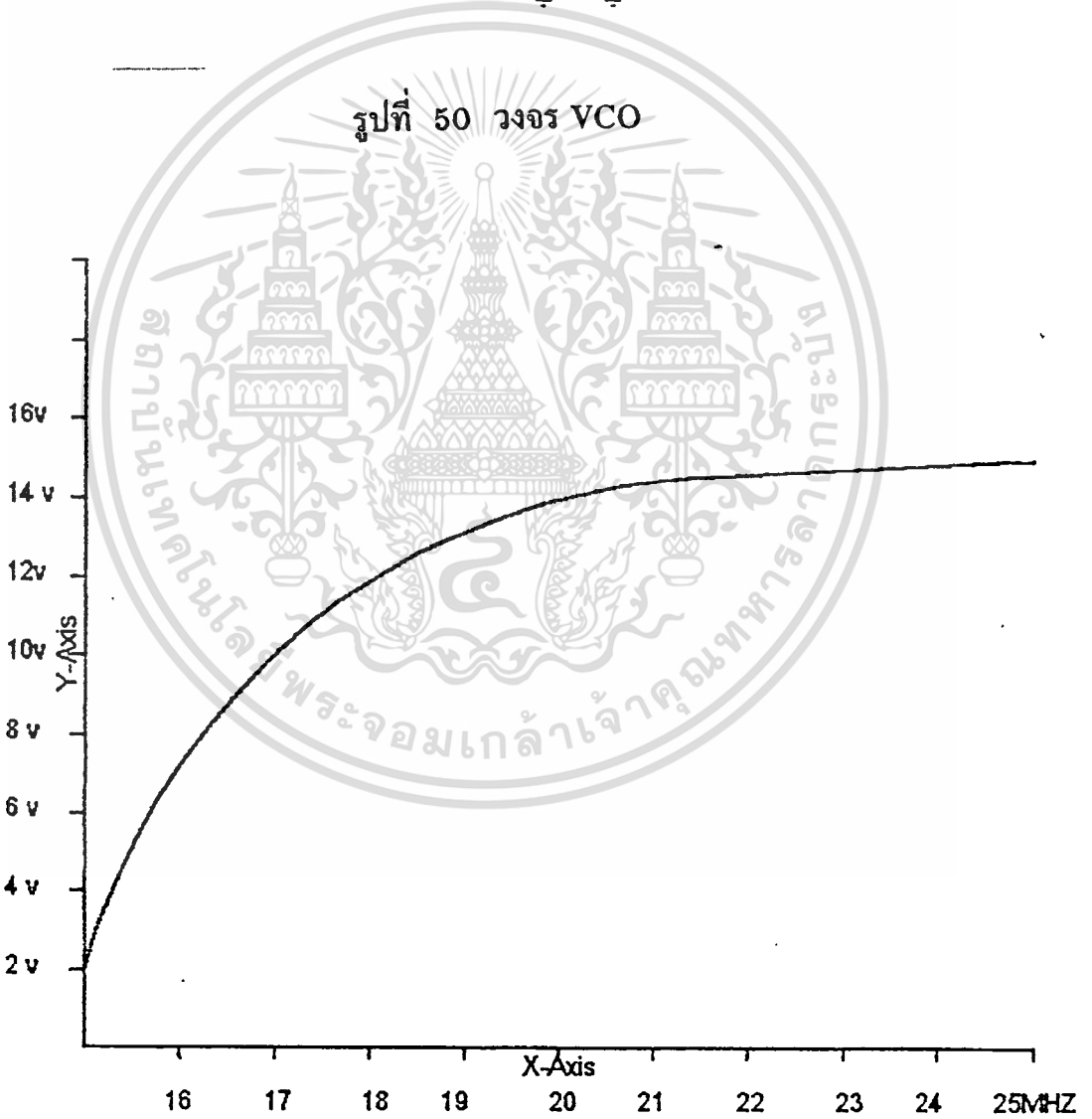
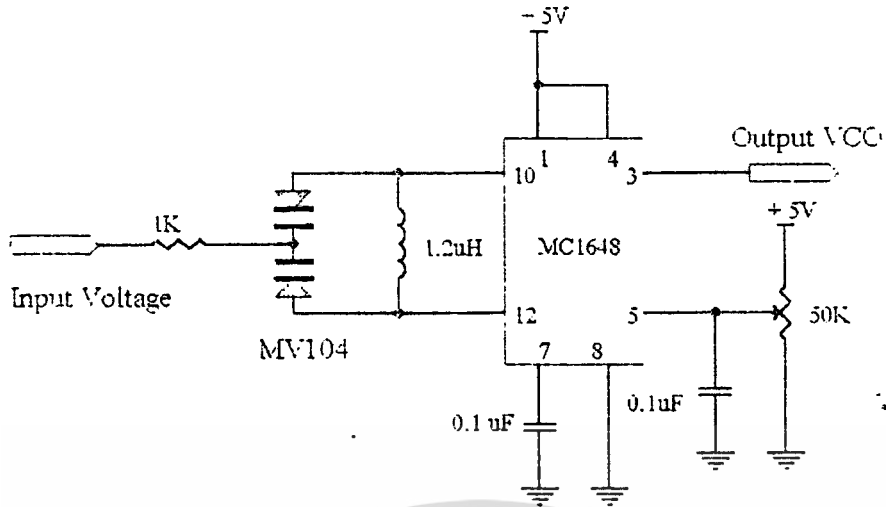


รูปที่ 48 วงจรแปลงความถี่ (Mixer or Convertor)



รูปที่ 49 วงจร Phase Lock Loop (PLL)

เอกสารนี้เป็นเอกสารที่สงวนไว้สำหรับการใช้งานเพื่อการศึกษาเท่านั้น ไม่อนุญาตให้นำไปใช้ประโยชน์ด้านการค้า ไม่ว่าจะกรณีใดๆ ทั้งสิ้น อีกทั้งห้ามมิให้ดัดแปลงเนื้อหา และต้องอ้างอิงถึงเจ้าของเอกสารทุกครั้งที่มีการนำไปใช้



รูปที่ 51 กราฟแสดงความสัมพันธ์ระหว่างแรงดันของ VCO และความถี่

เอกสารนี้เป็นเอกสารที่สงวนไว้สำหรับการใช้งานเพื่อการศึกษาเท่านั้น ไม่อนุญาตให้นำไปใช้ประโยชน์ด้านการค้า ไม่ว่าจะกรณีใดๆ ทั้งสิ้น อีกทั้งห้ามมิให้ตัดแปลงเนื้อหา และต้องอ้างอิงถึงเจ้าของเอกสารทุกครั้งที่มีการนำไปใช้

บทที่ 5

สรุปผลการทดลอง

ผลการทดลอง

วงจรสามารถผลิตความถี่ได้ในช่วง 15-20 MHz แต่ในช่วงความถี่สูงระดับของสัญญาณออกมามีขนาดเล็กและสัญญาณก็ไม่ค่อยนิ่ง เนื่องจากที่ความถี่สูงจะมีสัญญาณรบกวนมาก

ปัญหาที่เกิดขึ้นในการทดลอง

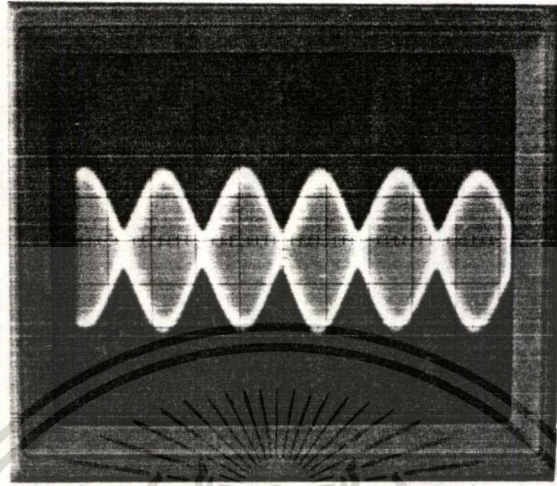
1. ขาดแคลนเครื่องมือในการทำงาน ต้องแบ่งการใช้งานกับอีกหลายๆ กลุ่มสเปคตรัม
2. เสียเวลาศึกษาโปรแกรมภาษา C
3. ปัญหาที่พบบ่อยในการทดลองก็คือ เรื่องรูปร่างของสัญญาณในบางช่วง ความถี่รูปของสัญญาณจะมีรูปร่างที่ผิดไปและมีขนาดสัญญาณต่ำที่ความถี่สูง
4. ปัญหาของความถี่ไม่ตรงกับที่โปรแกรมไว้ และบางทีก็ไม่เปลี่ยนความถี่เมื่อโปรแกรมให้ความถี่เปลี่ยนไปตามที่กำหนด
5. ปัญหาในการรับสัญญาณรบกวนจากภายนอก คือ เมื่อกลุ่มโปรเจกอื่นทดลองส่งความถี่ในย่านเดียวกันหรือมากกว่า จะทำให้รูปสัญญาณเอาท์พุทหายไปหรือมีสัญญาณจากภายนอกมาปรากฏด้วยจนไม่สามารถวัดสัญญาณได้เลย
6. IC ที่ทำวงจรแปลงความถี่ (Convertor) ที่ความถี่สูงจะเริ่มเพี้ยน

แนวทางการพัฒนา

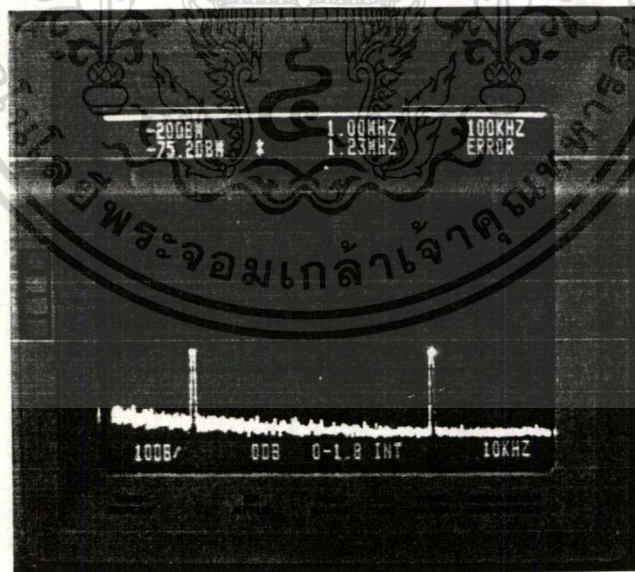
1. ให้มีช่องสัญญาณให้มากกว่านี้
2. เมื่อปิดเครื่องคอมพิวเตอร์แล้วข้อมูลไม่เปลี่ยนแปลง
3. ใช้ได้กับทุกจอภาพ
4. พัฒนาโปรแกรมให้สามารถ RUN ใน Windows ได้

เอกสารนี้เป็นเอกสารที่สงวนไว้สำหรับการใช้งานเพื่อการศึกษาเท่านั้น ไม่อนุญาตให้นำไปใช้ประโยชน์ด้านการค้า ไม่ว่าจะกรณีใดๆ ทั้งสิ้น อีกทั้งห้ามมิให้ตัดแปลงเนื้อหา และต้องอ้างอิงถึงเจ้าของเอกสารทุกครั้งที่มีการนำไปใช้

รูปของสัญญาณเอาต์พุตที่ความถี่ต่างๆ

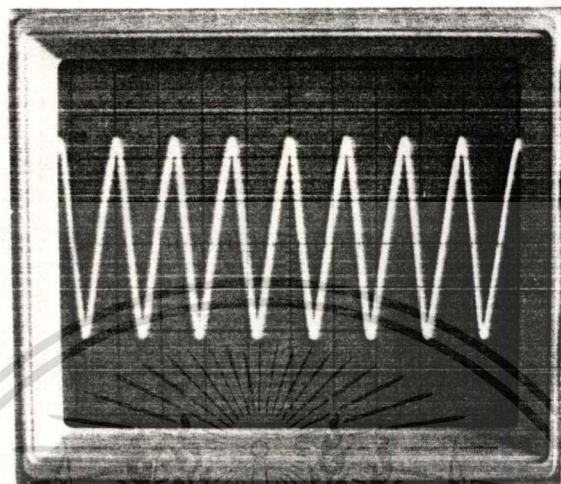


รูปที่ 52 รูปของสัญญาณทดสอบ AM DBS Signal = 256 kHz, $f_c = 1$ MHz
(1 μ s/DIV, 50 mV/DIV)

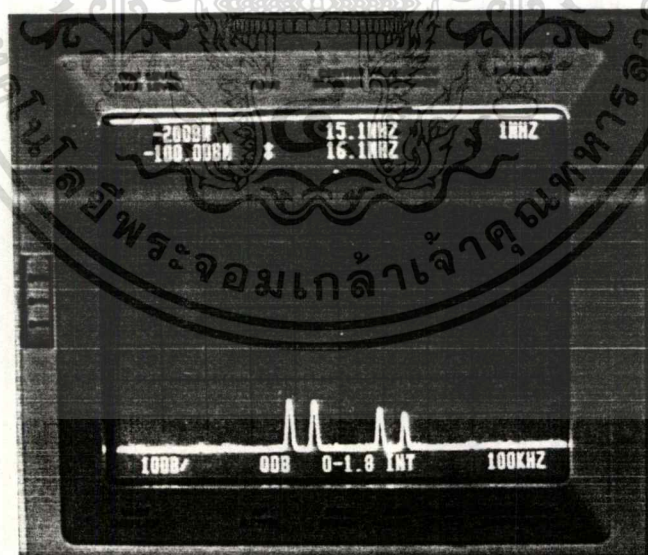


รูปที่ 53 รูปของสัญญาณ SIDEBAND AM DBS

เอกสารนี้เป็นเอกสารที่สงวนไว้สำหรับการใช้งานเพื่อการศึกษาเท่านั้น ไม่อนุญาตให้นำไปใช้ประโยชน์ด้านการค้า
ไม่ว่ากรณีใดๆ ทั้งสิ้น อีกทั้งห้ามมิให้ตัดแปลงเนื้อหา และต้องอ้างอิงถึงเจ้าของเอกสารทุกครั้งที่มีการนำไปใช้

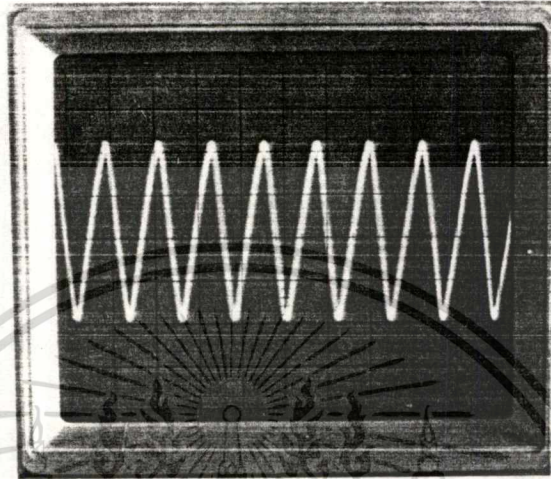


รูปที่ 54 รูปของสัญญาณ $f_c = 15.1 \text{ MHz}$ ($0.5 \mu\text{s}/\text{DIV}$, $50 \text{ mV}/\text{DIV}$)



รูปที่ 55 รูปของสัญญาณแปลงความถี่ (Convertor) $f_c = 15.1 \text{ MHz}$ กับ AM DBS

เอกสารนี้เป็นเอกสารที่สงวนไว้สำหรับการใช้งานเพื่อการศึกษาเท่านั้น ไม่อนุญาตให้นำไปใช้ประโยชน์ด้านการค้า
ไม่ว่ากรณีใดๆ ทั้งสิ้น อีกทั้งห้ามมิให้ตัดแปลงเนื้อหา และต้องอ้างอิงถึงเจ้าของเอกสารทุกครั้งที่มีการนำไปใช้

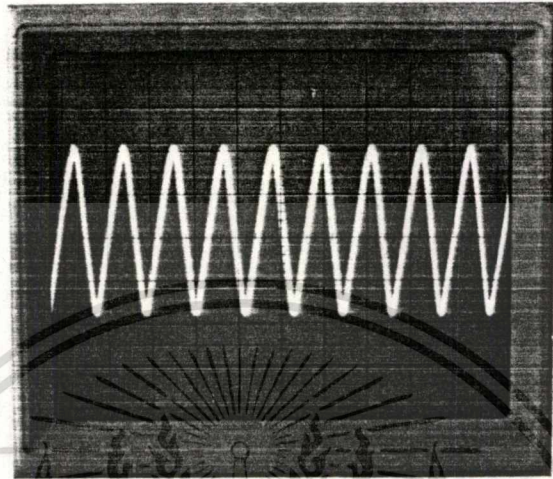


รูปที่ 56 รูปของสัญญาณ $f_c = 16.3 \text{ MHz}$ ($0.5 \mu\text{s}/\text{DIV}$, $50 \text{ mV}/\text{DIV}$)

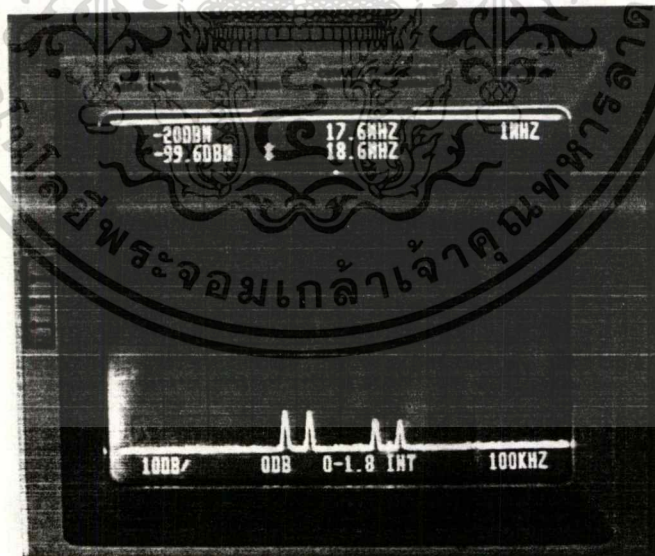


รูปที่ 57 รูปของสัญญาณแปลงความถี่ (Convertor) $f_c = 16.3 \text{ MHz}$ กับ AM DBS

เอกสารนี้เป็นเอกสารที่สงวนไว้สำหรับการใช้งานเพื่อการศึกษาเท่านั้น ไม่อนุญาตให้นำไปใช้ประโยชน์ด้านการค้า ไม่ว่าจะกรณีใดๆ ทั้งสิ้น อีกทั้งห้ามมิให้ตัดแปลงเนื้อหา และต้องอ้างอิงถึงเจ้าของเอกสารทุกครั้งที่มีการนำไปใช้

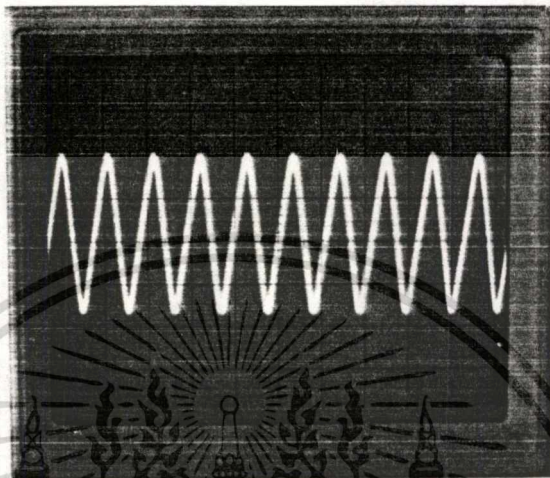


รูปที่ 58 รูปของสัญญาณ $f_c = 17.6 \text{ MHz}$ ($0.5 \mu\text{s}/\text{DIV}$, $50 \text{ mV}/\text{DIV}$)



รูปที่ 59 รูปของสัญญาณแปลงความถี่ (Convertor) $f_c = 17.6 \text{ MHz}$ กับ AM DBS

เอกสารนี้เป็นเอกสารที่สงวนไว้สำหรับการใช้งานเพื่อการศึกษาเท่านั้น ไม่อนุญาตให้นำไปใช้ประโยชน์ด้านการค้า
ไม่ว่ากรณีใดๆ ทั้งสิ้น อีกทั้งห้ามมิให้ตัดแปลงเนื้อหา และต้องอ้างอิงถึงเจ้าของเอกสารทุกครั้งที่มีการนำไปใช้



รูปที่ 60 รูปของสัญญาณ $f_c = 18.9 \text{ MHz}$ ($0.5 \mu\text{s}/\text{DIV}$, $50 \text{ mV}/\text{DIV}$)



รูปที่ 61 รูปของสัญญาณแปลงความถี่ (Convertor) $f_c = 18.9 \text{ MHz}$ กับ AM DBS

เอกสารนี้เป็นเอกสารที่สงวนไว้สำหรับการใช้งานเพื่อการศึกษาเท่านั้น ไม่อนุญาตให้นำไปใช้ประโยชน์ด้านการค้า
ไม่ว่ากรณีใดๆ ทั้งสิ้น อีกทั้งห้ามมิให้ดัดแปลงเนื้อหา และต้องอ้างอิงถึงเจ้าของเอกสารทุกครั้งที่มีการนำไปใช้

เอกสารอ้างอิง

ธันวา ศรีประโมง. การเขียนโปรแกรม ภาษาซี สำหรับวิศวกรรม, โครงการตำราวิชา
การมหานคร, กรุงเทพฯ, 2537.

ประกิจ ตังคิสานนท์. วิศวกรรมการสื่อสารไฟฟ้าอิเล็กทรอนิกส์, กรุงเทพฯ, 2527.

มนตรี พจนารถลาวัฒน์. การเขียนโปรแกรมคอมพิวเตอร์ด้วยเทอร์โบซี, ซีเอ็ด
ยูเคชั่น, กรุงเทพฯ, 2537.

ยีน ภู่วรรณ. ทฤษฎีและการประยุกต์ไมโครโปรเซสเซอร์ Z-80, ซีเอ็ดยูเคชั่น,
กรุงเทพฯ, 2536.

วิทยา เรืองพรวิสุทธิ. คู่มือโปรแกรมภาษา C สำหรับผู้เริ่มต้น, ซีเอ็ดยูเคชั่น,
กรุงเทพฯ, 2537.

สิวัฒน์ สีวะบวร, พรชัย จักรดำรงค์, จิรศักดิ์ ชัยวิริยะกุล. การประยุกต์ใช้งานภาษาซี,
ซีเอ็ดยูเคชั่น, กรุงเทพฯ, 2536.

สุชาติ กังวารจิตต์. เครื่องรับส่งวิทยุและระบบสื่อสาร, ซีเอ็ดยูเคชั่น, กรุงเทพฯ,
2532.

สมพันธ์ ชาญศิลป์. ภาษาซี (C-Language). หน่วยสารบรรณ งานบริการและธุรการ
คณะวิศวกรรมศาสตร์ มหาวิทยาลัยขอนแก่น, ขอนแก่น, 2537.

ETT. ETT-PC8255, ETT, 2538



เอกสารนี้เป็นเอกสารที่สงวนไว้สำหรับการใช้งานเพื่อการศึกษาเท่านั้น ไม่อนุญาตให้นำไปใช้ประโยชน์ด้านการค้า
ไม่ว่ากรณีใดๆ ทั้งสิ้น อีกทั้งห้ามมิให้ดัดแปลงเนื้อหา และต้องอ้างอิงถึงเจ้าของเอกสารทุกครั้งที่มีการนำไปใช้

โปรแกรมใช้งาน

```
/******  
Menu program TX RX  
Run in graphpic mode VGA 640*480 monitor  
Programer ROOM N(AGODE) DEPARTMENT OF INDUSTRIAL TECHNOLOGY  
FACULTY OF ENGINEERING  
King Mongkut Institute of Technology Ladkrabang  
*****/
```

```
#include <dos.h>  
#include <conio.h>  
#include <stdio.h>  
#include <stdlib.h>  
#include <graphics.h>  
#include <process.h>  
#include <alloc.h>  
  
#define ESC 0x1b /* Define the escape key */  
#define ENTER 0x0d /* Defin the enter key */  
#define SY 150 /* Define the value start y */  
#define EY 350 /* Define the value end y */  
#define Po1 0x303 /* Control port 8255 1 */  
#define Pa1 0x300 /* Port A 8255 1 */  
#define Pb1 0x301 /* Port B 8255 1 */  
#define Pc1 0x302 /* Port C 8255 1 */  
#define Po2 0x307 /* Control port 8255 2 */  
#define Pa2 0x304 /* Port A 8255 2 */
```

เอกสารนี้เป็นเอกสารที่สงวนไว้สำหรับการใช้งานเพื่อการศึกษาเท่านั้น ไม่อนุญาตให้นำไปใช้ประโยชน์ด้านการค้า
ไม่ว่ากรณีใดๆ ทั้งสิ้น อีกทั้งห้ามมิให้ตัดแปลงเนื้อหา และต้องอ้างอิงถึงเจ้าของเอกสารทุกครั้งที่มีการนำไปใช้

```

#define Pb2    0x305    /* Port B 8255 2 */
#define Pc2    0x306    /* Port C 8255 2 */
struct PTS    { int x, y; }; /* Structure to hold vertex points */

int    GraphDriver;    /* The Graphics device driver */
int    GraphMode;    /* The Graphics mode value */
double AspectRatio;    /* Aspect ratio of a pixel on the screen */
int    MaxX, MaxY;    /* The maximum resolution of the screen */
int    MaxColors;    /* The maximum # of colors available */
int    ErrorCode;    /* Reports any graphics errors */
int    year,semonth,z,*image,xx,yy,m,d,menuy,ans;
int    p0,p2,a[10];
int    xa1,xa2,xa3,xa4,ya1,ya2,ya3,ya4,*image1;
int    far *image2;

char ch1[][10] = {{""}, {""}, {""}, {""}, {""},
                {" 1"}, {" 2"}, {" 3"},
                {" 4"}, {" 5"}
};

char ch2[][20] =
    {" f = 18.5 MHz "}, {" f = 19.5 MHz "},
    {" f = 20.5 MHz "}, {" f = 21.5 MHz "},
    {" f = 22.5 MHz "},
    {" Tx 1 "}, {" Tx 2 "},
    {" Tx 3 "}, {" Tx 4 "},
    {" Tx 5 "
};

```

เอกสารนี้เป็นเอกสารที่สงวนไว้สำหรับการใช้งานเพื่อการศึกษาเท่านั้น ไม่อนุญาตให้นำไปใช้ประโยชน์ด้านการค้า
ไม่ว่ากรณีใดๆ ทั้งสิ้น อีกทั้งห้ามมิให้ตัดแปลงเนื้อหา และต้องอ้างอิงถึงเจ้าของเอกสารทุกครั้งที่มีการนำไปใช้

```

char ch[][30] =
    { {" f = 18 MHz  "}, {" f = 19 MHz  "},
      {" f = 20 MHz  "}, {" f = 21 MHz  "},
      {" f = 22 MHz  "},
      {"chang1"}, {"chang2"},
      {"chang3"}, {"chang4"},
      {"chang5"}
    };

/*
/* Function prototypes
/*

void Initialize(void);
void BodyMenu(void);
void changetextstyle(int font, int direction, int charsize);
void setregion(int x1,int y1,int x2,int y2);
void Esc_ok(int x1,int y1,int x2,int y2,int numb);
void Choice_r(int x1,int y1,int x2,int y2);
void Choice_t(int x1,int y1,int x2,int y2);
void setpi(int x1,int y1,int color);
void Choicemain(int x1,int y1,int x2,int y2);
void mal(int x1,int y1,int x2,int y2);
void put(void);
void mal2(int x1,int y1,int x2,int y2);
void putl(void);
void changelinestyle(int linestyle,int upattern,int thickness);
int getmouse1(void);

```

เอกสารนี้ **struct palettetype palette**; การใช้งานเพื่อการศึกษาเท่านั้น ไม่อนุญาตให้นำไปใช้ประโยชน์ด้านการค้า
ไม่ว่ากรณีใดๆ ทั้งสิ้น อีกทั้งห้ามมิให้ดัดแปลงเนื้อหา และต้องอ้างอิงถึงเจ้าของเอกสารทุกครั้งที่มีการนำไปใช้

```

/* INITIALIZE: Initializes the graphics system and reports      */
/* any errors which occurred.                                   */
/*                                                             */

void Initialize(void)
{
    int xasp, yasp;          /* Used to read the aspect ratio*/

    GraphDriver = DETECT;  /* Request auto-detection      */
    initgraph( &GraphDriver, &GraphMode, "" );
    ErrorCode = graphresult(); /* Read result of initialization*/
    if( ErrorCode != grOk ){ /* Error occurred during init */
        printf(" Graphics System Error: %s\n", grapherrormsg( ErrorCode ) );
        exit( 1 );
    }

    getpalette( &palette ); /* Read the palette from board */
    MaxColors = getmaxcolor() + 1; /* Read maximum number of colors*/

    MaxX = getmaxx();
    MaxY = getmaxy();          /* Read size of screen      */

    getaspectratio( &xasp, &yasp ); /* read the hardware aspect */
    AspectRatio = (double)xasp / (double)yasp; /* Get correction factor */

}

```

เอกสารนี้เป็นเอกสารที่สงวนไว้สำหรับการใช้งานเพื่อการศึกษาเท่านั้น ไม่อนุญาตให้นำไปใช้ประโยชน์ด้านการค้า
ไม่ว่ากรณีใดๆ ทั้งสิ้น อีกทั้งห้ามมิให้ดัดแปลงเนื้อหา และต้องอ้างอิงถึงเจ้าของเอกสารทุกครั้งที่มีการนำไปใช้

```

/*  CHANGETEXTSTYLE: similar to settextstyle, but checks for      */
/*  errors that might occur while loading the font file.          */
/*                                                                */

```

```

void changetextstyle(int font, int direction, int charsize)

```

```

{
    int ErrorCode;

    graphresult();          /* clear error code          */
    settextstyle(font, direction, charsize);
    ErrorCode = graphresult(); /* check result          */
    if( ErrorCode != grOk ){ /* if error occurred     */
        closegraph();
        printf(" Graphics System Error: %s\n", grapherrormsg( ErrorCode ) );
        exit( 1 );
    }
}

/*                                                                */

```

```

void changelinestyle(int linestyle,int upattern,int thickness)

```

```

{
    int ErrorCode;

    graphresult();          /* clear error code          */
    setlinestyle(linestyle,upattern,thickness);

    ErrorCode = graphresult(); /* check result          */

```

```

    if( ErrorCode != grOk ){ /* if error occurred     */

```

```

printf(" Graphics System Error: %s\n", grapherrormsg( ErrorCode ) );
exit( 1 );
}
}

/* BODYMENU : this is show menu body */
/* */

void BodyMenu(void)
{

cleardevice();
setviewport( 0, 0, MaxX, MaxY, 1 ); /* Open port to full screen */
mouseoff();
setfillstyle(1,CYAN);
bar(0,0,MaxX,MaxY);
chan_set_text(MAGENTA);
outtextxy(MaxX/2,460/*MaxY/2-40*/,
" KING MONGKUT'S INSTITUTE OF TECHNOLOGY LADKRABANG ");
outtextxy(MaxX/2,10," PROGRAM PLL SYNTHESIZER (TX & RX) ");

windows3(310,210,310,210,BLUE,GREEN,WHITE,LIGHTGRAY,"MAIN MENU");
mal(150,150,150,150);
windows1(150,150,150,150,1,LIGHTGRAY,WHITE,CYAN,CYAN,"PROGRAM
VERSION 1.0");
mouseoff();
about1();

```

เอกสารนี้เป็นเอกสารที่สงวนไว้สำหรับการใช้งานเพื่อการศึกษาเท่านั้น ไม่อนุญาตให้นำไปใช้ประโยชน์ด้านการค้า
ไม่ว่ากรณีใดๆ ทั้งสิ้น อีกทั้งห้ามมิให้ดัดแปลงเนื้อหา และต้องอ้างอิงถึงเจ้าของเอกสารทุกครั้งที่มีการนำไปใช้

```

mouseon();
Esc_ok(150,150,150,150,1);
put();
Choicemain(310,210,310,210);
}

void mal(int x1,int y1,int x2,int y2) /* mall memory */
{
int x3,x4,y3,y4/*,*image*/;

x3=(MaxX/2)-x1;
y3=(MaxY/2)-y1;
x4=(MaxX/2)+x2;
y4=(MaxY/2)+y2;

mouseoff();
image=malloc(imagesize(x3-1,y3-1,x4+1,y4+1));
getimage(x3-1,y3-1,x4+1,y4+1,image);
image1=image;
xa1=x3;
xa2=x4;
ya1=y3;
ya2=y4;
mouseon();
}

```

เอกสารนี้เป็นเอกสารที่สงวนไว้สำหรับการใช้งานเพื่อการศึกษาเท่านั้น ไม่อนุญาตให้นำไปใช้ประโยชน์ด้านการค้า
ไม่ว่ากรณีใดๆ ทั้งสิ้น อีกทั้งห้ามมิให้ดัดแปลงเนื้อหา และต้องอ้างอิงถึงเจ้าของเอกสารทุกครั้งที่มีการนำไปใช้

```
/* mal2 far memory */
```

```
void mal2(int x1,int y1,int x2,int y2)
```

```
{
```

```
int x3,x4,y3,y4/* *image*/;
```

```
x3=(MaxX/2)-x1;
```

```
y3=(MaxY/2)-y1;
```

```
x4=(MaxX/2)+x2;
```

```
y4=(MaxY/2)+y2;
```

```
mouseoff();
```

```
image2=farmalloc(imagesize(x3-1,y3-1,x4+1,y4+1));
```

```
getimage(x3-1,y3-1,x4+1,y4+1,image2);
```

```
/*image1=image*/;
```

```
xa3=x3;
```

```
xa4=x4;
```

```
ya3=y3;
```

```
ya4=y4;
```

```
mouseon();
```

```
}
```

```
void put(void) /* put memory */
```

```
{
```

```
int x3,x4,y3,y4/* *image*/;
```

```
mouseoff();
```

```
x3=xa1;
```

```

x4=xa2;
y3=ya1;
y4=ya2;
image=image1;
putimage(x3-1,y3-1,image,0);
setregion(0,0,MaxX,MaxY);
free(image);
mousegoto(MaxX/2,MaxY/2);
mouseon();
}

void put1(void) /* put far memory */
{
int x3,x4,y3,y4/* *image*/;

mouseoff();
x3=xa3;
x4=xa4;
y3=ya3;
y4=ya4;

putimage(x3-1,y3-1,image2,0);
setregion(0,0,MaxX,MaxY);
farfree(image2);
mousegoto(MaxX/2,MaxY/2);
mouseon();
}

```

เอกสารนี้เป็นเอกสารที่สงวนไว้สำหรับการใช้งานเพื่อการศึกษาเท่านั้น ไม่อนุญาตให้นำไปใช้ประโยชน์ด้านการค้า
ไม่ว่ากรณีใดๆ ทั้งสิ้น อีกทั้งห้ามมิให้ดัดแปลงเนื้อหา และต้องอ้างอิงถึงเจ้าของเอกสารทุกครั้งที่มีการนำไปใช้

```

/* windows normal          */

int windows1(int x1,int y1,int x2,int y2,int numb,int color1,
             int color2,int color3,int color4,char *text1)
{
int x3,y3,x4,y4,x5,x6,y5,y6,x7,x8,y7,y8,x9,y9,x10,y10;
char dif1;

x3=(MaxX/2)-x1;
y3=(MaxY/2)-y1;
x4=(MaxX/2)+x2;
y4=(MaxY/2)+y2;

setregion(x3-1,y3-1,x4+1,y4+1);
mousegoto(MaxX/2,MaxY/2);
mouseoff();

BoxColor(x3,y3,x4,y4,color1);

x5=x3+10;
y5=y3+10;
x6=x4-10;
y6=y3+35;
BoxColor(x5,y5,x6,y6,color3);
chan_set_text(YELLOW);
outtextxy((MaxX/2),y6-15,text1);

```

เอกสารนี้เป็นเอกสารที่สงวนไว้สำหรับการใช้งานเพื่อการศึกษาเท่านั้น ไม่อนุญาตให้นำไปใช้ประโยชน์ด้านการค้า
ไม่ว่ากรณีใดๆ ทั้งสิ้น อีกทั้งห้ามมิให้ดัดแปลงเนื้อหา และต้องอ้างอิงถึงเจ้าของเอกสารทุกครั้งที่มีการนำไปใช้

```

if (numb == 2 )
{
x7=x3+10;
y7=y4-35;
x8=x3+62;
y8=y4-10;
BoxColor(x7,y7,x8,y8,color4);
chan_set_text(YELLOW);

outtextxy((x7+x8)/2,(y7+y8)/2,"Cancel");
setcolor(BLUE);
outtextxy((x7+x8)/2,(y7+y8)/2,"C  ");

x9=x4-62;
y9=y4-35;
x10=x4-10;
y10=y4-10;
BoxColor(x9,y9,x10,y10,color4);
chan_set_text(YELLOW);

outtextxy((x9+x10)/2,(y9+y10)/2," K");
setcolor(BLUE);
outtextxy((x9+x10)/2,(y9+y10)/2,"O ");

.}

```

เอกสารนี้เป็นเอกสารที่สงวนไว้สำหรับการใช้งานเพื่อการศึกษาเท่านั้น ไม่อนุญาตให้นำไปใช้ประโยชน์ด้านการค้า
ไม่ว่ากรณีใดๆ ทั้งสิ้น อีกทั้งห้ามมิให้ตัดแปลงเนื้อหา และต้องอ้างอิงถึงเจ้าของเอกสารทุกครั้งที่มีการนำไปใช้

```

else
{
    x7=(MaxX/2)-20;
    y7=y4-35;
    x8=(MaxX/2)+20;
    y8=y4-10;
    BoxColor(x7,y7,x8,y8,color4);
    chan_set_text(YELLOW);

    outtextxy((x7+x8)/2,(y7+y8)/2,"Ok");
    setcolor(BLUE);
    outtextxy((x7+x8)/2,(y7+y8)/2,"O ");
}

klick(x5/*x3+10*/y5/*y3+10*/x6/*x4-10*/y6/*y3+35*/BLACK,WHITE);

getcolor();
settextstyle(0,0,0);
settextjustify(0,2);
mouseon();
mousegoto(MaxX/2,MaxY/2);

}

```

เอกสารนี้เป็นเอกสารที่สงวนไว้สำหรับการใช้งานเพื่อการศึกษาเท่านั้น ไม่อนุญาตให้นำไปใช้ประโยชน์ด้านการค้า
ไม่ว่ากรรมใดๆ ทั้งสิ้น อีกทั้งห้ามมิให้ตัดแปลงเนื้อหา และต้องอ้างอิงถึงเจ้าของเอกสารทุกครั้งที่มีการนำไปใช้

```

/* windows 2      Rx      */

int windows2_r(int x1,int y1,int x2,int y2,int color1,
               int color2,int color3,int color4,char *text1)
{
int x3,y3,x4,y4,e1;
int x11[20],y11[20];

x3=(MaxX/2)-x1;
y3=(MaxY/2)-y1;
x4=(MaxX/2)+x2;
y4=(MaxY/2)+y2;

setregion(x3-1,y3-1,x4+1,y4+1);
mousegoto(MaxX/2,MaxY/2);
mouseoff();
BoxColor(x3,y3,x4,y4,color1);

x11[2]=x3+5;
y11[2]=y3+5;
x11[3]=x4-5;
y11[3]=y3+27;
BoxColor(x11[2],y11[2],x11[3],y11[3],color2);
chan_set_text(YELLOW);
outtextxy((MaxX/2),(y11[2]+y11[3])/2-2,text1);

/*x11[4]=x3+10;y11[4]=y4-35;

```

เอกสารนี้ x11[5]=x3+62; y11[5]=y4-10; เพื่อการศึกษาเท่านั้น ไม่อนุญาตให้นำไปใช้ประโยชน์ด้านการค้า
 ไม่ว่ากรณีใดๆ ทั้งสิ้น อีกทั้งห้ามมิให้ดัดแปลงเนื้อหา และต้องอ้างอิงถึงเจ้าของเอกสารทุกครั้งที่มีการนำไปใช้

```
BoxColor(x11[4],y11[4],x11[5],y11[5],color3);
chan_set_text(YELLOW);
outtextxy((x11[4]+x11[5])/2,(y11[4]+y11[5])/2,"Cancel");
setcolor(BLUE);
outtextxy((x11[4]+x11[5])/2,(y11[4]+y11[5])/2,"C ");*/
```

```
x11[6]=x4-62;
```

```
y11[6]=y3+196;
```

```
x11[7]=x4-10;
```

```
y11[7]=y3+216;
```

```
BoxColor(x11[6],y11[6],x11[7],y11[7],color4);
```

```
chan_set_text(GREEN);
```

```
outtextxy((x11[6]+x11[7])/2,(y11[6]+y11[7])/2," K");
```

```
setcolor(BLUE);
```

```
outtextxy((x11[6]+x11[7])/2,(y11[6]+y11[7])/2,"O ");
```

```
x11[8]=x3+10+20;
```

```
y11[8]=y3+50;
```

```
x11[9]=x3+62+20;
```

```
y11[9]=y3+70;
```

```
BoxColor(x11[8],y11[8],x11[9],y11[9],CYAN);
```

```
setcolor(BLACK);
```

```
outtextxy(MaxX/2,(y11[8]+y11[9])/2,ch[0]);
```

```
outtextxy((x11[8]+x11[9])/2,(y11[8]+y11[9])/2,ch[5]);
```

```
setcolor(RED);
```

```
outtextxy((x11[8]+x11[9])/2,(y11[8]+y11[9])/2,ch1[5]);
```

```
x11[10]=x3+10+20;
```

```
y11[10]=y3+85;
```

เอกสารนี้จัดทำขึ้นเพื่อสำหรับการใช้งานเพื่อการศึกษาเท่านั้น ไม่อนุญาตให้นำไปใช้ประโยชน์ด้านการค้า
ไม่ว่ากรณีใดๆ ทั้งสิ้น อีกทั้งห้ามมิให้ตัดแปลงเนื้อหา และต้องอ้างอิงถึงเจ้าของเอกสารทุกครั้งที่มีการนำไปใช้

```
x11[11]=x3+62+20;
y11[11]=y3+105;
BoxColor(x11[10],y11[10],x11[11],y11[11],CYAN);
setcolor(BLACK);
outtextxy(MaxX/2,(y11[10]+y11[11])/2,ch[1]);
outtextxy((x11[10]+x11[11])/2,(y11[10]+y11[11])/2,ch[6]);
setcolor(RED);
outtextxy((x11[10]+x11[11])/2,(y11[10]+y11[11])/2,ch1[0,6]);
```

```
x11[12]=x3+10+20;
y11[12]=y3+120;
x11[13]=x3+62+20;
y11[13]=y3+140;
BoxColor(x11[12],y11[12],x11[13],y11[13],CYAN);
setcolor(BLACK);
outtextxy(MaxX/2,(y11[12]+y11[13])/2,ch[0,2]);
outtextxy((x11[12]+x11[13])/2,(y11[12]+y11[13])/2,ch[0,7]);
setcolor(RED);
outtextxy((x11[12]+x11[13])/2,(y11[12]+y11[13])/2,ch1[0,7]);
```

```
x11[14]=x3+10+20;
y11[14]=y3+155;
x11[15]=x3+62+20;
y11[15]=y3+175;
BoxColor(x11[14],y11[14],x11[15],y11[15],CYAN);
setcolor(BLACK);
outtextxy(MaxX/2,(y11[14]+y11[15])/2,ch[0,3]);
outtextxy((x11[14]+x11[15])/2,(y11[14]+y11[15])/2,ch[0,8]);
setcolor(RED);
```

```
outtextxy((x11[14]+x11[15])/2,(y11[14]+y11[15])/2,ch1[0,8]);
```

```
setcolor(WHITE);
```

```
line(x3+5,y11[15]+11,x4-5,y11[15]+11);
```

```
setcolor(BLACK);
```

```
line(x3+5,y11[15]+10,x4-5,y11[15]+10);
```

```
click(x11[2],y11[2],x11[3],y11[3],BLACK,WHITE);
```

```
getcolor();
```

```
settextstyle(0,0,0);
```

```
settextjustify(0,2);
```

```
mouseon();
```

```
mousegoto(MaxX/2,MaxY/2);
```

```
}
```

```
/* windows 2_1 Tx */
```

```
int windows2_t(int x1,int y1,int x2,int y2,int color1,
```

```
int color2,int color3,int color4,char *text1)
```

```
{
```

```
int x3,y3,x4,y4,e1;
```

```
int x11[20],y11[20];
```

```
x3=(MaxX/2)-x1;
```

```
y3=(MaxY/2)-y1;
```

```
x4=(MaxX/2)+x2;
```

```
y4=(MaxY/2)+y2;
```

```
setregion(x3-1,y3-1,x4+1,y4+1);
```

```
mousegoto(MaxX/2,MaxY/2);
```

```
mouseoff();
```

```
BoxColor(x3,y3,x4,y4,color1);
```

```
x11[2]=x3+5;
```

```
y11[2]=y3+5;
```

```
x11[3]=x4-5;
```

```
y11[3]=y3+27;
```

```
BoxColor(x11[2],y11[2],x11[3],y11[3],color2);
```

```
chan_set_text(YELLOW);
```

```
outtextxy((MaxX/2),(y11[2]+y11[3])/2-2,text1);
```

```
/*x11[4]=x3+10;y11[4]=y4-35;
```

```
x11[5]=x3+62; y11[5]=y4-10;
```

```
BoxColor(x11[4],y11[4],x11[5],y11[5],color3);
```

```
chan_set_text(YELLOW);
```

```
outtextxy((x11[4]+x11[5])/2,(y11[4]+y11[5])/2,"Cancel");
```

```
setcolor(BLUE);
```

```
outtextxy((x11[4]+x11[5])/2,(y11[4]+y11[5])/2,"C ");*/
```

```
x11[6]=x4-62;
```

```
y11[6]=y3+196;
```

```
x11[7]=x4-10;
```

```
y11[7]=y3+216;
```

```
BoxColor(x11[6],y11[6],x11[7],y11[7],color4);
```

```
chan_set_text(GREEN);
```

```
outtextxy((x11[6]+x11[7])/2,(y11[6]+y11[7])/2,"K");
```

```
setcolor(BLUE);
```

```
outtextxy((x11[6]+x11[7])/2,(y11[6]+y11[7])/2,"O ");
```

```
x11[8]=x3+10+20;
```

```
y11[8]=y3+50;
```

```
x11[9]=x3+62+20;
```

```
y11[9]=y3+70;
```

```
BoxColor(x11[8],y11[8],x11[9],y11[9],CYAN);
```

```
setcolor(BLACK);
```

```
outtextxy(MaxX/2,(y11[8]+y11[9])/2,ch2[0]);
```

```
outtextxy((x11[8]+x11[9])/2,(y11[8]+y11[9])/2,ch2[5]);
```

```
setcolor(RED);
```

```
outtextxy((x11[8]+x11[9])/2,(y11[8]+y11[9])/2,ch1[5]);
```

```
x11[10]=x3+10+20;
```

```
y11[10]=y3+85;
```

```
x11[11]=x3+62+20;
```

```
y11[11]=y3+105;
```

```
BoxColor(x11[10],y11[10],x11[11],y11[11],CYAN);
```

```
setcolor(BLACK);
```

```
outtextxy(MaxX/2,(y11[10]+y11[11])/2,ch2[1]);
```

```
outtextxy((x11[10]+x11[11])/2,(y11[10]+y11[11])/2,ch2[6]);
```

```
setcolor(RED);
```

```
outtextxy((x11[10]+x11[11])/2,(y11[10]+y11[11])/2,ch1[0,6]);
```

```
x11[12]=x3+10+20;
```

```
y11[12]=y3+120;
```

```
x11[13]=x3+62+20;
```

```
y11[13]=y3+140;
```

```
BoxColor(x11[12],y11[12],x11[13],y11[13],CYAN);
setcolor(BLACK);
outtextxy(MaxX/2,(y11[12]+y11[13])/2,ch2[0,2]);
outtextxy((x11[12]+x11[13])/2,(y11[12]+y11[13])/2,ch2[0,7]);
setcolor(RED);
outtextxy((x11[12]+x11[13])/2,(y11[12]+y11[13])/2,ch1[0,7]);
```

```
x11[14]=x3+10+20;
```

```
y11[14]=y3+155;
```

```
x11[15]=x3+62+20;
```

```
y11[15]=y3+175;
```

```
BoxColor(x11[14],y11[14],x11[15],y11[15],CYAN);
```

```
setcolor(BLACK);
```

```
outtextxy(MaxX/2,(y11[14]+y11[15])/2,ch2[0,3]);
```

```
outtextxy((x11[14]+x11[15])/2,(y11[14]+y11[15])/2,ch2[0,8]);
```

```
setcolor(RED);
```

```
outtextxy((x11[14]+x11[15])/2,(y11[14]+y11[15])/2,ch1[0,8]);
```

```
setcolor(WHITE);
```

```
line(x3+5,y11[15]+11,x4-5,y11[15]+11);
```

```
setcolor(BLACK);
```

```
line(x3+5,y11[15]+10,x4-5,y11[15]+10);
```

```
klick(x11[2],y11[2],x11[3],y11[3],BLACK,WHITE);
```

```
getcolor();
```

```
settextstyle(0,0,0);
```

```
settextjustify(0,2);
```

```
mouseon();
```

```
mousegoto(MaxX/2,MaxY/2);
```

```
}
```

```
/* windows main menu      */
```

```
/*                          */
```

```
int windows3(int x1,int y1,int x2,int y2,int color1,  
             int color2,int color3,int color4,char *text1)
```

```
{
```

```
int x3,y3,x4,y4;
```

```
int x11[25],y11[25];
```

```
x3=(MaxX/2)-x1;
```

```
y3=(MaxY/2)-y1;
```

```
x4=(MaxX/2)+x2;
```

```
y4=(MaxY/2)+y2;
```

```
setregion(x3-1,y3-1,x4+1,y4+1);
```

```
mousegoto(MaxX/2,MaxY/2);
```

```
mouseoff();
```

```
BoxColor(x3,y3,x4,y4,color1);
```

```
x11[2]=x3+5;
```

```
y11[2]=y3+5;
```

```
x11[3]=x4-5;
```

```
y11[3]=y3+27;
```

```
BoxColor(x11[2],y11[2],x11[3],y11[3],color2);
```

```
chan_set_text(YELLOW);
```

เอกสารนี้เป็นเอกสารที่สงวนไว้สำหรับการใช้งานเพื่อการศึกษาเท่านั้น ไม่อนุญาตให้นำไปใช้ประโยชน์ด้านการค้า
ไม่ว่ากรณีใดๆ ทั้งสิ้น อีกทั้งห้ามมิให้ตัดแปลงเนื้อหา และต้องอ้างอิงถึงเจ้าของเอกสารทุกครั้งที่มีการนำไปใช้

```
outtextxy((MaxX/2),(y11[2]+y11[3])/2-2,text1);
```

```
x11[4]=x3+10;
```

```
y11[4]=y4-35;
```

```
x11[5]=x3+62;
```

```
y11[5]=y4-10;
```

```
BoxColor(x11[4],y11[4],x11[5],y11[5],color3);
```

```
setcolor(BLACK);
```

```
line(x11[2]+3,y11[4]-10,x11[3]-3,y11[4]-10);
```

```
setcolor(WHITE);
```

```
line(x11[2]+3,y11[4]-9,x11[3]-3,y11[4]-9);
```

```
setcolor(BLACK);
```

```
outtextxy((x11[4]+x11[5])/2,(y11[4]+y11[5])/2,"Exit");
```

```
setcolor(BLUE);
```

```
outtextxy((x11[4]+x11[5])/2,(y11[4]+y11[5])/2,"E ");
```

```
x11[6]=x4-62;
```

```
y11[6]=y4-35;
```

```
x11[7]=x4-10;
```

```
y11[7]=y4-10;
```

```
BoxColor(x11[6],y11[6],x11[7],y11[7],color4);
```

```
setcolor(BLACK);
```

```
outtextxy((x11[6]+x11[7])/2,(y11[6]+y11[7])/2,"Read");
```

```
setcolor(BLUE);
```

```
outtextxy((x11[6]+x11[7])/2,(y11[6]+y11[7])/2," d");
```

เอกสารนี้เป็นเอกสารที่สงวนไว้สำหรับการใช้งานเพื่อการศึกษาเท่านั้น ไม่อนุญาตให้นำไปใช้ประโยชน์ด้านการค้า
ไม่ว่ากรณีใดๆ ทั้งสิ้น อีกทั้งห้ามมิให้ตัดแปลงเนื้อหา และต้องอ้างอิงถึงเจ้าของเอกสารทุกครั้งที่มีการนำไปใช้

```
x11[16]=x11[6]-72;  
y11[6]=y4-35;  
x11[17]=x11[6]-20;  
y11[7]=y4-10;  
BoxColor(x11[16],y11[6],x11[17],y11[7],color4);
```

```
setcolor(BLACK);  
outtextxy((x11[16]+x11[17])/2,(y11[6]+y11[7])/2,"HELP");  
setcolor(BLUE);  
outtextxy((x11[16]+x11[17])/2,(y11[6]+y11[7])/2,"H ");
```

```
x11[18]=x11[16]-72;  
y11[6]=y4-35;  
x11[19]=x11[16]-20;  
y11[7]=y4-10;  
BoxColor(x11[18],y11[6],x11[19],y11[7],color4);
```

```
setcolor(BLACK);  
outtextxy((x11[18]+x11[19])/2,(y11[6]+y11[7])/2,"RX");  
setcolor(BLUE);  
outtextxy((x11[18]+x11[19])/2,(y11[6]+y11[7])/2,"R ");
```

```
x11[20]=x11[18]-72;  
y11[6]=y4-35;  
x11[21]=x11[18]-20;  
y11[7]=y4-10;  
BoxColor(x11[20],y11[6],x11[21],y11[7],color4);
```

เอกสารนี้เป็นเอกสารที่สงวนไว้สำหรับการใช้งานเพื่อการศึกษาเท่านั้น ไม่อนุญาตให้นำไปใช้ประโยชน์ด้านการค้า
ไม่ว่ากรณีใดๆ ทั้งสิ้น อีกทั้งห้ามมิให้ตัดแปลงเนื้อหา และต้องอ้างอิงถึงเจ้าของเอกสารทุกครั้งที่มีการนำไปใช้

```
setcolor(BLACK);
outtextxy((x11[20]+x11[21])/2,(y11[6]+y11[7])/2,"TX");
setcolor(BLUE);
outtextxy((x11[20]+x11[21])/2,(y11[6]+y11[7])/2,"T ");
```

```
x11[22]=x11[20]-72;
```

```
y11[6]=y4-35;
```

```
x11[23]=x11[20]-20;
```

```
y11[7]=y4-10;
```

```
BoxColor(x11[22],y11[6],x11[23],y11[7],color4);
```

```
setcolor(BLACK);
```

```
outtextxy((x11[22]+x11[23])/2,(y11[6]+y11[7])/2,"Clear");
```

```
setcolor(BLUE);
```

```
outtextxy((x11[22]+x11[23])/2,(y11[6]+y11[7])/2," 1  ");
```

```
BoxColor(x11[22]-72,y11[6],x11[22]-20,y11[7],color4);
```

```
setcolor(BLACK);
```

```
outtextxy(((x11[22]-72)+(x11[22]-20))/2,(y11[6]+y11[7])/2,"About");
```

```
setcolor(BLUE);
```

```
outtextxy(((x11[22]-72)+(x11[22]-20))/2,(y11[6]+y11[7])/2,"A  ");
```

```
klick(x11[2],y11[2],x11[3],y11[3],BLACK,WHITE);
```

```
getcolor();
```

```
settextstyle(0,0,0);
```

```
settextjustify(0,2);
```

```
mouseon();
```

```
mousegoto(MaxX/2,MaxY/2);
```

}

/* Esc & OK */

/* */

void Esc_ok(int x1,int y1,int x2,int y2,int numb)

{

int xx1,yy1,xx2,yy2,xx3,xx4;

char c;

xx1=/*x3*/((MaxX/2)-x1)+10;

yy1=/*y4*/((MaxY/2)+y2)-35;

xx2=/*x3*/((MaxX/2)-x1)+62;

yy2=/*y4*/((MaxY/2)+y2)-10;

xx3= ((MaxX/2)+x2)-62;

xx4= ((MaxX/2)+x2)-10;

mouseon();

if (numb == 2)

{

while(ans != 2)

{

m = getmouse1();

if((a[1]/*yy*/ > yy1 && a[1]/*yy*/ < yy2) && m == 1)

{

if((a[0]/*xx*/ > xx1 && a[0]/*xx*/ < xx2) && m == 1) /*cannel*/

{ goto ok_c1;

เอกสารนี้เป็นเอกสารที่สงวนไว้สำหรับการใช้งานเพื่อการศึกษาเท่านั้น ไม่อนุญาตให้นำไปใช้ประโยชน์ด้านการค้า
ไม่ว่ากรณีใดๆ ทั้งสิ้น อีกทั้งห้ามมิให้ตัดแปลงเนื้อหา และต้องอ้างอิงถึงเจ้าของเอกสารทุกครั้งที่มีการนำไปใช้

```

}
else if((a[0]/*xx*/ > xx3 && a[0]/*xx*/ < xx4) && m==1) /*ok*/
{
    goto ok_ok;
}
}
else if(kbhit())
{
    c = getch();
    if(c == 'C' || c == 'c' || c == ESC)
    {
        ok_c1:
        klick(xx1,yy1,xx2,yy2,BLACK,WHITE);
        delay(550);
        ans = 2; c = 'c';
    }
    else if(c == 'o' || c == 'O' || c == ENTER)
    {
        ok_ok:
        ans=1;
        klick(xx3,yy1,xx4,yy2,BLACK,WHITE);
        delay(550);
        closegraph();
        clrscr();
        exit(1);
    }
}
}
}
}

```

เอกสารนี้เป็นเอกสารที่สงวนไว้สำหรับการใช้งานเพื่อการศึกษาเท่านั้น ไม่อนุญาตให้นำไปใช้ประโยชน์ด้านการค้า
 ไม่ว่าจะในรูปแบบใดก็ตาม ห้ามนำไปเผยแพร่หรือทำซ้ำโดยไม่ได้รับอนุญาต และต้องอ้างอิงถึงเจ้าของเอกสารทุกครั้งที่มีการนำไปใช้

```

{
xx1 = (MaxX/2)-20;
xx2 = (MaxX/2)+20;
while(ans != 2)
{
m = getmouse1();
if((a[1]/*yy*/ > yy1 && a[1]/*yy*/ < yy2) && m == 1)
{
if((a[0]/*xx*/ > xx1 && a[0]/*xx*/ < xx2) && m == 1) /* ok1 */
{ goto ok_ok1;
}
}
else if(kbhit())
{
c = getch();
if(c == 'o' || c == 'O' || c == ENTER)
{ ok_ok1:
/* ans = 1;*/
klick(xx1,yy1,xx2,yy2,BLACK,WHITE);
delay(550);
/* exit(1); */
ans = 2; c = 'o';
}
}
}
}
}

```

```
ans = 0; mouseoff();
```

เอกสารนี้เป็นเอกสารที่สงวนไว้สำหรับการใช้งานเพื่อการศึกษาเท่านั้น ไม่อนุญาตให้นำไปใช้ประโยชน์ด้านการค้า
 ไม่ว่ากรณีใดๆ ทั้งสิ้น อีกทั้งห้ามมิให้ดัดแปลงเนื้อหา และต้องอ้างอิงถึงเจ้าของเอกสารทุกครั้งที่มีการนำไปใช้

```

/*      choice      rx      */

void Choice_r(int x1,int y1,int x2,int y2)
{
    int x3,x4,y3,y4,xx[20],yy[20],p1,po1,va[5];
    char c,c1;

    x3=(MaxX/2)-x1;
    y3=(MaxY/2)-y1;
    x4=(MaxX/2)+x2;
    y4=(MaxY/2)+y2;

    xx[4]= x3+10+20;
    xx[5]= x3+62+20;
    xx[6]= x4-62;
    xx[7]= x4-10;

    yy[4]= /*y4-35;*/y3+196;
    yy[5]= /*y4-10;*/y3+216;
    yy[8]= y3+50;
    yy[9]= y3+70;
    yy[10]=y3+85;
    yy[11]=y3+105;
    yy[12]= y3+120;
    yy[13]= y3+140;
    yy[14]= y3+155;
    yy[15]= y3+175;

```

เอกสารนี้เป็นเอกสารที่สงวนไว้สำหรับการใช้งานเพื่อการศึกษาเท่านั้น ไม่อนุญาตให้นำไปใช้ประโยชน์ด้านการค้า
ไม่ว่ากรณีใดๆ ทั้งสิ้น อีกทั้งห้ามมิให้ตัดแปลงเนื้อหา และต้องอ้างอิงถึงเจ้าของเอกสารทุกครั้งที่มีการนำไปใช้

```
p1=0; c1=0;
```

```
mouseon();
```

```
c1 = inportb(Pb1);
```

```
printf(" Pb1 %.4X ",c1);
```

```
if (c1==0xffa1) goto w2_k1;
```

```
if (c1==0xffa2) goto w2_k2;
```

```
if (c1==0xffa3) goto w2_k3;
```

```
if (c1==0xffa4) goto w2_k4;
```

```
while(ans !=2)
```

```
{
```

```
m = getmouse1(); /*mousetimes0*/
```

```
if((a[1]/*y*/ > yy[4] && a[1] < yy[5]) && m == 1)
```

```
{ /* Cannel */
```

```
if((a[0] > xx[6] && a[0] < xx[7]) && m==1) /* ok OK */
```

```
goto w2_ok;
```

```
}
```

```
else
```

```
if((a[0]/*x*/ > xx[4] && a[0] < xx[5]) && m == 1)
```

```
{
```

```
if((a[1]/*y*/ > yy[8] && a[1] < yy[9]) && m == 1) /* c1 C1 */
```

```
goto w2_k1;
```

```
if((a[1] > yy[10] && a[1] < yy[11]) && m==1) /* C2 c2 */
```

```
goto w2_k2;
```

```
if((a[1] > yy[12] && a[1] < yy[13]) && m==1) /* c3 C3 */
```

```
goto w2_k3;
```

เอกสารนี้เป็นเอกสารสงวนลิขสิทธิ์ การใช้งานเพื่อการศึกษาเท่านั้น ไม่อนุญาตให้นำไปใช้ประโยชน์ด้านการค้า
ไม่ว่ากรณีใดๆ ทั้งสิ้น อีกทั้งห้ามมิให้ตัดแปลงเนื้อหา และต้องอ้างอิงถึงเจ้าของเอกสารทุกครั้งที่มีการนำไปใช้

```

if((a[1] > yy[14] && a[1] < yy[15]) && m==1) /* c4 C4 */
    goto w2_k4;
}
else if(kbhit())
{
c = getch();
if(c == '1')
{
w2_k1:
klick(xx[4],yy[8],xx[5],yy[9],BLACK,WHITE);
delay(550);
klick(xx[4],yy[8],xx[5],yy[9],WHITE,BLACK);

setpi(x3+15,yy[10]+10,LIGHTGRAY);
setpi(x3+15,yy[12]+10,LIGHTGRAY);
setpi(x3+15,yy[14]+10,LIGHTGRAY);
setpi(x3+15,yy[8]+10,MAGENTA);

p1= p0 = 1;
c = '1';
va[0] = 0x5d;
va[1] = 0xa1;
}
if(c == '2')
{
w2_k2:
klick(xx[4],yy[10],xx[5],yy[11],BLACK,WHITE);

```

เอกสารนี้เป็นเอกสารที่สงวนไว้สำหรับการใช้งานเพื่อการศึกษาเท่านั้น ไม่อนุญาตให้นำไปใช้ประโยชน์ด้านการค้า
ไม่ว่ากรณีใดๆ ทั้งสิ้น อีกทั้งห้ามมิให้ดัดแปลงเนื้อหา และต้องอ้างอิงถึงเจ้าของเอกสารทุกครั้งที่มีการนำไปใช้

```
klick(xx[4],yy[10],xx[5],yy[11],WHITE,BLACK);
```

```
setpi(x3+15,yy[12]+10,LIGHTGRAY);
```

```
setpi(x3+15,yy[14]+10,LIGHTGRAY);
```

```
setpi(x3+15,yy[8]+10,LIGHTGRAY);
```

```
setpi(x3+15,yy[10]+10,BROWN);
```

```
p1=p0=2;
```

```
c = '2';
```

```
va[0] = 0x11;
```

```
va[1] = 0xa2;
```

```
}
```

```
if(c == '3')
```

```
{
```

```
w2_k3:
```

```
klick(xx[4],yy[12],xx[5],yy[13],BLACK,WHITE);
```

```
delay(550);
```

```
klick(xx[4],yy[12],xx[5],yy[13],WHITE,BLACK);
```

```
setpi(x3+15,yy[10]+10,LIGHTGRAY);
```

```
setpi(x3+15,yy[14]+10,LIGHTGRAY);
```

```
setpi(x3+15,yy[8]+10,LIGHTGRAY);
```

```
setpi(x3+15,yy[12]+10,WHITE);
```

```
p1=p0=3;
```

```
c = '3';
```

```
va[0] = 0x22;
```

```
va[1] = 0xa3;
```

เอกสารนี้เป็นเอกสารที่สงวนไว้สำหรับการใช้งานเพื่อการศึกษาเท่านั้น ไม่อนุญาตให้นำไปใช้ประโยชน์ด้านการค้า
ไม่ว่ากรณีใดๆ ทั้งสิ้น อีกทั้งห้ามมิให้ตัดแปลงเนื้อหา และต้องอ้างอิงถึงเจ้าของเอกสารทุกครั้งที่มีการนำไปใช้

```

if(c == '4')
{
w2_k4:
klick(xx[4],yy[14],xx[5],yy[15],BLACK,WHITE);
delay(550);
klick(xx[4],yy[14],xx[5],yy[15],WHITE,BLACK);

setpi(x3+15,yy[10]+10,LIGHTGRAY);
setpi(x3+15,yy[12]+10,LIGHTGRAY);
setpi(x3+15,yy[8]+10,LIGHTGRAY);
setpi(x3+15,yy[14]+10,LIGHTBLUE);

/* BoxColor((MaxX/2)-25,yy[4],(MaxX/2)+25,yy[5],LIGHTGREEN);
chan_set_text(BLACK);
outtextxy(MaxX/2,(yy[4]+yy[5])/2,ch[0,8]);*/
p1=p0=4;
c = '4';
va[0] = 0xaf;
va[1] = 0xa4;
}

if(c == 'o' || c == 'O' || c == ENTER)
{
w2_ok:
/* ans=1;*/
klick(xx[6],yy[4],xx[7],yy[5],BLACK,WHITE);
delay(550);

if(p1==1||p1==2||p1==3||p1==4)

```

เอกสารนี้เป็นเอกสารที่สงวนไว้สำหรับการใช้งานเพื่อการศึกษาเท่านั้น ไม่อนุญาตให้นำไปใช้ประโยชน์ด้านการค้า ไม่ว่าจะกรณีใดๆ ทั้งสิ้น อีกทั้งห้ามมิให้ดัดแปลงเนื้อหา และต้องอ้างอิงถึงเจ้าของเอกสารทุกครั้งที่มีการนำไปใช้

```

port1(va[0],va[1]);
ans = 2;
}
else
{
mal2(150,70,150,70);
windows1(150,70,150,70,1,LIGHTGRAY,YELLOW,CYAN,CYAN,"Error");
mouseoff();
chan_set_text(YELLOW);
outtextxy(MaxX/2,MaxY/2,"You not chioce !");
mouseon();
Esc_ok(150,70,150,70,1);
put1();
setregion(x3-1,y3-1,x4+1,y4+1);
mousegoto(MaxX/2,MaxY/2);
mouseon();
ans = 0;
}
klick(xx[6],yy[4],xx[7],yy[5],WHITE,BLACK);
c = 'o';
}
}
}

ans = 0;mouseoff();delay(50);
}

```

เอกสารนี้เป็นเอกสารที่สงวนไว้สำหรับการใช้งานเพื่อการศึกษาเท่านั้น ไม่อนุญาตให้นำไปใช้ประโยชน์ด้านการค้า
ไม่ว่ากรณีใดๆ ทั้งสิ้น อีกทั้งห้ามมิให้ดัดแปลงเนื้อหา และต้องอ้างอิงถึงเจ้าของเอกสารทุกครั้งที่มีการนำไปใช้

```
/*          choice_t          */
```

```
void Choice_t(int x1,int y1,int x2,int y2)
```

```
{
```

```
int x3,x4,y3,y4,xx[20],yy[20],p1,po1,va[5];
```

```
char c,c2;
```

```
x3=(MaxX/2)-x1;
```

```
y3=(MaxY/2)-y1;
```

```
x4=(MaxX/2)+x2;
```

```
y4=(MaxY/2)+y2;
```

```
xx[4]= x3+10+20;
```

```
xx[5]= x3+62+20;
```

```
xx[6]= x4-62;
```

```
xx[7]= x4-10;
```

```
yy[4]= /*y4-35;*/y3+196;
```

```
yy[5]= /*y4-10;*/y3+216;
```

```
yy[8]= y3+50;
```

```
yy[9]= y3+70;
```

```
yy[10]=y3+85;
```

```
yy[11]=y3+105;
```

```
yy[12]= y3+120;
```

```
yy[13]= y3+140;
```

```
yy[14]= y3+155;
```

```
yy[15]= y3+175;
```

เอกสารนี้เป็นเอกสารที่สงวนไว้สำหรับการใช้งานเพื่อการศึกษาเท่านั้น ไม่อนุญาตให้นำไปใช้ประโยชน์ด้านการค้า
ไม่ว่ากรณีใดๆ ทั้งสิ้น อีกทั้งห้ามมิให้ตัดแปลงเนื้อหา และต้องอ้างอิงถึงเจ้าของเอกสารทุกครั้งที่มีการนำไปใช้

```
p1=0; c2=0;
```

```
mouseon();
```

```
c2 = inportb(Pb2);
```

```
printf(" Pb2 %X ",c2);
```

```
if (c2==0xffff1) goto w2_tk1;
```

```
if (c2==0xffff2) goto w2_tk2;
```

```
if (c2==0xffff3) goto w2_tk3;
```

```
if (c2==0xffff4) goto w2_tk4;
```

```
printf(" Pb2 %.4X ",c2);
```

```
while(ans !=2)
```

```
{
```

```
m = getmouse1(); /*mousetimes()*/
```

```
if((a[1]/*y*/ > yy[4] && a[1] < yy[5]) && m == 1)
```

```
{ /* Cannel */
```

```
if((a[0] > xx[6] && a[0] < xx[7]) && m==1) /* ok OK */
```

```
goto w2_tok;
```

```
}
```

```
else
```

```
if((a[0]/*x*/ > xx[4] && a[0] < xx[5]) && m == 1)
```

```
{
```

```
if((a[1]/*y*/ > yy[8] && a[1] < yy[9]) && m == 1) /* c1 C1 */
```

```
goto w2_tk1;
```

```
if((a[1] > yy[10] && a[1] < yy[11]) && m==1) /* C2 c2 */
```

```
goto w2_tk2;
```

```
if((a[1] > yy[12] && a[1] < yy[13]) && m==1) /* c3 C3 */
```

```
goto w2_tk3;
```

เอกสารนี้เป็นเอกสารที่สงวนลิขสิทธิ์การใช้งานเพื่อการศึกษาเท่านั้น ไม่อนุญาตให้นำไปใช้ประโยชน์ด้านการค้า
ไม่ว่ากรณีใดๆ ทั้งสิ้น อีกทั้งห้ามมิให้ดัดแปลงเนื้อหา และต้องอ้างอิงถึงเจ้าของเอกสารทุกครั้งที่มีการนำไปใช้

```

if((a[1] > yy[14] && a[1] < yy[15]) && m==1) /* c4 C4 */
    goto w2_tk4;
}
else if(kbhit())
{
c = getch();
if(c == '1')
{
w2_tk1:
klick(xx[4],yy[8],xx[5],yy[9],BLACK,WHITE);
delay(550);
klick(xx[4],yy[8],xx[5],yy[9],WHITE,BLACK);

setpi(x3+15,yy[10]+10,LIGHTGRAY);
setpi(x3+15,yy[12]+10,LIGHTGRAY);
setpi(x3+15,yy[14]+10,LIGHTGRAY);
setpi(x3+15,yy[8]+10,MAGENTA);

/* BoxColor((MaxX/2)-25,yy[4],(MaxX/2)+25,yy[5],MAGENTA);
chan_set_text(BLACK);
outtextxy(MaxX/2,(yy[4]+yy[5])/2,ch[0,5]);*/

p1 = p2 = 1;
c = '1';
va[0] = 0x5d;
va[1] = 0xf1;
}

if(c == '2')

```

เอกสารนี้เป็นเอกสารที่สงวนไว้สำหรับการใช้งานเพื่อการศึกษาเท่านั้น ไม่อนุญาตให้นำไปใช้ประโยชน์ด้านการค้า
 ไม่ว่าจะกรณีใดๆ ทั้งสิ้น อีกทั้งห้ามมิให้ดัดแปลงเนื้อหา และต้องอ้างอิงถึงเจ้าของเอกสารทุกครั้งที่มีการนำไปใช้

```
w2_tk2:
klick(xx[4],yy[10],xx[5],yy[11],BLACK,WHITE);
delay(550);
klick(xx[4],yy[10],xx[5],yy[11],WHITE,BLACK);
```

```
setpi(x3+15,yy[12]+10,LIGHTGRAY);
setpi(x3+15,yy[14]+10,LIGHTGRAY);
setpi(x3+15,yy[8]+10,LIGHTGRAY);
setpi(x3+15,yy[10]+10,BROWN);
p1 = p2=2;
c = '2';
va[0] = 0x11;
va[1] = 0xf2;
}
if(c == '3')
{
w2_tk3:
klick(xx[4],yy[12],xx[5],yy[13],BLACK,WHITE);
delay(550);
klick(xx[4],yy[12],xx[5],yy[13],WHITE,BLACK);
```

```
setpi(x3+15,yy[10]+10,LIGHTGRAY);
setpi(x3+15,yy[14]+10,LIGHTGRAY);
setpi(x3+15,yy[8]+10,LIGHTGRAY);
setpi(x3+15,yy[12]+10,WHITE);
p1= p2=3;
c = '3';
```

```
va[0] = 0x22;
```

```
va[1] = 0xf3;
```

เอกสารนี้เป็นเอกสารที่สงวนไว้สำหรับการใช้งานเพื่อการศึกษาเท่านั้น ไม่อนุญาตให้นำไปใช้ประโยชน์ด้านการค้า
ไม่ว่ากรณีใดๆ ทั้งสิ้น อีกทั้งห้ามมิให้ตัดแปลงเนื้อหา และต้องอ้างอิงถึงเจ้าของเอกสารทุกครั้งที่มีการนำไปใช้

```

}
if(c == '4')
{
w2_tk4:
klick(xx[4],yy[14],xx[5],yy[15],BLACK,WHITE);
delay(550);
klick(xx[4],yy[14],xx[5],yy[15],WHITE,BLACK);

setpi(x3+15,yy[10]+10,LIGHTGRAY);
setpi(x3+15,yy[12]+10,LIGHTGRAY);
setpi(x3+15,yy[8]+10,LIGHTGRAY);
setpi(x3+15,yy[14]+10,LIGHTBLUE);
p1 = p2 = 4;
c = '4';
va[0] = 0xaf;
va[1] = 0xf4;
}
if(c == 'o' || c == 'O' || c == ENTER)
{
w2_tok:
/* ans=1;*/
klick(xx[6],yy[4],xx[7],yy[5],BLACK,WHITE);
delay(550);
printf(" p1 %d ",p1);
if(p1==1||p1==2||p1==3||p1==4)
{
port2(va[0],va[1]);
ans = 2;
printf(" p2 = %d ",p2);
}
}

```

```

    }
else
{
    mal2(150,70,150,70);
    windows1(150,70,150,70,1,LIGHTGRAY,YELLOW,CYAN,CYAN,"Error");
    chan_set_text(YELLOW);
    outtextxy(MaxX/2,MaxY/2,"You not chioce !");
    mouseon();
    Esc_ok(150,70,150,70,1);
    put1();
    setregion(x3-1,y3-1,x4+1,y4+1);
    mousegoto(MaxX/2,MaxY/2);
    mouseon();
    ans = 0;
}
klick(xx[6],yy[4],xx[7],yy[5],WHITE,BLACK);
c = 'o';
}
}
}
ans = 0;mouseoff();delay(50);
}

```

เอกสารนี้เป็นเอกสารที่สงวนไว้สำหรับการใช้งานเพื่อการศึกษาเท่านั้น ไม่อนุญาตให้นำไปใช้ประโยชน์ด้านการค้า
ไม่ว่ากรณีใดๆ ทั้งสิ้น อีกทั้งห้ามมิให้ดัดแปลงเนื้อหา และต้องอ้างอิงถึงเจ้าของเอกสารทุกครั้งที่มีการนำไปใช้

```
/* Choicemain */
```

```
/* */
```

```
void Choicemain(int x1,int y1,int x2,int y2)
```

```
{
```

```
int x3,x4,y3,y4,xx[20],yy[20],i,po1,po2;
```

```
char c,c1,c2;
```

```
x3=(MaxX/2)-x1; y3=(MaxY/2)-y1;
```

```
x4=(MaxX/2)+x2; y4=(MaxY/2)+y2;
```

```
xx[4]= x3+10;
```

```
xx[5]= x3+62;
```

```
xx[6]= x4-62;
```

```
xx[7]= x4-10;
```

```
xx[16]=xx[6]-72;
```

```
xx[17]=xx[6]-20;
```

```
xx[18]=xx[16]-72;
```

```
xx[19]=xx[16]-20;
```

```
xx[20]=xx[18]-72;
```

```
xx[21]=xx[18]-20;
```

```
xx[22]=xx[20]-72;
```

```
xx[23]=xx[20]-20;
```

```
yy[4]= y4-35;
```

```
yy[5]= y4-10;
```

```
yy[8]= y3+50;
```

```
yy[9]= y3+70;
```

เอกสารนี้เป็นเอกสารที่สงวนไว้สำหรับการใช้งานเพื่อการศึกษาเท่านั้น ไม่อนุญาตให้นำไปใช้ประโยชน์ด้านการค้า
ไม่ว่ากรณีใดๆ ทั้งสิ้น อีกทั้งห้ามมิให้ตัดแปลงเนื้อหา และต้องอ้างอิงถึงเจ้าของเอกสารทุกครั้งที่มีการนำไปใช้

```
yy[10]=y3+85;
yy[11]=y3+107;
yy[12]= y3+120;
yy[13]= y3+145;
yy[14]= y3+155;
yy[15]= y3+180;
i = 0;
p2=16; p0=17;
```

```
mouseon();
while(ans !=2)
{
m = getmouse1(); /*mousetimes*/
if((a[1]/*y*/ > yy[4] && a[1] < yy[5]) && m == 1)
{
if((a[0]/*x*/ > xx[4] && a[0] < xx[5]) && m == 1) /* Esc */
goto esc_1;

if((a[0] > xx[6] && a[0] < xx[7]) && m==1) /* ok */
goto ok_1;

if((a[0]/*x*/ > xx[16] && a[0] < xx[17]) && m == 1) /* help */
goto help_1;

if((a[0]/*x*/ > xx[18] && a[0] < xx[19]) && m == 1) /* 'rx' */
goto t1;
```

```

goto t2;

if((a[0]/*x*/ > xx[22] && a[0] < xx[23]) && m == 1) /* clear */
    goto clear_1;

if((a[0]/*x*/ > xx[22]-72 && a[0] < xx[22]-20) && m == 1) /* about */
    goto about1;
}

else if(kbhit())
{
c = getch();
if (c == 'I' || c == 'L') /* CLEAR clear */
{
clear_1:
p0= 6;    p2=7;
i = 0;
klick(xx[22],yy[4],xx[23],yy[5],BLACK,WHITE);
delay(550);
klick(xx[22],yy[4],xx[23],yy[5],WHITE,BLACK);
port1(0x00,0x00);
port2(0x00,0x00);

mouseon_on(x3,y3,x4,y4);
setfillstyle(1,BLUE);
bar(xx[4],yy[8]-20,xx[7],yy[13]+50);
ans = 0;
c = 'I';
}
}

```

เอกสารนี้เป็นเอกสารที่สงวนไว้สำหรับการใช้งานเพื่อการศึกษาเท่านั้น ไม่อนุญาตให้นำไปใช้ประโยชน์ด้านการค้า
ไม่ว่ากรณีใดๆ ทั้งสิ้น อีกทั้งห้ามมิให้ดัดแปลงเนื้อหา และต้องอ้างอิงถึงเจ้าของเอกสารทุกครั้งที่มีการนำไปใช้

```

if (c == 'a' || c == 'A') /* about About */
{
    about1:
    p0= 6;    p2=7;
    i = 0;

    klick(xx[22]-72,yy[4],xx[22]-20,yy[5],BLACK,WHITE);
    delay(550);
    klick(xx[22]-72,yy[4],xx[22]-20,yy[5],WHITE,BLACK);

    mal(150,150,150,150);
    windows1(150,150,150,150,1,LIGHTGRAY,WHITE,CYAN,CYAN,
    "PROGRAM VERSION 1.0");
    mouseoff();
    about1();
    mouseon();
    Esc_ok(150,150,150,150,1);
    put();
    mouseon_on(x3,y3,x4,y4);

    ans = 0;

    c = 'a';
}

if(c == 'E' || c == 'e' || c == ESC) /* EXIT exit */
{
    esc_1:
    klick(xx[4],yy[4],xx[5],yy[5],BLACK,WHITE);
    delay(550);
    klick(xx[4],yy[4],xx[5],yy[5],WHITE,BLACK);

```

```

mal(150,90,150,90);
windows1(150,90,150,90,2,LIGHTGRAY,WHITE,RED,CYAN,"Exit");
mouseoff();
chan_set_text(RED);
outtextxy(MaxX/2,MaxY/2,"Are you sure you want to exit ?");
outtextxy(MaxX/2,MaxY/2+20,"plese botton");
mouseon();
Esc_ok(150,90,150,90,2);
put();
mouseon_on(x3,y3,x4,y4);
i = 0;
ans = 0;
c = 'e';
}
if (c == 'h' || c == 'H') /* HELP help */
{
help_1:
klick(xx[16],yy[4],xx[17],yy[5],BLACK,WHITE);
delay(550);
klick(xx[16],yy[4],xx[17],yy[5],WHITE,BLACK);
mal(100,190;100,190);
windows1(100,190,100,190,1,LIGHTGRAY,WHITE,LIGHTMAGENTA,CYAN,
"HELP");
mouseoff();
help1();
mouseon();
Esc_ok(100,190,100,190,1);
put();

```

เอกสารนี้เป็น `mouseon_on(x3,y3,x4,y4)`; งานเพื่อการศึกษาเท่านั้น ไม่อนุญาตให้นำไปใช้ประโยชน์ด้านการค้า
ไม่ว่ากรณีใดๆ ทั้งสิ้น อีกทั้งห้ามมิให้ตัดแปลงเนื้อหา และต้องอ้างอิงถึงเจ้าของเอกสารทุกครั้งที่มีการนำไปใช้

```

/*BoxColor((MaxX/2)-25,yy[4],(MaxX/2)+25,yy[5],BLUE);
klick((MaxX/2)-25,yy[8],(MaxX/2)+25,yy[9],LIGHTGRAY,LIGHTGRAY);*/
i = 0;
ans = 0;
c = 'h';
}
if(c == 'r' || c == 'R') /* RX rx */
{
t1:
klick(xx[18],yy[4],xx[19],yy[5],BLACK,WHITE);
delay(550);
klick(xx[18],yy[4],xx[19],yy[5],WHITE,BLACK);

mal(200,120,200,105);
windows2_r(200,120,200,105,LIGHTGRAY,GREEN,CYAN,RED," Rx MENU ");
Choice_r(200,120,200,105);
put();
if(p0==1)
{
setfillstyle(1,MAGENTA);
bar(xx[4],yy[8],xx[7],yy[9]);
chan_set_text(BLACK);
outtextxy(MaxX/2-100,(yy[8]+yy[9])/2," Rx Sent ");
outtextxy(MaxX/2,(yy[8]+yy[9])/2,ch[0]);
}
if(p0==2)
{

```

```

bar(xx[4],yy[8],xx[7],yy[9]);
chan_set_text(BLACK);
outtextxy(MaxX/2-100,(yy[8]+yy[9])/2," Rx Sent ");
outtextxy(MaxX/2,(yy[8]+yy[9])/2,ch[1]);
}
if(p0==3)
{
setfillstyle(1,WHITE);
bar(xx[4],yy[8],xx[7],yy[9]);
chan_set_text(BLACK);
outtextxy(MaxX/2-100,(yy[8]+yy[9])/2," Rx Sent ");
outtextxy(MaxX/2,(yy[8]+yy[9])/2,ch[2]);
}
if(p0==4)
{
setfillstyle(1,LIGHTBLUE);
bar(xx[4],yy[8],xx[7],yy[9]);
chan_set_text(BLACK);
outtextxy(MaxX/2-100,(yy[8]+yy[9])/2," Rx Sent ");
outtextxy(MaxX/2,(yy[8]+yy[9])/2,ch[3]);
}
}
mouseon_on(x3,y3,x4,y4);

i = 0;
ans =0;
c= 'r';
}

```

เอกสารนี้เป็นเอกสารที่สงวนไว้สำหรับการใช้งานเพื่อการศึกษาเท่านั้น ไม่อนุญาตให้นำไปใช้ประโยชน์ด้านการค้า
ไม่ว่ากรณีใดๆ ทั้งสิ้น อีกทั้งห้ามมิให้ตัดแปลงเนื้อหา และต้องอ้างอิงถึงเจ้าของเอกสารทุกครั้งที่มีการนำไปใช้

```

if (c == 'T' || c == 't') /* TX tx */
{
t2:
klick(xx[20],yy[4],xx[21],yy[5],BLACK,WHITE);
delay(550);
klick(xx[20],yy[4],xx[21],yy[5],WHITE,BLACK);
mal(200,120,200,105);
windows2_t(200,120,200,105,LIGHTGRAY,GREEN,CYAN,YELLOW,
" Tx MENU ");
Choice_t(200,120,200,105);
put();
printf(" p2 %d ",p2);
if(p2==1)
{
setfillstyle(1,MAGENTA);
bar(xx[4],yy[10],xx[7],yy[11]);
chan_set_text(BLACK);
outtextxy(MaxX/2-100,(yy[10]+yy[11])/2," Tx Sent ");
outtextxy(MaxX/2,(yy[10]+yy[11])/2,ch[5]);
}
if(p2==2)
{
setfillstyle(1,BROWN);
bar(xx[4],yy[10],xx[7],yy[11]);
chan_set_text(BLACK);
outtextxy(MaxX/2-100,(yy[10]+yy[11])/2," Tx Sent ");
outtextxy(MaxX/2,(yy[10]+yy[11])/2,ch[6]);
}
}

```

เอกสารนี้เป็นเอกสารที่สงวนไว้สำหรับการใช้งานเพื่อการศึกษาเท่านั้น ไม่อนุญาตให้นำไปใช้ประโยชน์ด้านการค้า
ไม่ว่ากรณีใดๆ ทั้งสิ้น อีกทั้งห้ามมิให้ดัดแปลงเนื้อหา และต้องอ้างอิงถึงเจ้าของเอกสารทุกครั้งที่มีการนำไปใช้

```

if(p2==3)
{
setfillstyle(1,WHITE);
bar(xx[4],yy[10],xx[7],yy[11]);
chan_set_text(BLACK);
outtextxy(MaxX/2-100,(yy[10]+yy[11])/2," Tx Sent ");
outtextxy(MaxX/2,(yy[10]+yy[11])/2,ch[7]);
}
if(p2==4)
{
setfillstyle(1,LIGHTBLUE);
bar(xx[4],yy[10],xx[7],yy[11]);
chan_set_text(BLACK);
outtextxy(MaxX/2-100,(yy[10]+yy[11])/2," Tx Sent ");
outtextxy(MaxX/2,(yy[10]+yy[11])/2,ch[8]);
}
mouseon_on(x3,y3,x4,y4);

i = 0;
ans =0;
c= 't';
}
if(c == 'd' || c == 'D') /* OK ok */
{ ok_1:
/* ans=1;*/
klick(xx[6],yy[4],xx[7],yy[5],BLACK,WHITE);
delay(550);
klick(xx[6],yy[4],xx[7],yy[5],WHITE,BLACK);

```

```

c1 = inportb(Pb1);
printf(" 0x301 = %c ",c1);
printf(" 0x301 = %.4X ",inp(Pb1));
c2 = inportb(Pb2);
printf(" 0x305 = %c ",c1);
printf(" 0x305 = %.4X ",inp(Pb2));

mal2(150,80,150,80);
windows1(150,80,150,80,1,LIGHTGRAY,MAGENTA,CYAN,CYAN,
"Read Tx & Rx");
mouseoff();
chan_set_text(BROWN);
if (c1==0xffa1) outtextxy(MaxX/2,MaxY/2-20,"RX sent Cannal 1");
if (c1==0xffa2) outtextxy(MaxX/2,MaxY/2-20,"RX sent Cannal 2");
if (c1==0xffa3) outtextxy(MaxX/2,MaxY/2-20,"Rx sent Cannal 3");
if (c1==0xffa4) outtextxy(MaxX/2,MaxY/2-20,"Rx sent Cannal 4");
if (c1!=0xffa4&& c1!=0xffa1&& c1!=0xffa2&& c1!=0xffa3)
    outtextxy(MaxX/2,MaxY/2-20,"Rx sent Clear");
if (c2==0xffff1) outtextxy(MaxX/2,MaxY/2,"TX sent Cannal 1");
if (c2==0xffff2) outtextxy(MaxX/2,MaxY/2,"TX sent Cannal 2");
if (c2==0xffff3) outtextxy(MaxX/2,MaxY/2,"Tx sent Cannal 3");
if (c2==0xffff4) outtextxy(MaxX/2,MaxY/2,"Tx sent Cannal 4");
if (c2!=0xffff4&& c2!=0xffff1&& c2!=0xffff2&& c2!=0xffff3)
    outtextxy(MaxX/2,MaxY/2,"Tx sent Clear");
outtextxy(MaxX/2,MaxY/2+20,"plese botton");
mouseon();
Esc_ok(150,80,150,80,1);
put1();

```

```

setregion(x3-1,y3-1,x4+1,y4+1);
mousegoto(MaxX/2,MaxY/2);
mouseon();
ans = 0;  c ='o';  /*  printf(" o = %c",c);*/
}
}
}

```

```

ans = 0;mouseoff();

```

```

}

```

```

chan_set_text(int color1)

```

```

{

```

```

changetextstyle(DEFAULT_FONT,HORIZ_DIR,1);

```

```

setttextjustify(CENTER_TEXT, TOP_TEXT);

```

```

setcolor(color1);

```

```

}

```

```

help1()

```

```

{

```

```

chan_set_text(RED);

```

```

outtextxy(MaxX/2,MaxY/2-150,"Main Menu");

```

```

outtextxy(MaxX/2,MaxY/2+5,"Tx & Rx Menu");

```

```

outtextxy(MaxX/2,MaxY/2+139,"Key <Enter> = Ok      ");

```

```

outtextxy(MaxX/2,MaxY/2+124,"Key <Esc> = Cannel,exit");

```

```

chan_set_text(BLACK);

```

```

outtextxy(MaxX/2,MaxY/2-130,"Key <E,e> = Exit      ");

```

```

outtextxy(MaxX/2,MaxY/2-110,"Key <A,a> = About Menu");

```

เอกสารนี้เป็นเอกสารลิขสิทธิ์ของมหาวิทยาลัยเทคโนโลยีพระจอมเกล้าเจ้าคุณทหารลาดกระบัง
 ไม่ว่าจะกรณีใดๆ ทั้งสิ้น อีกทั้งห้ามมิให้ตัดแปลงเนื้อหา และต้องอ้างอิงถึงเจ้าของเอกสารทุกครั้งที่มีการนำไปใช้

```

outtextxy(MaxX/2,MaxY/2-70, "Key <T,t> = Tx Menu ");
outtextxy(MaxX/2,MaxY/2-50, "Key <R,r> = Rx Menu ");
outtextxy(MaxX/2,MaxY/2-30, "Key <H,h> = Help Menu ");
outtextxy(MaxX/2,MaxY/2-10, "Key <D,d> = Read Menu ");
outtextxy(MaxX/2,MaxY/2+25, "Key <1> = Channel 1 ");
outtextxy(MaxX/2,MaxY/2+45, "Key <2> = Channel 2 ");
outtextxy(MaxX/2,MaxY/2+65, "Key <3> = Channel 3 ");
outtextxy(MaxX/2,MaxY/2+85, "Key <4> = Channel 4 ");
outtextxy(MaxX/2,MaxY/2+105,"Key <O,o> = Ok ");
}

about1()
{
chan_set_text(BLACK);
outtextxy(MaxX/2,MaxY/2-80,"*1 PROGRAMER BY I*");
outtextxy(MaxX/2,MaxY/2-40,"THEERADECH JUN-ADUNG");
outtextxy(MaxX/2,MaxY/2-20,"SINGHA BAMRUNGJIT");
outtextxy(MaxX/2,MaxY/2, "ATCHARAPORN DEEYING");
outtextxy(MaxX/2,MaxY/2+20,"*****");
outtextxy(MaxX/2,MaxY/2+40,"ROOM N");
outtextxy(MaxX/2,MaxY/2+80,"DEPARTMENT OF
INDUSTRIAL TECHNOLOGY");
outtextxy(MaxX/2,MaxY/2+100,"FACULTY OF ENGINEERING");
}

```

เอกสารนี้เป็นเอกสารที่สงวนไว้สำหรับการใช้งานเพื่อการศึกษาเท่านั้น ไม่อนุญาตให้นำไปใช้ประโยชน์ด้านการค้า
ไม่ว่ากรณีใดๆ ทั้งสิ้น อีกทั้งห้ามมิให้ดัดแปลงเนื้อหา และต้องอ้างอิงถึงเจ้าของเอกสารทุกครั้งที่มีการนำไปใช้

```

/* Klick */
/*      */
int klick(int x3,int y3,int x4,int y4,int color1,int color2,int thick)
{
mouseoff();
setcolor(color1);
setlinestyle(0,0,thick);
line(x3,y3,x3,y4);
line(x3,y3,x4,y3);
setcolor(color2);
setlinestyle(0,0,thick);
line(x4,y3,x4,y4);
line(x3,y4,x4,y4);
mouseon();
}

/* BOXCOLOR : show color bar */
/*      */
int BoxColor(int x1,int y1,int x2,int y2,int color)
{
setfillstyle(1,color);
bar(x1,y1,x2,y2);
klick(x1,y1,x2,y2,WHITE,BLACK,1);
getcolor();
}

```

เอกสารนี้เป็นเอกสารที่สงวนไว้สำหรับการใช้งานเพื่อการศึกษาเท่านั้น ไม่อนุญาตให้นำไปใช้ประโยชน์ด้านการค้า
ไม่ว่ากรณีใดๆ ทั้งสิ้น อีกทั้งห้ามมิให้ดัดแปลงเนื้อหา และต้องอ้างอิงถึงเจ้าของเอกสารทุกครั้งที่มีการนำไปใช้

```
int port1(int val1,int val2) /* out 8255 number 1 (303) mode 0*/
```

```
{  
    outportb(Po1,0x82);  
    outportb(Pa1,val1);  
    printf(" out %.2X ",val1);  
    outportb(Pa1,val2);  
    printf(" out %.2X ",val2);  
}
```

```
int port2(int val1,int val2) /* out 8255 number 2 (307) mode 0*/
```

```
{  
    outportb(Po2,0x82);  
    outportb(Pa2,val1);  
    printf(" out %.2x ",val1);  
    outportb(Pa2,val2);  
    printf(" out %.2X ",val2);  
}
```

```
/*  MOUSE_INITIALIZE : initializes mouse system and return value  */
```

```
/*  initialize  */
```

```
mouse_initialize()
```

```
{  
    union REGS regs;  
    regs.x.ax=0;  
    int86(0x33,&regs,&regs);  
    return regs.x.ax;  
}
```

เอกสารนี้เป็นเอกสารที่สงวนไว้สำหรับการใช้งานเพื่อการศึกษาเท่านั้น ไม่อนุญาตให้นำไปใช้ประโยชน์ด้านการค้า
ไม่ว่ากรณีใดๆ ทั้งสิ้น อีกทั้งห้ามมิให้ดัดแปลงเนื้อหา และต้องอ้างอิงถึงเจ้าของเอกสารทุกครั้งที่มีการนำไปใช้

```

/*    MOUSEON : show mouse cursor    */
/*                                     */
mouseon()
{
    union REGS regs;
    regs.x.ax=1;
    int86(0x33,&regs,&regs);
}

mouseon_on(int x3,int y3,int x4,int y4)
{
    setregion(x3-1,y3-1,x4+1,y4+1);
    mousegoto(MaxX/2,MaxY/2);
    mouseon();
}

/*    MOUSEOFF : not show mouse cursor    */
/*                                     */
mouseoff()
{
    union REGS regs;
    regs.x.ax=2;
    int86(0x33,&regs,&regs);
}

```

เอกสารนี้เป็นเอกสารที่สงวนไว้สำหรับการใช้งานเพื่อการศึกษาเท่านั้น ไม่อนุญาตให้นำไปใช้ประโยชน์ด้านการค้า
ไม่ว่ากรณีใดๆ ทั้งสิ้น อีกทั้งห้ามมิให้ดัดแปลงเนื้อหา และต้องอ้างอิงถึงเจ้าของเอกสารทุกครั้งที่มีการนำไปใช้

```

/*  MOUSEGOTO : move mouse cursor to row,column */
/*
mousegoto(int row,int column)
{
    union REGS regs;
    regs.x.ax=4;
    regs.x.cx=row;
    regs.x.dx=column;
    int86(0x33,&regs,&regs);
}

/*  GETMOUSE : get address mouse giving address xx,yy */
/*
int getmouse1(void)
{
    union REGS r;
    int click,x,y;
    r.x.ax = 3;
    int86(0x33,&r,&r);
    click = r.x.bx;
    x = r.x.cx;
    y = r.x.dx;
    a[0] = x;
    a[1] = y;
    return(click);
}

```

เอกสารนี้เป็นเอกสารที่สงวนไว้สำหรับการใช้งานเพื่อการศึกษาเท่านั้น ไม่อนุญาตให้นำไปใช้ประโยชน์ด้านการค้า
ไม่ว่ากรณีใดๆ ทั้งสิ้น อีกทั้งห้ามมิให้ดัดแปลงเนื้อหา และต้องอ้างอิงถึงเจ้าของเอกสารทุกครั้งที่มีการนำไปใช้

```

/* SETREGION : get address show mouse in viewer */
/* */
void setregion(int x1,int y1,int x2,int y2)
{
    _CX=x1;
    _DX=x2;
    _AX=0x07;
    geninterrupt(0x33);
    _CX=y1;
    _DX=y2;
    _AX=0x08;
    geninterrupt(0x33);
}

/* circle chioce tx,rx */
void setpi(int x1,int y1,int color)
{
    setfillstyle(1,color);
    setcolor(color);
    pieslice(x1,y1,0,360,6);
}

```

เอกสารนี้เป็นเอกสารที่สงวนไว้สำหรับการใช้งานเพื่อการศึกษาเท่านั้น ไม่อนุญาตให้นำไปใช้ประโยชน์ด้านการค้า
ไม่ว่ากรณีใดๆ ทั้งสิ้น อีกทั้งห้ามมิให้ดัดแปลงเนื้อหา และต้องอ้างอิงถึงเจ้าของเอกสารทุกครั้งที่มีการนำไปใช้

```

/* MAIN */

int
main(void)
{
    int x,y;

    Initialize();          /* Set system into Graphics mode */
    mouse_initialize();
    menu=SY;
    mousegoto(MaxX/2,MaxY/2);
    setregion(0,0,MaxX,MaxY);
    mouseon();
    BodyMenu();
    mouseoff();
    closegraph();
}

```

เอกสารนี้เป็นเอกสารที่สงวนไว้สำหรับการใช้งานเพื่อการศึกษาเท่านั้น ไม่อนุญาตให้นำไปใช้ประโยชน์ด้านการค้า
ไม่ว่ากรณีใดๆ ทั้งสิ้น อีกทั้งห้ามมิให้ดัดแปลงเนื้อหา และต้องอ้างอิงถึงเจ้าของเอกสารทุกครั้งที่มีการนำไปใช้

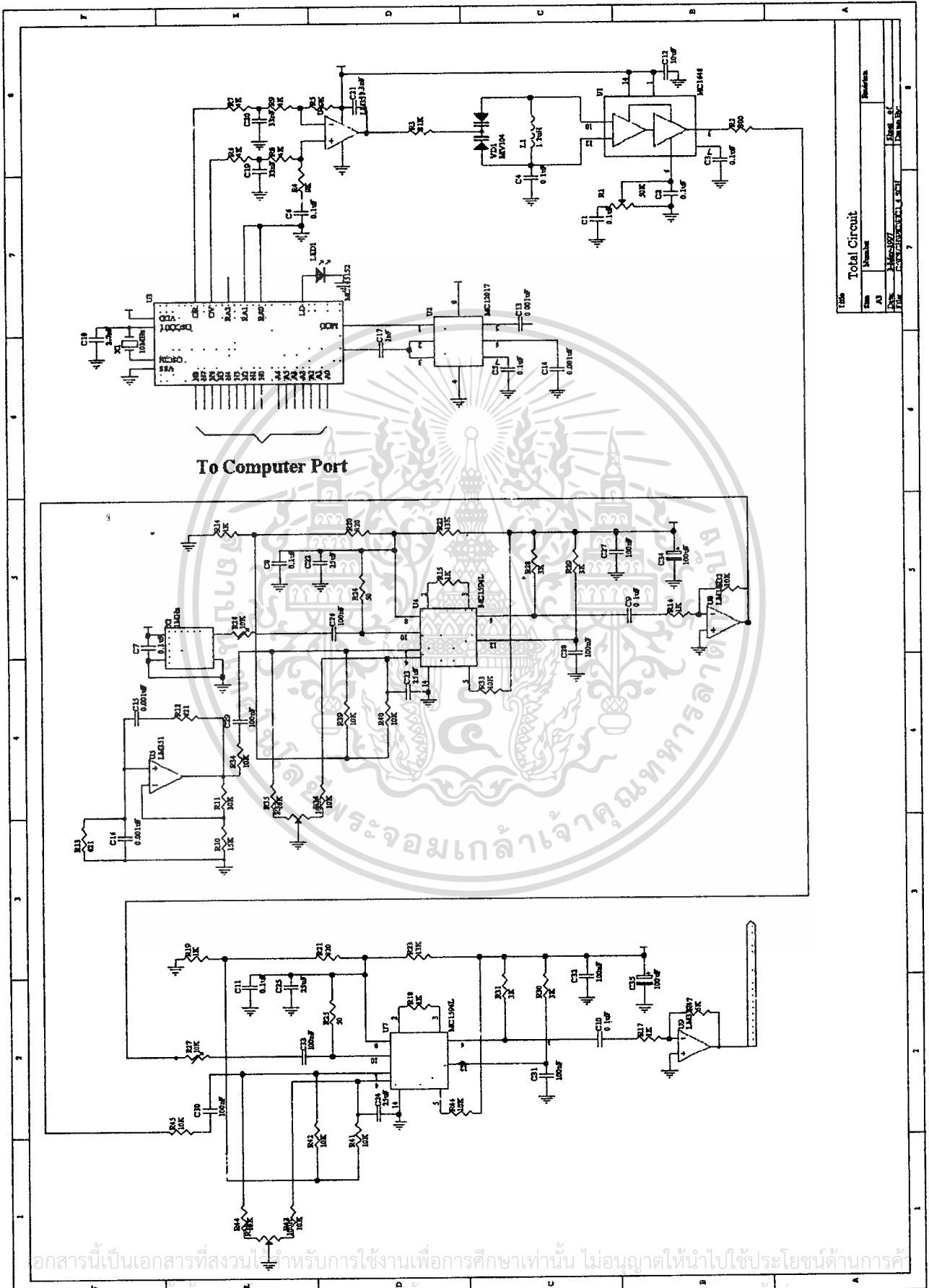
การใช้งานโปรแกรม

ต่ออุปกรณ์ Hardware ภายนอกให้เรียบร้อยพร้อมจะใช้งาน โดยต่อการ์ดอินเทอร์เฟซ 8255 กับคอมพิวเตอร์ และต่อคอนเนคเตอร์ไปยังเครื่องสังเคราะห์ความถี่ เช็จุดต่อให้เรียบร้อย แล้วเปิดเครื่องสังเคราะห์ความถี่และเครื่องคอมพิวเตอร์เพื่อ RUN โปรแกรม เพื่อเลือกช่องความถี่ซึ่งจะมี Menu ให้เลือกเป็นปุ่มคำสั่งต่างๆ โดยจะใช้งานได้ทั้ง Keyboard และ Mouse ในการเลือกคำสั่งการทำงานของโปรแกรม ในครั้งแรกที่เปิดเครื่องต้องทำการเลือกช่องความถี่ที่จะใช้งานทางด้านส่งซึ่งมีไว้ up ความถี่ที่จะใช้งานเสียก่อน โดยเลื่อนเมาส์ไปกดที่ปุ่ม Tx หรือกดปุ่ม T,r ก็ได้ จะมีเมนูให้เลือกช่องใช้งานซึ่งในที่นี้ได้ออกแบบไว้เพียง 4 ช่องเท่านั้น ซึ่งโปรแกรมจะอ่านข้อมูลจาก Hardware มาก่อนว่าใช้งานช่องไหนอยู่ ถ้าพบว่าข้อมูลที่อ่านเข้ามาตรงกับช่องใดช่องหนึ่งก็จะแสดงผลให้ดูว่าใช้งานช่องไหนอยู่ ถ้าไม่ตรงเลยก็จะต้องเลือกช่องใดช่องหนึ่งก่อนออกจากเมนูนี้ ไม่งั้นมันจะกลับสู่เมนูหลักไม่ได้ ซึ่งในการเลือกหรือเปลี่ยนช่องก็ทำได้โดยเลื่อนเมาส์ไปกดยังช่องที่ต้องการ หรือกดปุ่ม 1,2,3 หรือ 4 ในการเลือกช่องก็ได้ แล้วกด O,o หรือเลื่อนเมาส์ไปกดปุ่ม OK เพื่อส่งข้อมูลที่ได้เลือกไว้และกลับสู่เมนูหลักเพื่อจะทำคำสั่งอื่นต่อไป และผลจากการเลือกช่องจะแสดงผลให้ดูที่เมนูหลักด้วย โดยข้อมูลที่ได้เลือกไว้แล้วจะยังคงที่ตลอดเวลาแม้จะออกจากโปรแกรมนี้ออกไปใช้งานโปรแกรมอื่นแล้วก็ตามข้อมูลที่เลือกจะยังคงเดิมอยู่ถ้าโปรแกรมที่ใช้ไม่ไปยุ่งเกี่ยวกับการ์ดอินเทอร์เฟซ 8255 เพราะ 8255 จะยังคง Latch ข้อมูลเดิมที่ส่งไปแล้วจนกระทั่งปิดเครื่องคอมพิวเตอร์ หรือส่งคอนโทรลพอร์ต ข้อมูลไปใหม่หรือส่งข้อมูลไปใหม่ทับข้อมูลเดิม

ในเมนูหลักยังจะมี Rx เมนูที่ออกแบบเพื่อไว้สำหรับภาครับสำหรับ down ความถี่กลับมาคงเดิม ซึ่ง Rx เมนูมีไว้เลื่อนช่องความถี่เช่นเดียวกลับ Tx แต่เป็นคนละความถี่กับ Tx ซึ่งในการใช้งานและหลักการทำงานก็ใช้หลักการเดียวกับ Tx เมนู ทุกอย่าง โดยจะเข้าสู่ Rx เมนูได้ก็ต้องเลื่อนเมาส์ไปยังปุ่ม Rx หรือกดปุ่ม R,r ก็ได้ ข้อมูลที่เลือกไว้จะส่งไปอีกหมายเลขพอร์ตที่ไม่ซ้ำกับหมายเลขเดิมของ Tx

Read เมนู เลือกได้โดยเลื่อนเมาส์ไปกดยังปุ่ม Read หรือกดปุ่ม R,r ก็ได้ การทำงานจะทำการอ่านข้อมูลจากพอร์ตทั้งด้านส่งและด้านรับเข้ามาแล้วเปรียบเทียบกับข้อมูลอ้างอิงเพื่อเช็คว่าคุณณนี้ข้อมูลทางด้านส่งและรับถูกใช้งานที่ช่องใด ถ้าตรวจสอบแล้วตรงกับช่องใดช่องนั้นก็แสดงผลให้เห็นผ่านทาง Read เมนู ถ้าไม่ตรงกับช่องใดเลยจะบอกว่า data error ถ้าจะไม่ให้ error ก็เข้าไปสู่ Tx และ Rx เพื่อเลือกช่องที่ต้องการ

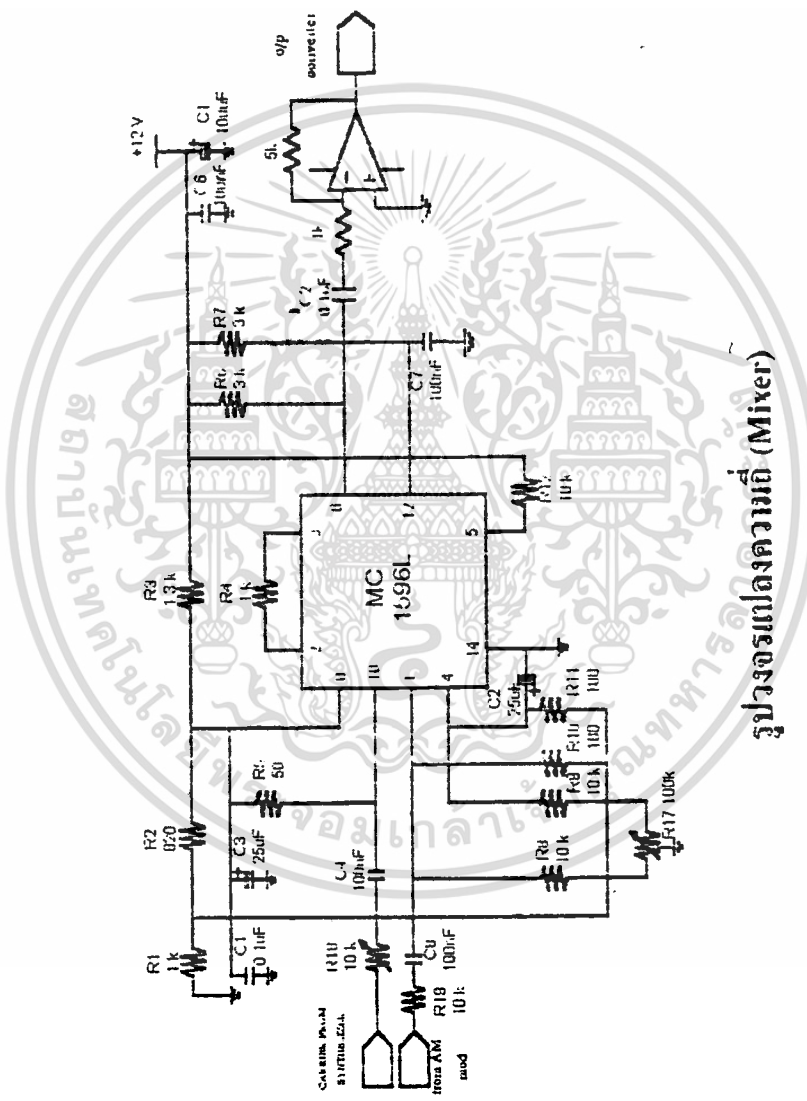
ในเมนูหลักยังมีปุ่ม Clear, About, Help และ Exit ซึ่ง การจะเลือกใช้งานก็ต้องเลื่อนเมาส์ไปกดยังปุ่มที่ต้องการ หรือกดปุ่มตามต้องการ ซึ่งปุ่มใช้งานต่างๆจะแสดงอยู่ที่ Help เมนู ส่วนปุ่ม About จะแสดงถึงรายชื่อผู้เขียนโปรแกรม ส่วนปุ่ม Clear จะ clear หน้าจอส่วนที่แสดงผลว่าคุณณนี้ Tx และ Rx ทำงานที่ช่องใดบ้าง ส่วนปุ่ม Exit ไว้สำหรับออกจากโปรแกรมโดยจะมีเมนูให้ตัดสินใจให้เลือกอีกครั้งว่าพร้อมที่จะออกจากโปรแกรมหรือยัง ถ้าไม่พร้อมก็จะเลือกกลับมาเมนูหลักอีกครั้ง ถ้าจะออกก็เลื่อนเมาส์ไปที่ปุ่ม OK หรือ กด O,o ก็ได้ เป็นการสิ้นสุดการทำงานของโปรแกรม



To Computer Port

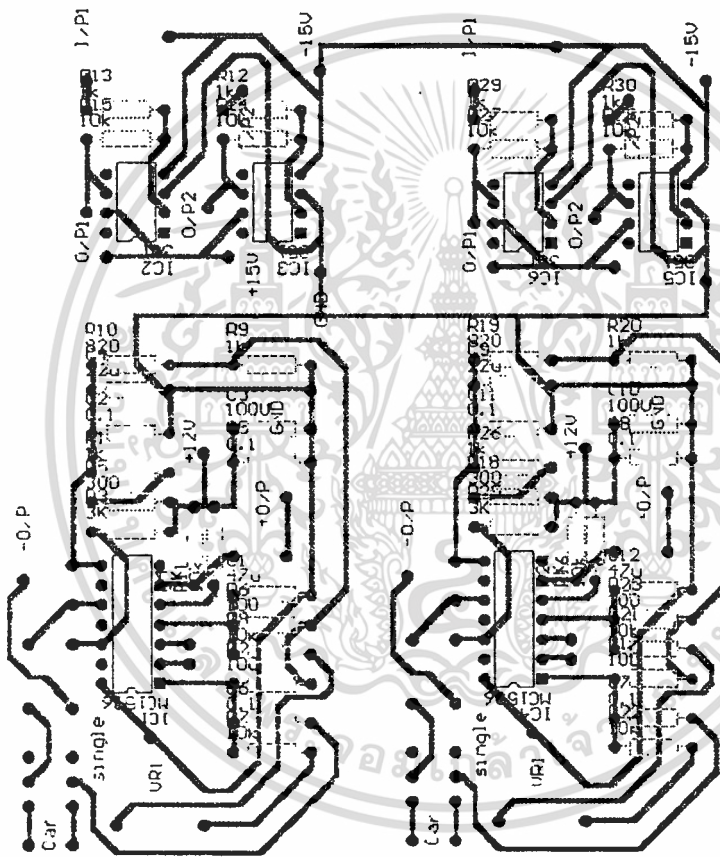
Total Circuit	
Time	7
Sheet	7
Revision	
Drawn by	
Checked by	
Approved by	

เอกสารนี้เป็นเอกสารที่สงวนไว้สำหรับการใช้งานเพื่อการศึกษาเท่านั้น ไม่อนุญาตให้นำไปใช้ประโยชน์ด้านการค้า
 ไม้มีการแก้ไข ฟังสั่น อีกทั้งห้ามมิให้ตัดแปลงเนื้อหา และต้องอ้างอิงถึงเจ้าของเอกสารทุกครั้งที่มีการนำไปใช้



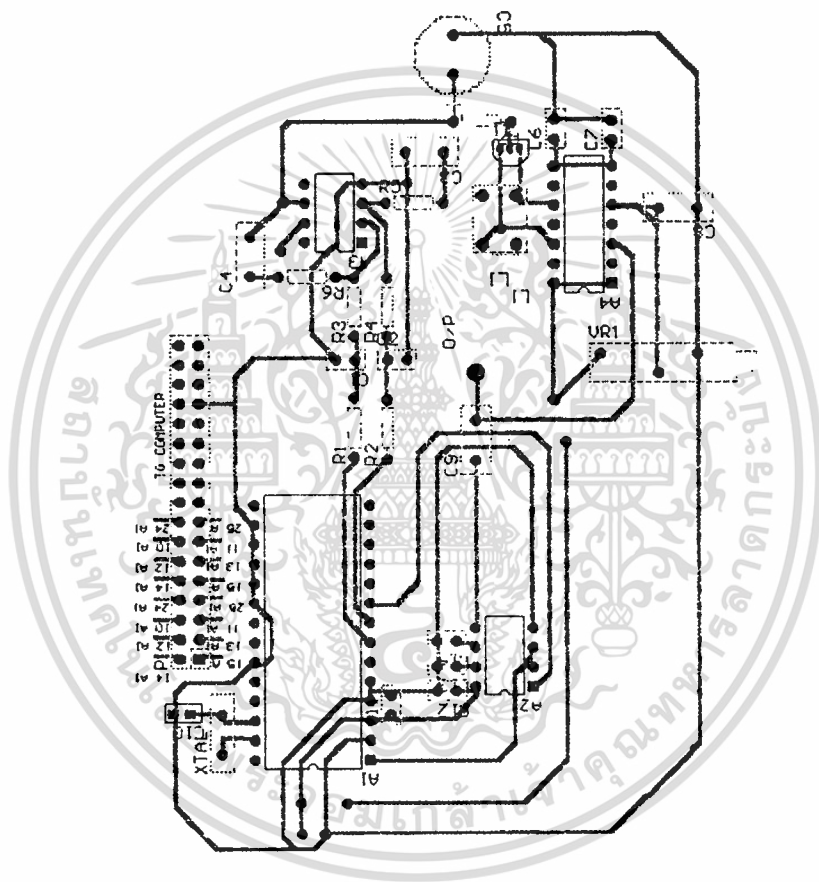
รูปวงจรแปลงความถี่ (Mixer)

เอกสารนี้เป็นเอกสารที่สงวนไว้สำหรับการใช้งานเพื่อการศึกษาเท่านั้น ไม่อนุญาตให้นำไปใช้ประโยชน์ด้านการค้า
 ไม่ว่ากรณีใดๆ ทั้งสิ้น อีกทั้งห้ามมิให้ดัดแปลงเนื้อหา และต้องอ้างอิงถึงเจ้าของเอกสารทุกครั้งที่มีการนำไปใช้



ลายทองแดงวงจรแปลงความถี่ (Mixer)

เอกสารนี้เป็นเอกสารที่สงวนไว้สำหรับการใช้งานเพื่อการศึกษาเท่านั้น ไม่อนุญาตให้นำไปใช้ประโยชน์ด้านการค้า
ไม่ว่ากรณีใดๆ ทั้งสิ้น อีกทั้งห้ามมิให้ตัดแปลงเนื้อหา และต้องอ้างอิงถึงเจ้าของเอกสารทุกครั้งที่มีการนำไปใช้



ลายทองแดงวงจร Synthesizer

เอกสารนี้เป็นเอกสารที่สงวนไว้สำหรับการใช้งานเพื่อการศึกษาเท่านั้น ไม่อนุญาตให้นำไปใช้ประโยชน์ด้านการค้า
ไม่ว่ากรณีใดๆ ทั้งสิ้น อีกทั้งห้ามมิให้ตัดแปลงเนื้อหา และต้องอ้างอิงถึงเจ้าของเอกสารทุกครั้งที่มีการนำไปใช้

MC145152-2

Parallel-Input PLL Frequency Synthesizer

Interfaces with Dual-Modulus Prescalers

The MC145152-2 is programmed by sixteen parallel inputs for the N and A counters and three input lines for the R counter. The device features consist of a reference oscillator, selectable-reference divider, two-output phase detector, 10-bit programmable divide-by-N counter, and 6-bit programmable \pm A counter.

The MC145152-2 is an improved-performance drop-in replacement for the MC145152-1. Power consumption has decreased and ESD and latch-up performance have improved.

- Low Power Consumption Through Use of CMOS Technology
- 3.0 to 9.0 V Supply Range
- On or Off-Chip Reference Oscillator Operation
- Lock Detect Signal
- Dual Modulus/Parallel Programming
- 3 User-Selectable \pm R Values: 8, 64, 128, 256, 512, 1024, 1160, 2048
- \pm N Range \pm 3 to 1023, \pm A Range \pm 0 to 63
- Chip Complexity 8000 FETs or 2000 Equivalent Gates



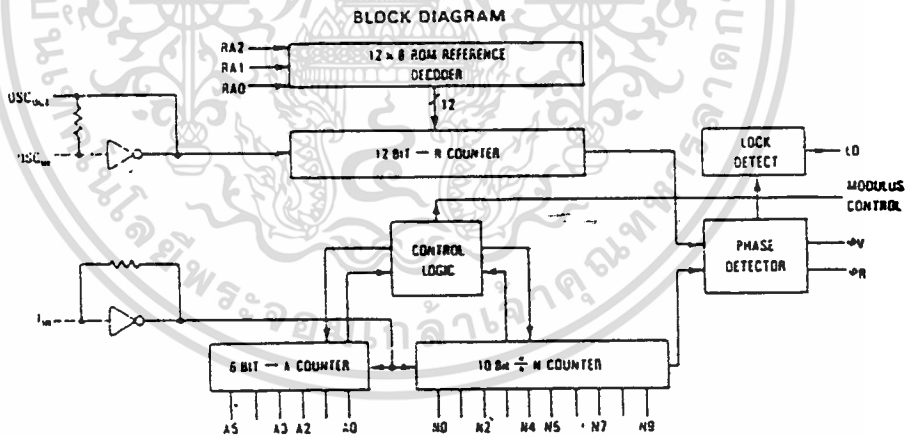
P SUFFIX
 PLASTIC
 CASE 710



FN SUFFIX
 PLCC
 CASE 778

ORDERING INFORMATION

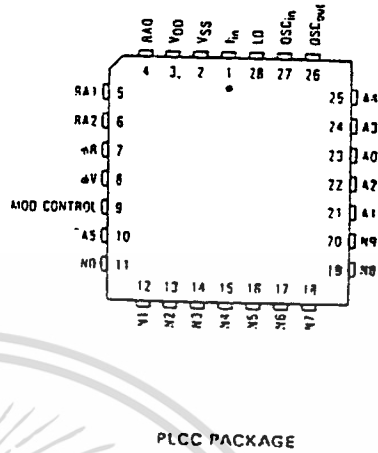
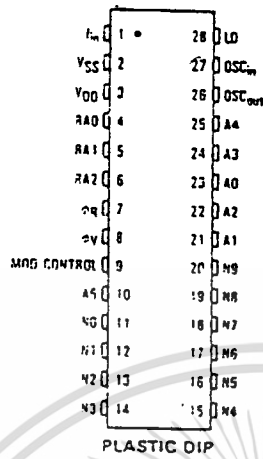
MC145152P2	Plastic DIP
MC145152FN2	PLCC Package



NOTE. N0 through N9, A0 through A5, and RA0 through RA2 have pullup resistors not shown.

เอกสารนี้เป็นเอกสารที่สงวนไว้สำหรับการใช้งานเพื่อการศึกษาเท่านั้น ไม่อนุญาตให้นำไปใช้ประโยชน์ด้านการค้า
 ไม่ว่าจะกรณีใดๆ ทั้งสิ้น อีกทั้งห้ามมิให้ตัดแปลงเนื้อหา และต้องอ้างอิงถึงเจ้าของเอกสารทุกครั้งที่มีการนำไปใช้

PIN ASSIGNMENTS



5

PIN DESCRIPTIONS

INPUTS

f_{in} — Frequency Input

Input to the positive edge triggered + N and + A counters. f_{in} is typically derived from a dual-modulus prescaler and is ac coupled into the device. For larger amplitude signals (standard CMOS logic levels) dc coupling may be used.

RA0, RA1, RA2 — Reference Address Inputs

These three inputs establish a code defining one of eight possible divide values for the total reference divider. The total reference divide values are as follows:

Reference Address Code			Total Divide Value
RA2	RA1	RA0	
0	0	0	8
0	0	1	64
0	1	0	128
0	1	1	256
1	0	0	512
1	0	1	1024
1	1	0	1150
1	1	1	2048

N Inputs — N Counter Programming Inputs

The N inputs provide the data that is preset into the - N counter when it reaches the count of zero. N0 is least significant digit and N9 is most significant. Pullup resistors ensure that inputs left open remain at a logic one and require only a SPST switch to alter data to the zero state.

A Inputs — A Counter Programming Inputs

The A inputs define the number of clock cycles of f_{in} that require a logic zero on the modulus control output. (See Dual-

Modulus Prescaling section.) The A inputs all have external pullup resistors that ensure that inputs left open will remain at a logic one.

OSC_{in}, OSC_{out} — Reference Oscillator Input/Output

These pins form an on-chip reference oscillator when connected to terminals of an external parallel resonant crystal. Frequency setting capacitors of appropriate value must be connected from OSC_{in} to ground and OSC_{out} to ground. OSC_{in} may also serve as input for an externally generated reference signal. This signal is typically ac coupled to OSC_{in}, but for larger amplitude signals (standard CMOS logic levels) dc coupling may also be used. In the external reference mode, no connection is required to OSC_{out}.

OUTPUTS

phi_R, phi_V — Phase Detector Outputs

These phase detector outputs can be combined externally for a loop error signal.

If the frequency f_v is greater than f_R or if the phase of f_v is leading, then error information is provided by phi_V pulsing low. phi_R remains essentially high.

If the frequency f_v is less than f_R or if the phase of f_v is lagging, then error information is provided by phi_R pulsing low. phi_V remains essentially high.

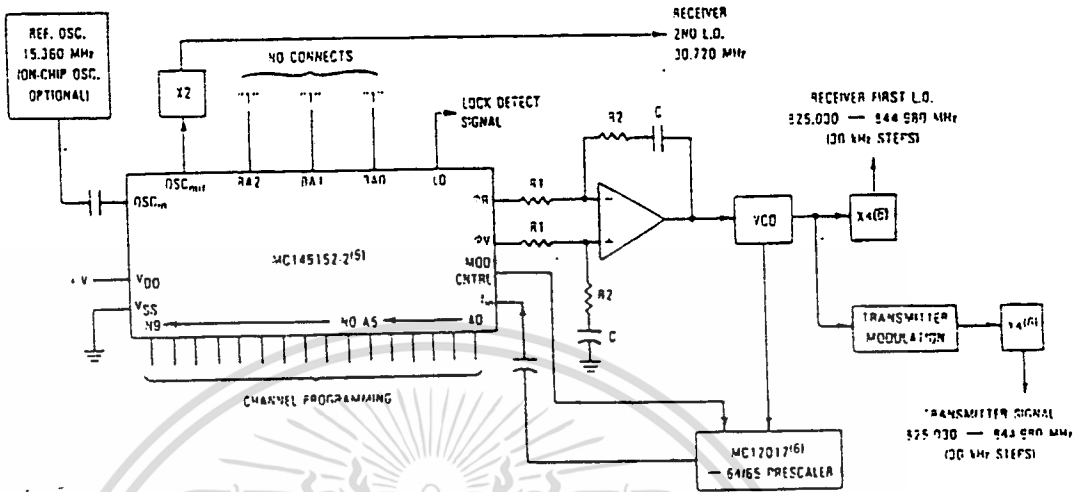
If the frequency of f_v = f_R and both are in phase, then both phi_V and phi_R remain high except for a small minimum time period when both pulse low in phase.

Modulus Control — Dual-Modulus Prescale Control Output

Signal generated by the on-chip control logic circuitry for controlling an external dual-modulus prescaler. The modulus control level will be low at the beginning of a count cycle and will remain low until the - A counter has counted down from its programmed value. At this time, modulus control goes high.

เอกสารนี้เป็นเอกสารที่สงวนไว้สำหรับการใช้งานเพื่อการศึกษาเท่านั้น ไม่อนุญาตให้นำไปใช้ประโยชน์ด้านการค้า
ไม่ว่ากรณีใดๆ ทั้งสิ้น อีกทั้งห้ามมิให้ดัดแปลงเนื้อหา และต้องอ้างอิงถึงเจ้าของเอกสารทุกครั้งที่มีการนำไปใช้

MC145152-2



NOTES:

1. Receiver 1st. I.F. = 45 MHz, low side injection. Receiver 2nd. I.F. = 11.7 MHz, low side injection.
2. Duplex operation with 45 MHz receiver/transmitter separation.
3. $f_d = 7.5 \text{ kHz}$, $R = 2048$.
4. $N_{\text{total}} = N \cdot 64 \pm A = 27501 \text{ to } 28166$; $N = 420 \text{ to } 440$; $A = 0 \text{ to } 63$.
5. MC145152-2 may be used where serial data entry is desired.
6. High frequency prescalers — e.g., MC12018 (520 MHz) and MC12022 (1.1 GHz) — may be used for higher frequency VCO and 1st. LO implementations.

666-Channel, Computer-Controlled, Mobile Radiotelephone Synthesizer for 800 MHz Cellular Radio Systems

เอกสารนี้เป็นเอกสารที่สงวนไว้สำหรับการใช้งานเพื่อการศึกษาเท่านั้น ไม่อนุญาตให้นำไปใช้ประโยชน์ด้านการค้า
ไม่ว่ากรณีใดๆ ทั้งสิ้น อีกทั้งห้ามมิให้ดัดแปลงเนื้อหา และต้องอ้างอิงถึงเจ้าของเอกสารทุกครั้งที่มีการนำไปใช้



MC1648

VOLTAGE-CONTROLLED OSCILLATOR

VOLTAGE-CONTROLLED OSCILLATOR

The MC1648 requires an external parallel tank circuit consisting of the inductor (L) and capacitor (C).

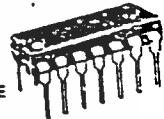
A varactor diode may be incorporated into the tank circuit to provide a voltage variable input for the oscillator (VCO). The MC1648 was designed for use in the Motorola Phase-Locked Loop shown in Figure 9. This device may also be used in many other applications requiring a fixed or variable frequency clock source of high spectral purity. (See Figure 2.)

The MC1648 may be operated from a +5.0 Vdc supply or a -5.2 Vdc supply, depending upon system requirements.

Supply Voltage	Gnd Pins	Supply Pins
+5.0 Vdc	7, 8	1, 14
-5.2 Vdc	1, 14	7, 8

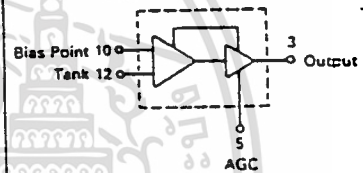


L SUFFIX
CERAMIC PACKAGE
CASE 632



P SUFFIX
PLASTIC PACKAGE
CASE 646

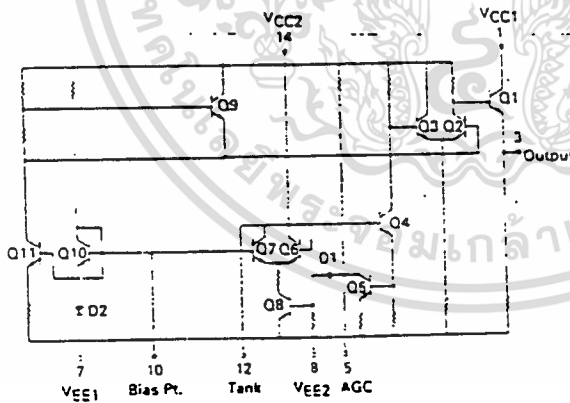
LOGIC DIAGRAM



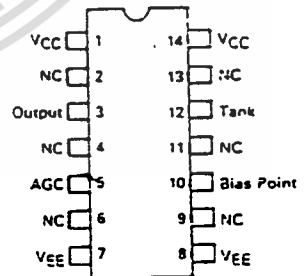
Input Capacitance = 4.0 pF typ
Maximum Series Resistance for L (External Inductance) = 50 Ω typ
Power Dissipation = 150 mW typ/plg (-5.0 Vdc Supply)
Maximum Output Frequency = 225 MHz typ

VCC1 = Pin 1
VCC2 = Pin 14
VEE = Pin 7

FIGURE 1 — CIRCUIT SCHEMATIC



PIN ASSIGNMENT



เอกสารนี้เป็นเอกสารที่สงวนไว้สำหรับการใช้งานเพื่อการศึกษาเท่านั้น ไม่อนุญาตให้นำไปใช้ประโยชน์ด้านการค้า
ไม่ว่ากรณีใดๆ ทั้งสิ้น อีกทั้งห้ามมิให้ดัดแปลงเนื้อหา และต้องอ้างอิงถึงเจ้าของเอกสารทุกครั้งที่มีการนำไปใช้

MC1648

TEST VOLTAGE/CURRENT VALUES				
@ Test Temperature	(Volts)			mAdc
	V _{IHmax}	V _{ILmin}	V _{CC}	I _L
MC1648				
-30°C	-2.0	-1.5	5.0	-5.0
-25°C	-1.85	-1.35	5.0	-5.0
-85°C	-1.7	-1.2	5.0	-5.0

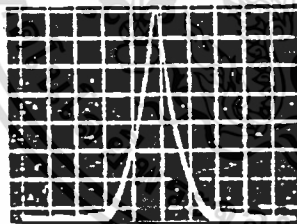
ELECTRICAL CHARACTERISTICS

Supply Voltage = +5.0 Volts

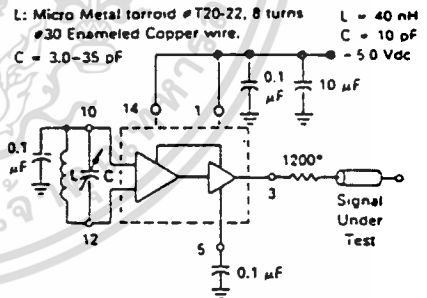
Characteristic	Symbol	-30°C		-25°C		+85°C		Unit	Conditions
		Min	Max	Min	Max	Min	Max		
Power Supply Drain Current	I _E	—	—	—	41	—	—	mAdc	Inputs and outputs open
Logic "1" Output Voltage	V _{OH}	3.955	4.185	4.04	4.25	4.11	4.36	Vdc	V _{ILmin} to Pin 12, I _L @ Pin 3.
Logic "0" Output Voltage	V _{OL}	3.16	3.4	3.2	3.43	3.22	3.475	Vdc	V _{IHmax} to Pin 12, I _L @ Pin 3.
Bias Voltage	V _{Bias} *	1.6	1.9	1.45	1.75	1.3	1.6	Vdc	V _{ILmin} to Pin 12.
Peak-to-Peak Tank Voltage	V _{p.p}	—	—	—	400	—	—	mV	
Output Duty Cycle	V _{dc}	—	—	—	50	—	—	%	See Figure 3.
Oscillation Frequency	f _{max} **	—	225	—	200	225	—	MHz	

*This measurement guarantees the dc potential at the bias point for purposes of incorporating a varactor tuning diode at this point.
 **Frequency variation over temperature is a direct function of the ΔC/Δ Temperature and ΔL/Δ Temperature.

FIGURE 2 — SPECTRAL PURITY OF SIGNAL OUTPUT FOR 200 MHz TESTING



B.W. = 10 kHz
 Center Frequency = 100 MHz
 Scan Width = 50 kHz/div
 Vertical Scale = 10 dB/div



*The 1200 ohm resistor and the scope termination impedance constitute a 25:1 attenuator probe. Coax shall be CT-070-50 or equivalent.

เอกสารนี้เป็นเอกสารที่สงวนไว้สำหรับการใช้งานเพื่อการศึกษาเท่านั้น ไม่อนุญาตให้นำไปใช้ประโยชน์ด้านการค้า
 ไม่ว่าจะกรณีใดๆ ทั้งสิ้น อีกทั้งห้ามมิให้ดัดแปลงเนื้อหา และต้องอ้างอิงถึงเจ้าของเอกสารทุกครั้งที่มีการนำไปใช้

MC1648

TEST VOLTAGE/CURRENT VALUES				
Test Temperature	(Volts)			(mA)
	V _{IHmax}	V _{ILmin}	V _{CC}	I _L
MC1648				
-30°C	-3.2	-3.7	-5.2	-5.0
-25°C	-3.35	-3.85	-5.2	-5.0
-85°C	-3.5	-4.0	-5.2	-5.0

ELECTRICAL CHARACTERISTICS
Supply Voltage = -5.0 Volts

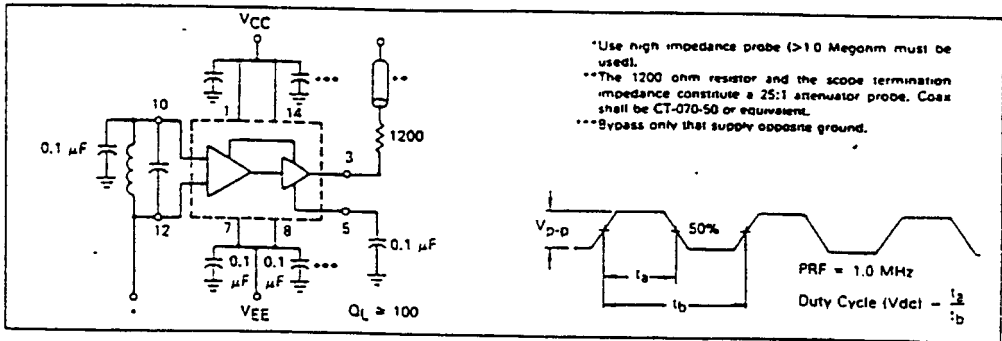
Characteristic	Symbol	-30°C		-25°C		+85°C		Unit	Conditions
		Min	Max	Min	Max	Min	Max		
Power Supply Drain Current	I _E	—	—	—	41	—	—	mA	Inputs and outputs open.
Logic "1" Output Voltage	V _{OH}	-1.045	-0.815	-0.95	-0.75	-0.89	-0.64	Vdc	V _{ILmin} to Pin 12, I _L to Pin 3.
Logic "0" Output Voltage	V _{OL}	-1.89	-1.65	-1.85	-1.62	-1.83	-1.575	Vdc	V _{IHmax} to Pin 12, I _L to Pin 3.
Bias Voltage	V _{Bias} *	-3.6	-3.3	-3.75	-3.45	-3.9	-3.6	Vdc	V _{ILmin} to Pin 12.
		Min	Typ	Max	Min	Typ	Max		
Peak-to-Peak Tank Voltage	V _{p-p}	—	—	—	400	—	—	mV	
Output Duty Cycle	V _{dc}	—	—	—	50	—	—	%	See Figure 3.
Oscillation Frequency	f _{max} **	—	225	—	200	225	—	225	MHz

*This measurement guarantees the dc potential at the bias point for purposes of incorporating a varactor tuning diode at this point.
**Frequency variation over temperature is a direct function of the ΔC/T Temperature and ΔL/T Temperature.

เอกสารนี้เป็นเอกสารที่สงวนไว้สำหรับการใช้งานเพื่อการศึกษาเท่านั้น ไม่อนุญาตให้นำไปใช้ประโยชน์ด้านการค้า
ไม่ว่ากรณีใดๆ ทั้งสิ้น อีกทั้งห้ามมิให้ดัดแปลงเนื้อหา และต้องอ้างอิงถึงเจ้าของเอกสารทุกครั้งที่มีการนำไปใช้

MC1648

FIGURE 3 — TEST CIRCUIT AND WAVEFORMS



OPERATING CHARACTERISTICS

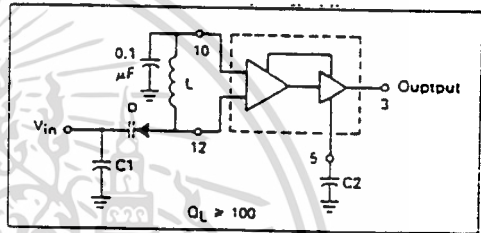
Figure 1 illustrates the circuit schematic for the MC1648. The oscillator incorporates positive feedback by coupling the base of transistor Q6 to the collector of Q7. An automatic gain control (AGC) is incorporated to limit the current through the emitter-coupled pair of transistors (Q7 and Q6) and allow optimum frequency response of the oscillator.

In order to maintain the high Q of the oscillator, and provide high spectral purity at the output, transistor Q4 is used to translate the oscillator signal to the output differential pair Q2 and Q3. Q2 and Q3, in conjunction with output transistor Q1, provides a highly buffered output which produces a square wave. Transistors Q9 and Q11 provide the bias drive for the oscillator and output buffer. Figure 2 indicates the high spectral purity of the oscillator output (pin 3).

When operating the oscillator in the voltage controlled mode (Figure 4), it should be noted that the cathode of the varactor diode (D) should be biased at least "2" VBE above VEE (=1.4 V for positive supply operation).

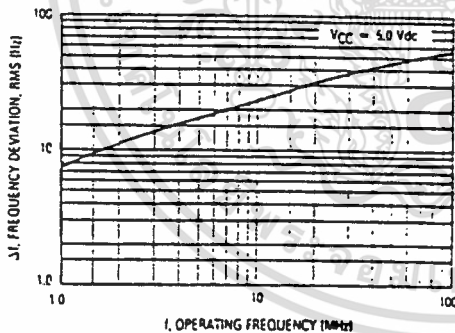
When the MC1648 is used with a constant dc voltage

FIGURE 4 — THE MC1648 OPERATING IN THE VOLTAGE CONTROLLED MODE



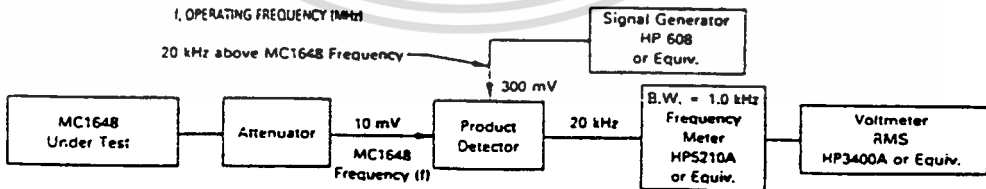
to the varactor diode, the output frequency will vary slightly because of internal noise. This variation is plotted versus operating frequency in Figure 5.

FIGURE 5 — NOISE DEVIATION TEST CIRCUIT AND WAVEFORM



Oscillator Tank Components (Circuit of Figure 4)

f MHz	D	L μH
1.0-10	MV2115	100
10-60	MV2116	2.3
60-100	MV2106	0.15



$$\text{Frequency Deviation} = \frac{(\text{HP5210A output voltage}) (\text{Full Scale Frequency})}{1.0 \text{ Volt}}$$

NOTE. Any frequency deviation caused by the signal generator and MC1648 power supply should be determined and minimized prior to testing.

MC1648

TRANSFER CHARACTERISTICS IN THE VOLTAGE CONTROLLED MODE
USING EXTERNAL VARACTOR DIODE AND COIL. $T_A = 25^\circ\text{C}$

FIGURE 6

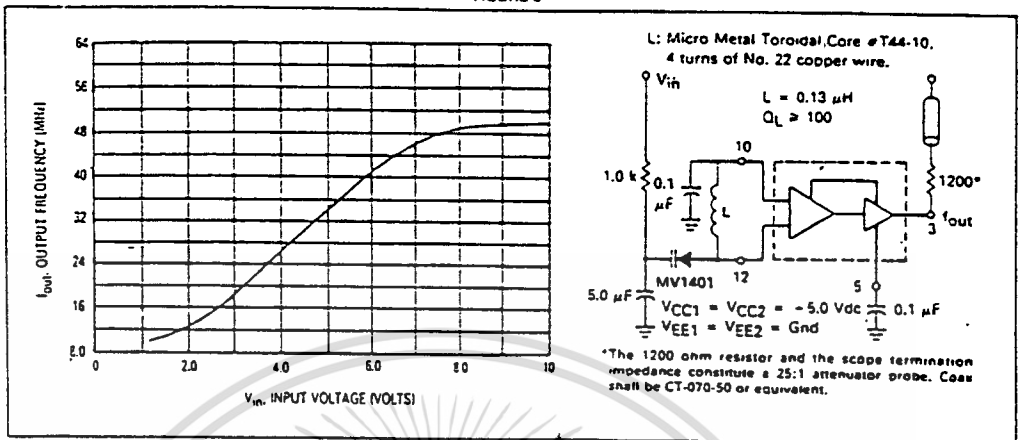


FIGURE 7

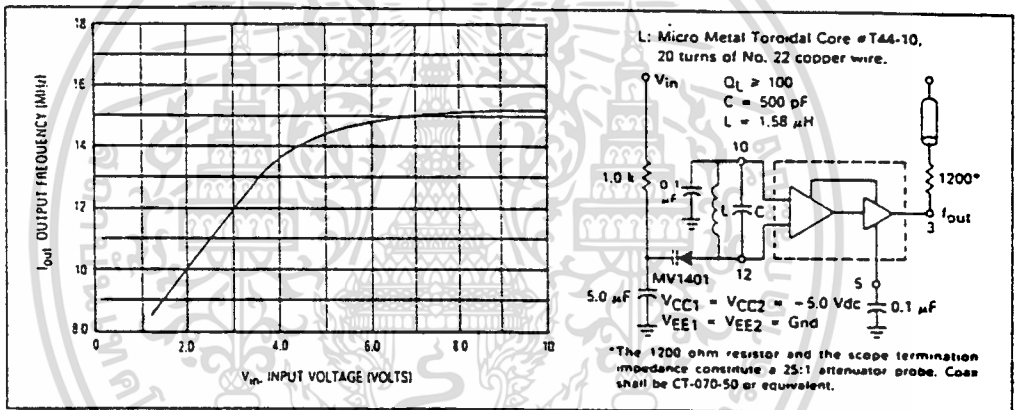
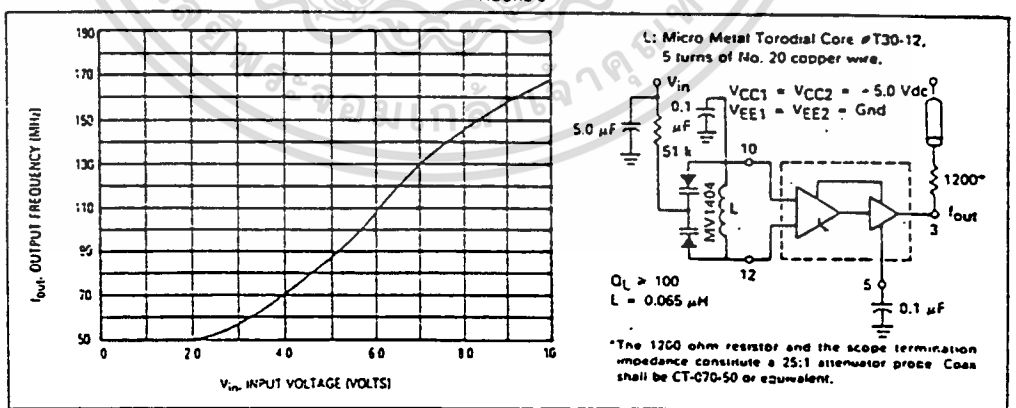


FIGURE 8



เอกสารนี้เป็นเอกสารที่สงวนไว้สำหรับการใช้งานเพื่อการศึกษาเท่านั้น ไม่อนุญาตให้นำไปใช้ประโยชน์ด้านการค้า
ไม่ว่ากรณีใดๆ ทั้งสิ้น อีกทั้งห้ามมิให้ดัดแปลงเนื้อหา และต้องอ้างอิงถึงเจ้าของเอกสารทุกครั้งที่มีการนำไปใช้

Typical transfer characteristics for the oscillator in the voltage controlled mode are shown in Figures 6, 7, and 8. Figures 6 and 8 show transfer characteristics employing only the capacitance of the varactor diode (plus the input capacitance of the oscillator, 6.0 pF typical). Figure 7 illustrates the oscillator operating in a voltage controlled mode with the output frequency range limited. This is achieved by adding a capacitor in parallel with the tank circuit as shown. The 1.0 kΩ resistor in Figures 6 and 7 is used to protect the varactor diode during testing. It is not necessary as long as the dc input voltage does not cause the diode to become forward biased. The larger-valued resistor (51 kΩ) in Figure 8 is required to provide isolation for the high-impedance junctions of the two varactor diodes.

The tuning range of the oscillator in the voltage controlled mode may be calculated as:

$$\frac{f_{max}}{f_{min}} = \frac{\sqrt{C_D(max) + C_S}}{\sqrt{C_D(min) + C_S}}$$

where $f_{min} = \frac{1}{2\pi \sqrt{L(C_D(max) + C_S)}}$

C_S = shunt capacitance (input plus external capacitance).

C_D = varactor capacitance as a function of bias voltage.

Good RF and low-frequency bypassing is necessary on the power supply pins. (See Figure 2.)

Capacitors (C1 and C2 of Figure 4) should be used to bypass the AGC point and the VCO input (varactor diode), guaranteeing only dc levels at these points.

For output frequency operation between 1.0 MHz and 50 MHz a 0.1 μF capacitor is sufficient for C1 and C2. At higher frequencies, smaller values of capacitance should be used; at lower frequencies, larger values of capacitance. At high frequencies the value of bypass capacitors depends directly upon the physical layout of the system. All bypassing should be as close to the package pins as possible to minimize unwanted lead inductance.

The peak-to-peak swing of the tank circuit is set internally by the AGC circuitry. Since voltage swing of the tank circuit provides the drive for the output buffer, the AGC potential directly affects the output waveform. If it is desired to have a sine wave at the output of the MC1648, a series resistor is tied from the AGC point to the most negative power potential (ground if -5.0 volt supply is used, -5.2 volts if a negative supply is used) as shown in Figure 10.

At frequencies above 100 MHz typ, it may be desirable to increase the tank circuit peak-to-peak voltage in order to shape the signal at the output of the MC1648. This is accomplished by tying a series resistor (1.0 kΩ minimum) from the AGC to the most positive power potential (+5.0 volts if a +5.0 volt supply is used, ground if a -5.2 volt supply is used). Figure 11 illustrates this principle.

APPLICATIONS INFORMATION

The phase locked loop shown in Figure 9 illustrates the use of the MC1648 as a voltage controlled oscillator. The figure illustrates a frequency synthesizer useful in tuners for FM broadcast, general aviation, maritime and land-mobile communications, amateur and CB receivers. The system operates from a single +5.0 Vdc supply, and requires no internal translations, since all components are compatible.

Frequency generation of this type offers the advantages of single crystal operation, simple channel selection, and elimination of special circuitry to prevent harmonic lockup. Additional features include dc digital switching (preferable over RF switching with a multiple crystal system), and a broad range of tuning (up to 150 MHz, the range being set by the varactor diode).

The output frequency of the synthesizer loop is determined by the reference frequency and the number programmed at the programmable counter; $f_{out} = Nf_{ref}$. The channel spacing is equal to frequency (f_{ref}).

For additional information on applications and designs for phase locked-loops and digital frequency synthesizers, see Motorola Brochure BR504/D, Electronic Tuning Address Systems, (ETAS).

Figure 10 shows the MC1648 in the variable frequency mode operating from a +5.0 Vdc supply. To obtain a sine wave at the output, a resistor is added from the AGC circuit (pin 5) to VEE.

Figure 11 shows the MC1648 in the variable frequency mode operating from a +5.0 Vdc supply. To extend the useful range of the device (maintain a square wave output



MOTOROLA

**MC12015
MC12016
MC12017**

LOW-POWER TWO-MODULUS PRESCALER

The MC12015, MC12016 and MC12017 are two-modulus prescalers which will divide by 32 and 33, 40 and 41, and 64 and 65 respectively. An internal regulator is provided to allow these devices to be used over a wide range of power-supply voltages. The devices may be operated by applying a supply voltage of 5.0 Vdc \pm 10% at pin 7 or by applying an unregulated voltage source from 5.5 Vdc to 9.5 Vdc to pin 8.

- 225 MHz Toggle Frequency
- Low-Power — 7.5 mA Max at 6.8 V
- Control Input and Output are Compatible with Standard CMOS
- Connecting Pins 2 and 3 Allows Driving One TTL Load
- Supply Voltage 4.5 V to 9.5 V

MECL PLL COMPONENTS

**LOW-POWER
TWO-MODULUS
PRESCALER**



**P SUFFIX
PLASTIC PACKAGE
CASE 575**

**D SUFFIX
PLASTIC SOIC PACKAGE
CASE 751**



MAXIMUM RATINGS

Characteristic	Symbol	Range	Unit
Regulated Voltage, Pin 7	V _{reg}	3.0	Vdc
Power Supply Voltage, Pin 8	V _{CC}	10.0	Vdc
Operating Temperature Range	T _A	-40 to +85	°C
Storage Temperature Range	T _{stg}	-65 to +175	°C

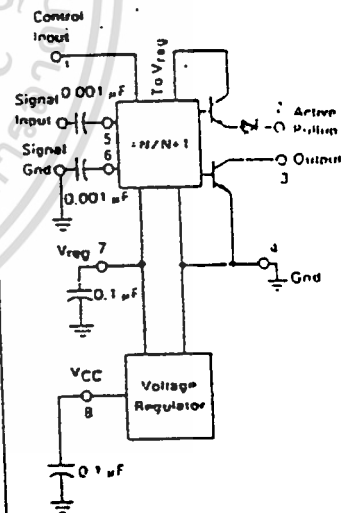
ELECTRICAL CHARACTERISTICS (V_{CC} = 5.5 to 9.5 V, V_{reg} = 4.5 to 5.5 V, T_A = -40°C to +85°C)

Characteristic	Symbol	Min	Typ	Max	Unit	
Toggle Frequency (Sine wave input)	f _{max}	225	—	—	MHz	
	f _{min}	—	—	35	MHz	
Supply Current	I _{CC}	—	6.0	7.8	mA	
Control Input High (+32, 40 or 64)		2.0	—	—	V	
Control Input Low (+33, 41 or 65)		—	—	0.8	V	
Output Voltage High* (I _s source = 50 μ A)	V _{OH}	2.5	—	—	V	
Output Voltage Low* (I _s sink = 2 mA)	V _{OL}	—	—	0.5	V	
Input Voltage Sensitivity	V _{in}	35 MHz	400	—	300	mVPP
		50-225 MHz	200	—	800	mVPP
PLL Response Time (Notes 1 and 2)	t _{PLL}	—	—	t _{rise} - 70	ns	

- Notes:**
1. t_{PLL} is the period of time the PLL has from the prescaler rising output transition (50%) to the modulus control input edge detection (50%) to ensure proper modulus selection.
 2. t_{out} is period of output waveform.

* Pin 2 connected to Pin 3

PRESCALER BLOCK DIAGRAM



1. V_{reg} @ pin 7 is not guaranteed to be between 4.5 and 5.5 V when V_{CC} is being applied to pin 8.
2. Pin 7 is not to be used as a source of regulated output voltage.

เอกสารนี้เป็นเอกสารที่สงวนไว้สำหรับการใช้งานเพื่อการศึกษาเท่านั้น ไม่อนุญาตให้นำไปใช้ประโยชน์ด้านการค้า ไม่ว่าจะกรณีใดๆ ทั้งสิ้น อีกทั้งห้ามมิให้ดัดแปลงเนื้อหา และต้องอ้างอิงถึงเจ้าของเอกสารทุกครั้งที่มีการนำไปใช้

ORDERING INFORMATION

Device	Temperature Range	Package
MC1496	-55°C to +125°C	SO-14
MC1596		Pinless Can
MC1496	-55°C to +125°C	Ceramic DIP
MC1596		Pinless DIP
MC1496	-55°C to +125°C	Pinless Can
MC1596		Ceramic DIP

MC1496
MC1596

Specifications and Applications Information

BALANCED MODULATOR/DEMODULATOR
SILICON MONOLITHIC INTEGRATED CIRCUIT

BALANCED MODULATOR/ DEMODULATOR

... designed for use where the output voltage is a product of an input voltage (signal) and a switching function (carrier). Typical applications include suppressed carrier and amplitude modulation, synchronous detection, FM detection, phase detection, and chopper applications. See Motorola Application Note AN-531 for additional design information.

- Excellent Carrier Suppression - 65 dB typ @ 0.5 MHz
- 50 dB typ @ 10 MHz
- Adjustable Gain and Signal Handling
- Balanced Inputs and Outputs
- High Common Mode Rejection - 85 dB typ

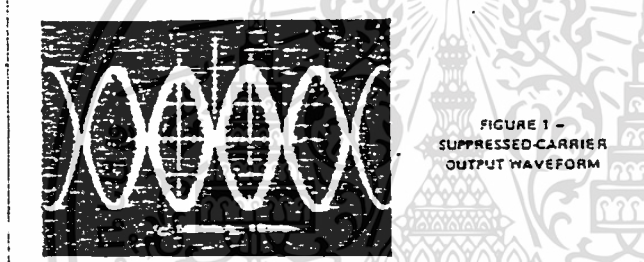
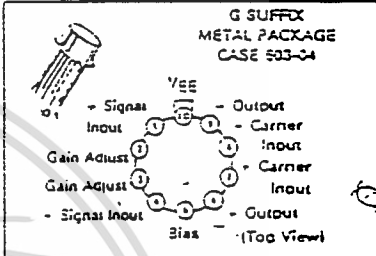


FIGURE 1 - SUPPRESSED-CARRIER OUTPUT WAVEFORM

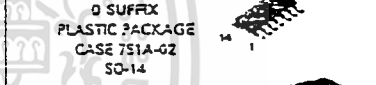


FIGURE 2 - SUPPRESSED-CARRIER SPECTRUM

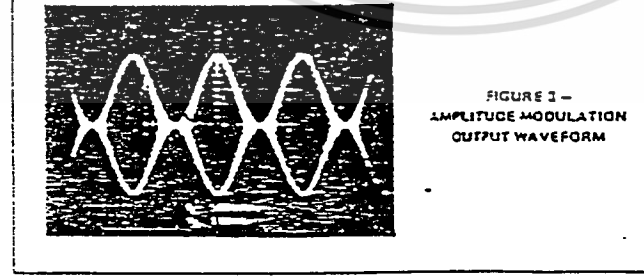
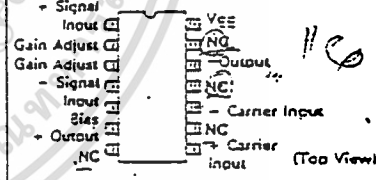
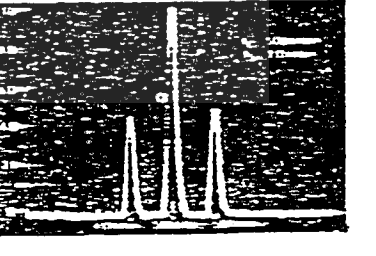


FIGURE 3 - AMPLITUDE MODULATION OUTPUT WAVEFORM

FIGURE 4 - AMPLITUDE-MODULATION SPECTRUM



เอกสารนี้เป็นเอกสารที่สงวนไว้สำหรับการใช้งานเพื่อการศึกษาเท่านั้น ไม่อนุญาตให้นำไปใช้ประโยชน์ด้านการค้า ไม่ว่าจะกรณีใดๆ ทั้งสิ้น อีกทั้งห้ามมิให้ดัดแปลงเนื้อหา และต้องอ้างอิงถึงเจ้าของเอกสารทุกครั้งที่มีการนำไปใช้

MC1496, MC1596

MAXIMUM RATINGS* (T_A = -25°C unless otherwise noted)

Rating	Symbol	Value	Unit
Applied Voltage (V ₅ - V ₇ , V ₅ - V ₁ , V ₉ - V ₇ , V ₉ - V ₈ , V ₇ - V ₄ , V ₇ - V ₁ , V ₈ - V ₄ , V ₈ - V ₉ , V ₂ - V ₅ , V ₂ - V ₈)	V _V	30	Vdc
Differential Input Signal	V ₇ - V ₉ V ₈ - V ₁	+5.0 ±15 (±I _q R ₁)	Vdc
Maximum Bias Current	I _S	10	mA
Thermal Resistance, Junction to Air Ceramic Dual In-Line Package Plastic Dual In-Line Package Metal Package	R _{θJA}	100 100 160	°C/W
Operating Temperature Range	T _A	0 to +70 -55 to +125	°C
Storage Temperature Range	T _{stg}	-65 to +150	°C

ELECTRICAL CHARACTERISTICS* (V_{CC} = +12 Vdc, V_{EE} = -8.0 Vdc, I_S = 10 mA, R_L = 3.9 kΩ, R_g = 10 kΩ, T_A = -25°C unless otherwise noted) (All input and output characteristics are single-ended unless otherwise noted.)

Characteristic	Fig.	Note	Symbol	MC1596			MC1496			Unit
				Min	Typ	Max	Min	Typ	Max	
Carrier Feedthrough V _C = 60 mV(rms) sine wave and offset adjusted to zero V _C = 300 mV(rms) square wave: offset adjusted to zero offset not adjusted	5	1	V _{CF}	—	40 140	—	—	40 140	—	μV(rms) mV(rms)
Carrier Suppression I _S = 10 mA, 300 mV(rms) I _C = 500 kHz, 60 mV(rms) sine wave I _C = 10 MHz, 60 mV(rms) sine wave	5	2	V _{CS}	—	50 50	—	40 50	—	—	dB %
Transmittance Bandwidth (Magnitude) (R _L = 50 ohms) Carrier Input Port, V _C = 60 mV(rms) sine wave I _S = 1.0 mA, 300 mV(rms) sine wave Signal Input Port, V _S = 300 mV(rms) sine wave V _{CL} = 0.5 Vdc	8	8	BW _{3dB}	—	300 80	—	—	300 80	—	kHz
Signal Gain V _S = 100 mV(rms), f = 1.0 kHz; V _{CL} = 0.5 Vdc	10	3	A _{VS}	2.3	3.5	—	2.5	3.5	—	V/V
Single-Ended Input Impedance, Signal Port, f = 5.0 MHz Parallel Input Resistance Parallel Input Capacitance	6	—	r _{ip} c _{ip}	—	200	—	—	200	—	Ω pF
Single-Ended Output Impedance, f = 10 MHz Parallel Output Resistance Parallel Output Capacitance	5	—	r _{op} c _{op}	—	40 5.0	—	—	40 5.0	—	Ω pF
Input Bias Current I _{bS} = $\frac{I_1 - I_2}{2}$; I _{bC} = $\frac{I_7 - I_8}{2}$	7	—	I _{bS} I _{bC}	—	12 12	25	—	12 12	30	μA
Input Offset Current I _{oS} = I ₁ - I ₂ ; I _{oC} = I ₇ - I ₈	7	—	I _{oS} I _{oC}	—	0.7 0.7	5.0	—	0.7 0.7	7.0	μA
Average Temperature Coefficient of Input Offset Current (T _A = -55°C to +125°C)	7	—	TC _{IO}	—	2.0	—	—	2.0	—	μA/°C
Output Offset Current (I ₅ - I ₆)	7	—	I _{oO}	—	14	50	—	14	80	μA
Average Temperature Coefficient of Output Offset Current (T _A = -55°C to +125°C)	7	—	TC _{IOO}	—	90	—	—	90	—	μA/°C
Common-Mode Input Swing, Signal Port, I _S = 1.0 mA	9	4	CMV	—	5.0	—	—	5.0	—	V _{pp}
Common-Mode Gain, Signal Port, I _S = 1.0 mA, V _{CL} = 0.5 Vdc	9	—	ACM	—	-85	—	—	-85	—	dB
Common-Mode Quiescent Output Voltage (Pin 6 or Pin 2)	10	—	V _{out}	—	8.0	—	—	8.0	—	V _{pp}
Differential Output Voltage Swing Capability	10	—	V _{out}	—	8.0	—	—	8.0	—	V _{pp}
Power Supply Current I _q = I ₉ I ₁₀	7	6	I _{CC} I _{EE}	—	2.0 3.0	2.0 4.0	—	2.0 3.0	4.0 5.0	mA
DC Power Dissipation	7	5	P _D	—	23	—	—	23	—	mW

* Pin number references pertain to this device when packaged in a metal can. To ascertain the corresponding pin numbers for plastic or ceramic packaged devices refer to the first page of this specification sheet.

เอกสารนี้เป็นเอกสารที่สงวนไว้สำหรับการใช้งานเพื่อการศึกษาเท่านั้น ไม่อนุญาตให้นำไปใช้ประโยชน์ด้านการค้า
ไม่ว่ากรณีใดๆ ทั้งสิ้น อีกทั้งห้ามมิให้ดัดแปลงเนื้อหา และต้องอ้างอิงถึงเจ้าของเอกสารทุกครั้งที่มีการนำไปใช้

MC1496, MC1596

GENERAL OPERATING INFORMATION*

Note 1 - Carrier Feedthrough

Carrier feedthrough is defined as the output voltage at carrier frequency with only the carrier applied (signal voltage = 0).

Carrier null is achieved by balancing the currents in the differential amplifier by means of a bias trim potentiometer (R₂) of Figure 5).

Note 2 - Carrier Suppression

Carrier suppression is defined as the ratio of each sideband output to carrier output for the carrier and signal voltage levels specified.

Carrier suppression is very dependent on carrier input level, as shown in Figure 22. A low value of the carrier does not fully switch the upper switching devices, and results in lower signal gain hence lower carrier suppression. A higher than optimum carrier level results in unnecessary device and circuit carrier feedthrough, which again degrades the suppression figure. The MC1596 has been characterized with a 60 mV (rms) unmodulated carrier input signal. This level provides optimum carrier suppression at carrier frequencies in the vicinity of 500 kHz, and is generally recommended for balanced modulator applications.

Carrier feedthrough is independent of carrier level, V_C. Thus carrier suppression can be maximized by operating with large signal levels. However, a linear operating mode must be maintained in the signal-input transistors (see Note 3) and the modulating signal will be generated and appear in the device output as spurious sidebands of the suppressed carrier. This requirement places an upper limit on input-signal amplitude (see Note 3 and Figure 20). Note also that an optimum carrier level is recommended in Figure 22 for good carrier suppression and minimum spurious sideband generation.

All higher transistors should always be very important in order to minimize carrier feedthrough. Shorting may be necessary in order to prevent excessive loading between the carrier input leads and the output leads.

Note 3 - Signal Gain and Maximum Input Level

Signal gain (single-ended) at low frequencies is defined as the voltage gain.

$$A_{VS} = \frac{V_2}{V_5} = \frac{R_1}{R_2 + 2I_2} \text{ where } I_2 = \frac{25 \text{ mV}}{I_2 \text{ (mA)}}$$

A constant dc potential is applied to the carrier input terminals to fully switch two of the upper transistors "on" and two transistors "off" (V_C = 0.5 Vdc). This in effect forms a cascode differential amplifier.

Linear operation requires that the signal input be below a critical value determined by R₂ and the bias current I₂.

$$V_5 \leq I_2 R_2 \text{ (Volts peak)}$$

Note that in the test circuit of Figure 10, V₅ corresponds to a maximum value of 1-volt peak.

Note 4 - Common-Mode Swing

The common-mode swing is the voltage which may be applied to both bases of the signal differential amplifier, without saturating the current sources or without saturating the differential amplifier itself by swinging it into the upper switching devices. This swing is variable depending on the particular circuit and biasing conditions chosen (see Note 6).

Note 5 - Power Dissipation

Power dissipation, P_{TD}, within the integrated circuit package should be calculated as the summation of the voltage-current products at each output, i.e. assuming V₂, V₅, I₂, I₁, and ignoring

base current, P_{TD} = 2 I₂ (V₂ - V₁₀) + I₂ (V₅ - V₁₀) where subscripts refer to pin numbers.

Note 6 - Design Equations

The following is a partial list of design equations needed to operate the circuit with other supply voltages and input conditions. See Note 3 for R₂ equation.

A. Quiescent Current

The internal bias currents are set by the conditions at pin 5. Assume,

$$I_5 = I_6 = I_9$$

$$I_9 \ll I_C \text{ for all transistors}$$

then

$$R_5 = \frac{V_5 - V_1}{I_5} = 500 \Omega \text{ where } R_5 \text{ is the resistor between pin 5 and ground}$$

$$I_5 = 0.75 \text{ V at } T_A = +25^\circ\text{C}$$

The MC1596 has been characterized for the conditions I₂ = 1.0 mA and is the generally recommended value.

B. Collector-Mode Quiescent Output Voltage

$$V_5 = V_9 = V^* - I_2 R_C$$

Note 7 - Biasing

The MC1596 requires three dc bias voltage levels which must be set externally. Guidelines for setting up these three levels include maintaining at least 2 volts collector-base bias on all transistors while not exceeding the voltages given in the absolute maximum rating table.

$$20 \text{ Vdc} \geq (I_2 V_2 - I_1 V_7 - V_1) \geq 2 \text{ Vdc}$$

$$20 \text{ Vdc} \geq (I_2 V_2 - I_1 V_1 - V_1) \geq 2.7 \text{ Vdc}$$

$$20 \text{ Vdc} \geq (I_1 V_1 - I_1 V_5) \geq 2.7 \text{ Vdc}$$

The foregoing conditions are based on the following assumptions:

$$V_5 = V_9, \quad V_7 = V_8, \quad V_1 = V_4$$

Base currents flowing into pins 1, 4, 7, and 8 are transistor base currents and can normally be neglected if external bias dividers are designed to carry 1.0 mA or more.

Note 8 - Transmittance Bandwidth

Carrier transmittance bandwidth is the 3-dB bandwidth of the device forward transmittance as defined by:

$$f_{3dB} = \frac{I_2 \text{ (each sideband)}}{I_1 \text{ (signal)}} \Big|_{V_2 = 0}$$

Signal transmittance bandwidth is the 3-dB bandwidth of the device forward transmittance as defined by:

$$f_{3dB} = \frac{I_2 \text{ (signal)}}{I_1 \text{ (each)}} \Big|_{V_2 = 0.5 \text{ Vdc}, V_3 = 0}$$

*Pin number references obtain to this device when packaged in a metal can. To ascertain the corresponding pin numbers for plastic or ceramic packaged devices refer to the first page of this identification sheet.

MC1496, MC1596

Note 9 - Coupling and Bypass Capacitors C_1 and C_2

Capacitors C_1 and C_2 (Figure 5) should be selected for a reactance of less than 50 ohms at the carrier frequency.

Note 10 - Output Signal, V_o

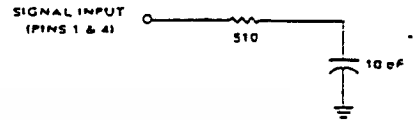
The output signal is taken from pins 6 and 9, either balanced or single-ended. Figure 12 shows the output levels of each of the two output stages resulting from variations in both the carrier and modulating signal inputs with a single-ended output connection.

Note 11 - Negative Supply, V_{EE}

V_{EE} should be AC only. The insertion of an RF choke in series with V_{EE} can enhance the stability of the internal current sources.

Note 12 - Signal Port Stability

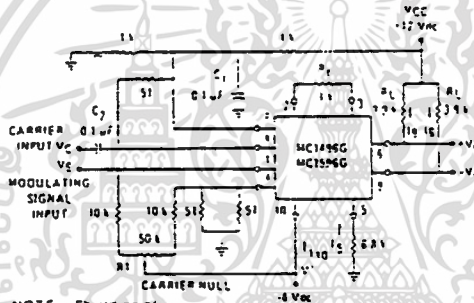
Under certain values of driving source impedance, oscillation may occur. In this event, an RC suppression network should be connected directly to each input using short leads. This will reduce the Q of the source-tuned circuits that cause the oscillation.



An alternate method for low-frequency applications is to insert a 1 k-ohm resistor in series with the inputs, pins 1 and 4. In this case input current drift may cause serious degradation of carrier suppression.

TEST CIRCUITS

FIGURE 5 - CARRIER REJECTION AND SUPPRESSION



NOTE: Shielding of input and output leads may be needed to properly perform these tests.

FIGURE 6 - INPUT-OUTPUT IMPEDANCE

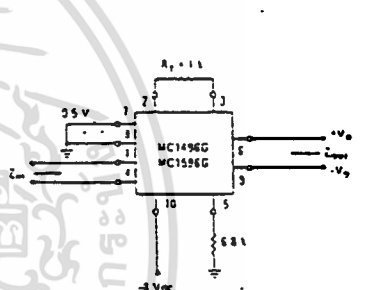


FIGURE 7 - BIAS AND OFFSET CURRENTS

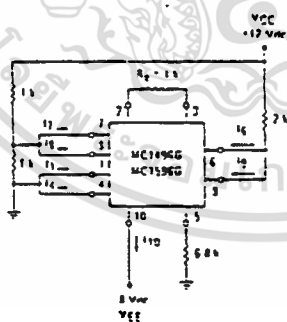
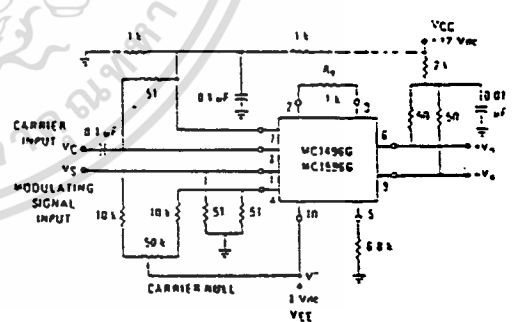


FIGURE 8 - TRANSCONDUCTANCE BANDWIDTH



NOTE: Pin number references pertain to pin device when packaged in a metal can. To determine the corresponding pin numbers for plastic or ceramic packaged devices refer to the first page of this specification sheet.

MC1496, MC1596

TEST CIRCUITS (continued)

FIGURE 9 - COMMON-MODE GAIN

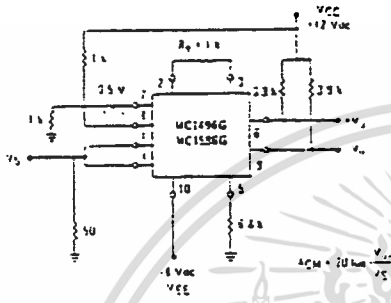
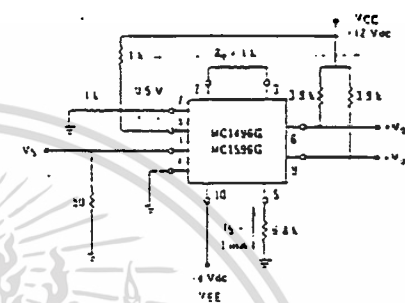


FIGURE 10 - SIGNAL GAIN AND OUTPUT SWING



NOTE: For consistent references obtain to this device when used as part of a metal can. To ascertain the corresponding pin numbers for static or dynamic discharged devices refer to the first page of this specification sheet.

TYPICAL CHARACTERISTICS (continued)

Typical characteristics were determined with carrier signals of 1 cycle to 100 kHz (unless noted), $V_{CC} = 60$ mV(rms), $I_C = 1$ mA, $V_S = 300$ mV(rms), $T_A = 25^\circ\text{C}$ unless otherwise noted.

FIGURE 11 - SIDEBAND OUTPUT versus CARRIER LEVELS

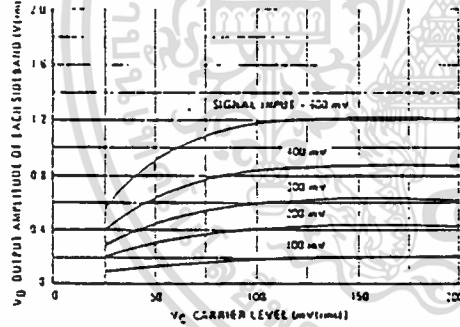


FIGURE 12 - SIGNAL-PORT PARALLEL-EQUIVALENT INPUT RESISTANCE versus FREQUENCY

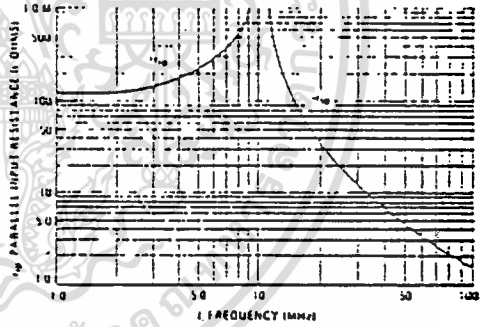


FIGURE 13 - SIGNAL-PORT PARALLEL-EQUIVALENT INPUT CAPACITANCE versus FREQUENCY

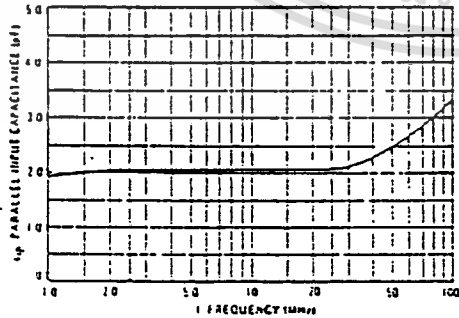
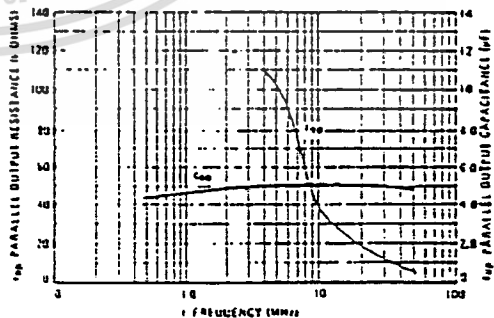


FIGURE 14 - SINGLE-ENDED OUTPUT IMPEDANCE versus FREQUENCY



MC1496, MC1536

TYPICAL CHARACTERISTICS (continued)

Typical characteristics were obtained with circuit shown in Figure 5. $I_C = 500 \mu A$ (sine wave), $V_C = 50 mV(rms)$, $I_S = 1 \mu A$, $V_S = 300 mV(rms)$, $T_A = +25^\circ C$ unless otherwise noted.

FIGURE 15 - SIDEBAND AND SIGNAL PORT TRANSMITTANCES versus FREQUENCY

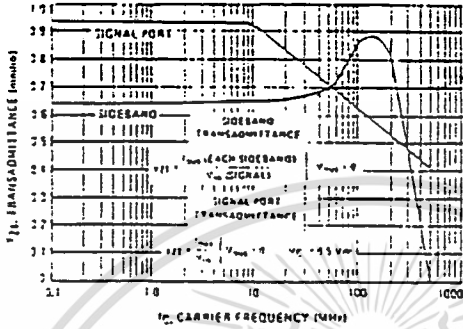


FIGURE 16 - CARRIER SUPPRESSION versus TEMPERATURE

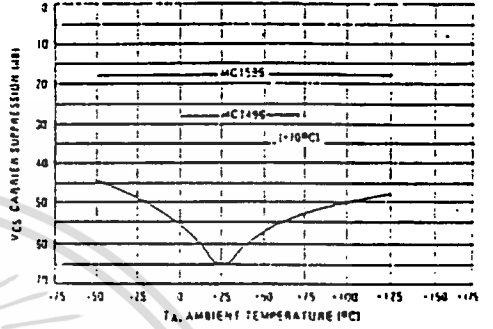


FIGURE 17 - SIGNAL PORT FREQUENCY RESPONSE

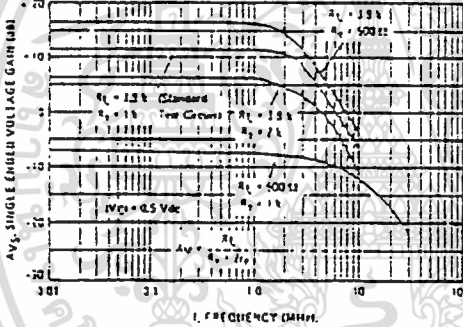


FIGURE 18 - CARRIER SUPPRESSION versus FREQUENCY

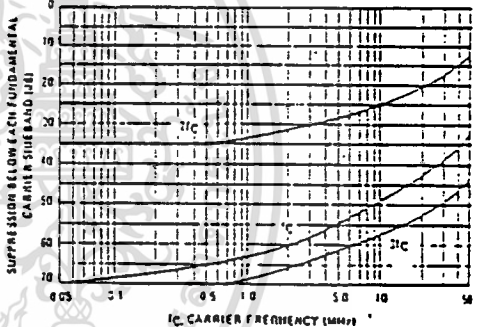


FIGURE 19 - CARRIER FEEDTHROUGH versus FREQUENCY

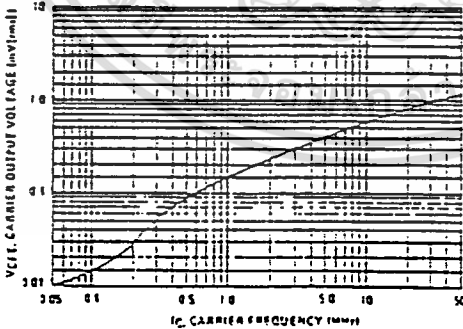
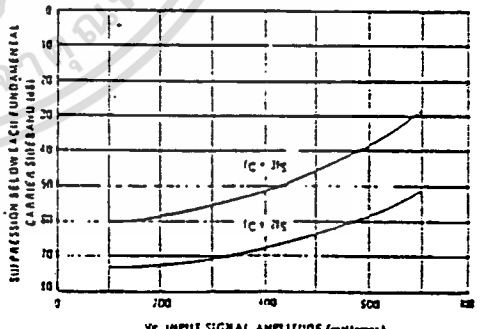


FIGURE 20 - SIDEBAND HARMONIC SUPPRESSION versus INPUT SIGNAL LEVEL



เอกสารนี้เป็นเอกสารที่สงวนไว้สำหรับการใช้งานเพื่อการศึกษาเท่านั้น ไม่อนุญาตให้นำไปใช้ประโยชน์ด้านการค้า
ไม่ว่ากรณีใดๆ ทั้งสิ้น อีกทั้งห้ามมิให้ดัดแปลงเนื้อหา และต้องอ้างอิงถึงเจ้าของเอกสารทุกครั้งที่มีการนำไปใช้

OPERATIONS INFORMATION (continued)

The linear signal handling capabilities of a differential amplifier are well defined. With no emitter degeneration the maximum input voltage for linear operation is approximately 25 mV peak. Since the upper differential amplifier has its emitters internally connected, this voltage applies to the carrier input port for all conditions.

Since the lower differential amplifier has provisions for an external emitter resistance, its linear signal handling range may be adjusted by the user. The maximum input voltage for linear operation may be approximated from the following expression:

$$V = (I_E) (R_E) \text{ volts peak.}$$

This expression may be used to compute the minimum value of R_E for a given input voltage amplitude.

The gain from the modulating signal input port to the output is the MC1596/MC1496 gain parameter which is most often of interest to the designer. This gain has significance only when the lower differential amplifier is operated in a linear mode, but this includes most applications of the device.

As previously mentioned, the upper quad differential amplifier may be operated either in a linear or a saturated mode. Appropriate gain expressions have been developed for the MC1596/MC1496 for a low-level modulating signal input and the following carrier input conditions:

- 1) Low-level dc
- 2) High-level dc
- 3) Low-level ac
- 4) High-level ac

These gains are summarized in Table 1, along with the frequency components contained in the output signal.

FIGURE 25 - TABLE 1
VOLTAGE GAIN AND OUTPUT FREQUENCIES

Carrier Input Signal (V_C)	Approximate Voltage Gain	Output Signal Frequency(s)
Low-level dc	$\frac{R_1 \cdot V_C}{2(R_E + 2r_E) \left(\frac{KT}{q} \right)}$	f_M
High-level dc	$\frac{R_1}{R_E + 2r_E}$	f_M
Low-level ac	$\frac{R_1 \cdot V_C \sin \omega t}{2 \sqrt{2} \left(\frac{KT}{q} \right) (R_E + 2r_E)}$	$f_C = f_M$
High-level ac	$\frac{0.637 R_1}{R_E + 2r_E}$	$f_C = f_M, 3f_C, 5f_C, \dots$ $5f_C = 14f_M, \dots$

NOTES:

1. Low-level Modulating Signal, V_M , assumed in all cases $V_C = \text{Carrier Input Voltage}$.
2. When the output signal contains multiple frequencies, the gain expression given is for the output amplitude of each of the two desired outputs, $I_C = I_M$ and $I_C = -I_M$.
3. All gain expressions are for a single-ended output. For a differential output connection, multiply each expression by two.
4. R_L = Load resistance.
5. R_E = Emitter resistance between pins 2 and 3.
6. r_E = Transistor dynamic emitter resistance, at +25°C:

$$r_E \approx \frac{26 \text{ mV}}{I_E \text{ (mA)}}$$

K = Boltzmann's Constant, T = temperature in degrees Kelvin, q = the charge on an electron

$$\frac{KT}{q} \approx 26 \text{ mV at room temperature}$$

APPLICATIONS INFORMATION

Double sideband suppressed carrier modulation is the basic application of the MC1596/MC1496. The suggested circuit for this application is shown on the front page of this data sheet.

In some applications, it may be necessary to operate the MC1596/MC1496 with a single dc supply voltage instead of dual supplies. Figure 26 shows a balanced modulator designed for operation with a single +12 Vdc supply. Performance of this circuit is similar to that of the dual supply modulator.

AM Modulator

The circuit shown in Figure 27 may be used as an amplitude modulator with a minor modification.

AM that is required to shift from suppressed carrier to AM operation is to adjust the carrier null potentiometer for the proper amount of carrier insertion in the output signal.

However, the suppressed carrier null circuitry as shown in Figure 27 does not have sufficient sensitivity range. Therefore, the modulator may be modified for AM operation by changing two resistor values in the null circuit as shown in Figure 28.

Product Detector

The MC1596/MC1496 makes an excellent SSB product detector (see Figure 29).

This product detector has a sensitivity of 3.0 microvolts and a dynamic range of 90 dB when operating at an intermediate frequency of 9 MHz.

The detector is broadband for the entire high frequency range. For operation at very low intermediate frequencies down to 50 kHz the 0.1 μF capacitors on pins 7 and 8 should be increased to 10 μF . Also, the output filter at pin 9 can be tailored to a specific intermediate frequency and audio amplifier input impedance.

As in all applications of the MC1596/MC1496, the emitter resistance between pins 2 and 3 may be increased or decreased to adjust circuit gain, sensitivity, and dynamic range.

This circuit may also be used as an AM detector by introducing carrier signal at the carrier input and an AM signal at the SSB input.

The carrier signal may be derived from the intermediate frequency signal or generated locally. The carrier signal may be introduced with or without modulation, provided its level is sufficiently high to saturate the upper quad differential amplifier. If the carrier signal is modulated, a 200 mV (rms) input level is recommended.

MC1496, MC1596

APPLICATIONS INFORMATION (continued)

Doubly Balanced Mixer

The MC1596/MC1496 may be used as a doubly balanced mixer with either grounded or tuned narrow band input and output networks.

The local oscillator signal is introduced at the carrier input port with a recommended amplitude of 100 mV(rms).

Figure 30 shows a mixer with a grounded input and a tuned output.

Frequency Doubler

The MC1596/MC1496 will operate as a frequency doubler by introducing the same frequency at both input ports.

Figures 31 and 32 show a broadband frequency doubler and a tuned output very high frequency (VHF) doubler, respectively.

Phase Detection and FM Detection

The MC1596/MC1496 may be used as a phase detector. When two input signals are introduced at both inputs. When both inputs are at the same frequency the MC1596/MC1496 will deliver an output which is a function of the phase difference between the two input signals.

An FM detector may be constructed by using the phase detector function. A tuned circuit is added at one of the inputs to cause the two input signals to vary in phase as a function of frequency. The MC1596/MC1496 will then provide an output which is a function of the input signal frequency.

NOTE: Pin number references pertain to this device when packaged in a metal can. To ascertain the corresponding pin numbers for plastic or ceramic packages refer to the first page of this specification sheet.

TYPICAL APPLICATIONS

FIGURE 26 - BALANCED MODULATOR (1-12 Vdc SINGLE SUPPLY)

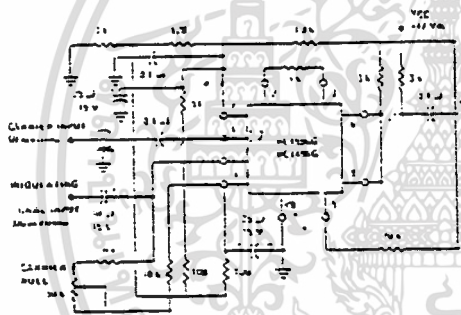


FIGURE 27 - BALANCED MODULATOR DEMODULATOR

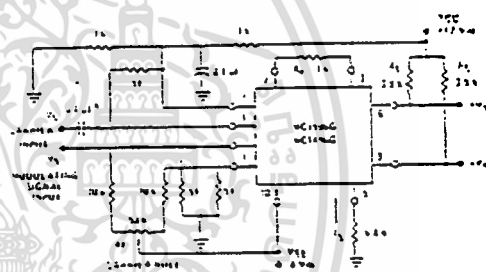


FIGURE 28 - AM MODULATOR CIRCUIT

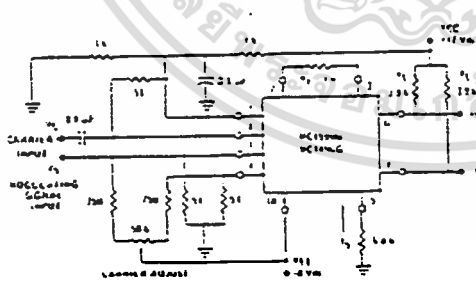


FIGURE 29 - PRODUCT DETECTOR (1-12 Vdc SINGLE SUPPLY)

